

FATIMA REGINA CHAVES



UNICAMP

Contribuição ao estudo da Cardiomielopatia Diabética. O coração diabético e os pequenos vasos intramiocárdicos.

(Correlação Clínico - Patológica)

Orientador: Prof. Dr. Paulo Afonso Ribeiro Jorge

Este exemplar corresponde à versão final da Tese de Doutorado, apresentado a Faculdade de Ciências Médicas da UNICAMP, para obtenção do título de doutora em Medicina Medicina Interna da médica FATIMA REGINA CHAVES.

Campinas, 02 de dezembro de 1993

Prof. Dr. PAULO AFONSO RIBEIRO JORGE
- Orientador -

Tese de doutorado, apresentada à Faculdade de Ciências Médicas Universidade Estadual de Campinas

Campinas - 1993

UNICAMP
BIBLIOTECA CENTRAL

FATIMA REGINA CHAVES

Médica

pela Faculdade de Ciências Médicas
Pontifícia Universidade Católica de Campinas

Professora Assistente

Disciplina de Endocrinologia e Metabologia
Departamento de Clínica Médica
Faculdade de Ciências Médicas - P.U.C.C.A.M.P.

Coordenadora

Centro de Referência, Orientação e Atendimento ao Diabético
Hospital e Maternidade Celso Pierro
Faculdade de Ciências Médicas - P.U.C.C.A.M.P.

Coordenadora

Disciplina e Serviço de Endocrinologia
Faculdade de Ciências Médicas - H.M.C.P. - P.U.C.C.A.M.P.

"Contribuição ao estudo da Cardiomiopatia Diabética: O coração diabético e os pequenos vasos intramiocárdicos (correlação clínico-patológica)".

Tese de doutorado

Apresentada à Faculdade de Ciências Médicas
Universidade Estadual de Campinas
para obtenção do Título de Doutor em
Medicina, na área de Medicina Interna

Campinas, 1993

A meus pais, Nélson e Margarida,
ternos exemplos de uma vida
de amor, tenacidade e trabalho
fecundo.

A Deolinda (in memorian), tia-
-mãe, fonte de doces cuidados:
"A dor de minha saudade nada
significa, diante da felicidade
e do amor que compartilhamos
durante toda uma vida".

Agradecimentos Especiais

Ao Prof. Dr. Sílvio dos Santos Carvalhal,
mestre querido, pai na medicina, a quem devo minha formação profissional e científica, além da grata oportunidade de aproveitar, através de nosso convívio, a sua erudição e brilhantismo na arte médica.

Ao Prof. Dr. Nélson Pires Modesto,
mestre dedicado, filho primogênito da mesma genealogia médica, que, através de seu conhecimento científico, integridade e capacidade realizadora, em muito contribuiu para a minha formação e desempenho no exercício da medicina. Sinceramente agradeço às oportunidades, ao incentivo e à confiança, que permitiram meu desenvolvimento profissional.

Ao Prof. Dr. Paulo Afonso Ribeiro Jorge,
orientador solícito desta tese e de meu programa no Curso de Pós- Graduação. Agradeço sua elegante e primorosa orientação, a atenção efetiva e constante que dedicou ao desenvolvimento deste trabalho, o brilhantismo científico e a receptividade em incorporar e corrigir as idéias por mim sugeridas, o que permitiu que o desenvolvimento do texto ocorresse livremente, porém sob sua atenta e valiosa supervisão.

Agradecimentos Especiais

Ao Prof. Dr. João Hamilton Romaldini,
mestre de minha formação em Endocrinologia, cientista brilhante e
espírito de vanguarda. Agradeço o empenho em meu desenvolvimento
profissional e as oportunidades proporcionadas no campo da
endocrinologia.

Agradecimentos

A Dra. Eliana Amato de Luna,
colaboradora indispensável no trabalho de todos os dias, pelo apoio irrestrito e pela eficiência tranquilizadora, sem os quais a execução deste trabalho se tornaria muito difícil.

Ao Prof. Dr. Armando Miguel Júnior,
pelo estímulo e colaboração, além da amizade que me é muito cara.

Ao Prof. Dr. Marcos Tambásia,
pela solicitude e incentivo durante o curso de pós-graduação, pela intermediação junto ao futuro orientador; o que efetivamente permitiu que este trabalho ora se concluisse.

Ao Dr. Walter José Minicucci,
querido amigo, grande entusiasta da diabetologia, pela confiança e oportunidades a mim oferecidas neste campo. Reverentemente agradeço.

A Dra. Cristina Teixeira Sanches,
pela amizade e carinho. Pelo entusiasmo, pioneirismo e empenho no campo da Assistência e Educação do paciente diabético.

Aos Colegas do Departamento de Clínica Médica da F.C.M.-PUCCAMP,
pela tenacidade e perseverança na condução de nosso trabalho, que abraçamos com o melhor de nossos esforços.

Ao Sr. José Nascimento de Oliveira,
Bacharel em estatística. Pela humildade, solicitude e brilhantismo na orientação da Análise Estatística.

A Profa. Ruth Silva Santos,
responsável pelo ensino impecável da Língua Portuguesa no meu ciclo ginásial.
Retorno agora à posição de aluna e, mais uma vez, sou-lhe grata pelo aprendizado.
Executou minuciosamente a correção da gramática e redação neste estudo, com a classe e estilo que sempre me encantaram.

A Dra. Miralva Aparecida T. da Silva,
Profa. do Departamento de Histologia da F.C.M. - H.M.C.P.
Pela solicitude na elaboração do material fotográfico a ser apresentado. Empenho, eficiência e cooperatividade são as marcas de sua presença em nossa Universidade.

A Sra. Sandra Elvira Relvas Bartilotti,
Pela prontidão e eficiência na execução dos trabalhos de datilografia e diagramação.

"Não basta investigar fenômenos, aderir verbalmente, melhorar a estatística ou doutrinar consciências alheias, por mais respeitável que isso seja no plano físico. É indispensável cogitar dos conhecimentos de nossos infinitos potenciais, aplicando-os, por sua vez, nos serviços do bem."

Emmanuel

ÍNDICE

| | | |
|--------|---|----------|
| I - | INTRODUÇÃO..... | pág. 001 |
| II - | OBJETIVOS..... | pág. 005 |
| III - | REVISÃO BIBLIOGRÁFICA..... | pág. 007 |
| IV - | MATERIAL E MÉTODOS..... | pág. 038 |
| V - | RESULTADOS..... | pág. 051 |
| VI - | DISCUSSÃO..... | pág. 094 |
| VII - | CONCLUSÕES..... | pág. 115 |
| VIII - | SUMÁRIO..... | pág. 120 |
| IX - | SUMMARY..... | pág. 123 |
| X - | APÊNDICE: Indivíduos - Propósito e Tabelas | pág. 126 |
| | BIBLIOGRAFIA..... | pág. 164 |

ÍNDICE DOS ASSUNTOS

ÍNDICE DAS TABELAS

ÍNDICE DAS FIGURAS

I — INTRODUÇÃO

I - INTRODUÇÃO

O "coração diabético" é acometido agudamente pelos efeitos deletérios diretos, ocasionados pela hiperglicemia sanguínea.

O distúrbio do metabolismo dos hidratos de carbono produzem a glicosilação não-enzimática dos componentes protéicos da célula contrátil do coração, alterações na atividade enzimática das membranas destas células e dos vasos epicárdicos e intramiocárdicos, resultando, respectivamente, em depressão da contratilidade da célula cardíaca e alterações na reatividade dos vasos coronarianos.

Concomitantemente às alterações bioquímicas, de caráter mais agudo, iniciam-se, de forma mais insidiosa, alterações anatômicas microvasculares.

A microangiopatia possui múltiplos mecanismos causais que atuam sinergicamente, embora cada qual possua importante expressão etiopatogênica, quando agem isoladamente. A célula endotelial glicosilada apresenta importantes alterações de permeabilidade, estimulando a síntese de colágeno pela membrana basal, para contrapor-se à permeabilidade alterada. O colágeno recém-sintetizado também sofre a glicosilação não-enzimática de suas proteínas, uma vez que se encontra em um meio metabólico hiperglicêmico. Desta forma, torna-se enrijecido e passa a possuir uma vida média mais longa, que resulta em espessamentos progressivos dos vasos da microcirculação. O fluxo sanguíneo lentificado, devido à indeformabilidade da hemoglobina glicosilada e demais proteínas plasmáticas glicosiladas, contribui

para incrementos na alteração de permeabilidade do endotélio. Assim, os mecanismos de lesão vão-se superpondo um a um, produzindo as alterações anatômicas microvasculares que, cronicamente, repercutirão sobre a anatomia e função do interstício e da miocélula.

Resulta que o coração diabético passa a apresentar alterações evolutivas que lhe são peculiares, clinicamente, e à luz da anátomo-patologia. Possui também respostas muito particularizadas a desvios metabólicos que, em sua via final, conduzem a uma elevada susceptibilidade do músculo cardíaco à isquemia, mesmo na presença de coronárias epicárdicas pétias.

Os estudos da fisiopatologia da Síndrome Diabética constituem um mosaico de teorias que envolvem alterações da imunidade, alterações enzimáticas, bioquímicas, hormonais, hemodinâmicas e outras.

Tratam-se de fatores de grande complexidade que necessitam ser compreendidos isoladamente, através de seus efeitos sinérgicos ou em cascata, que repercutem sobre o equilíbrio hidroeletrolítico, na coagulação sanguínea, na pressão hidrostática, na pressão coloidosmótica, no tônus vascular e no metabolismo de lípides, hidratos de carbono e proteínas.

As alterações da homeostase conduzem inexoravelmente às lesões orgânicas, determinantes das complicações crônicas da Síndrome Diabética nos diferentes órgãos.

Interessou-nos, particularmente, observar as alterações anatômicas prevalentes, que decorrem destas alterações bioquímicas

cas, correlacionando-as com as manifestações clínicas associadas.

Entendemos que as demais formas metabólicas de cardiomiospatia vêm sendo suficientemente esclarecidas. Entretanto, a Cardiomiopatia Diabética, devido à freqüente associação com as repercussões cardíacas da Hipertensão Arterial Sistêmica e da Dislipidemia, altamente prevalentes em diabetes, se confunde com estas formas de cardiopatia, passando a constituir uma entidade clínica ainda a ser definida com maior clareza.

O reconhecimento desta entidade nosológica, em seus aspectos morfológicos e clínicos, representam o motivo principal deste estudo.

II - OBJETIVOS

II - OBJETIVOS

Constitui o objetivo específico do presente trabalho a análise das lesões dos pequenos vasos intramiocárdicos, que ocorrem nos portadores de Diabetes Mellitus, e verificar sua relação com a cardiomiopatia observada nestes indivíduos.

Outro objetivo refere-se a conhecer a incidência de sintomas e sinais clínicos na população diabética estudada, confrontando-os com os achados anátomo-patológicos.

III - REVISÃO BIBLIOGRAFICA

III - REVISÃO BIBLIOGRAFICA

III-1 Histórico:

O reconhecimento de um distúrbio caracterizado por poliúria, associada a uma sobrevida curta, ocorreu em 100 D.C., através dos registros de Aretaus da Cappadócia, que denominou a patologia de diabetes ou "sifão".

Em 1.600 D.C., devido à urina adocicada, adicionou-se a palavra grega "sifão" ao vocábulo latino "mel".

Ainda em 1.600, Johan Conrad Brunner comparou a poliúria freqüente, observada em cães pancreatectomizados, aos sintomas de Diabetes Mellitus.

Em 1.800, Paul Langerhans detectou as ilhotas de Langerhans e, posteriormente, E. G. Laguesse e E. Hedon propõem que estas estruturas constituem a fonte de secreções endócrinas. Entretanto, só em 1915, J. Homan identifica as células B como produtoras do hormônio denominado insulina.

O marco fundamental da diabetologia ocorreu em 1921, em Toronto. Frederick Banting e Charles H. Best conseguiram o controle dos níveis glicêmicos de um menino diabético através, da administração de extrato de insulina canina, o que lhes valeu o prêmio Nobel.

Ampliada a expectativa de vida dos diabéticos, surgem com a longevidade as complicações crônicas secundárias.

A falência secundária dos órgãos e sistemas, bem como e seus respectivos substratos anátomo-patológicos, se mesclam historicamente com as descobertas da microcirculação.

Em 1968, Siperstein et. al. e posteriormente Williamson et.

al., 1977 e 1978 enfatizaram que o espessamento da membrana basal do capilar constitui a lesão "sistêmica" e fundamental da diabetes, podendo ser considerada a alteração mais precoce desta patologia, uma vez que pode preceder o diabetes manifesto e mesmo anormalidade de tolerância à glicose.

Em 1968, Kimmenstiel et Wilson descreveram a glomerulopatia nodular patognônica dos diabéticos. Pela primeira vez, o diagnóstico funcional se faz acompanhar de um diagnóstico anatômico que possibilita o estabelecimento de uma relação de causa e efeito para a Insuficiência Renal secundária do Diabetes Mellitus. Permite também concluir que a Glomerulopatia de Kimmenstiel et. Wilson decorre das alterações próprias da membrana basal dos pequenos vasos renais dos pacientes diabéticos.

Em 1972, Rubler et. al., pela primeira vez, evidenciaram uma cardiopatia de origem desconhecida, presente em pacientes portadores de glomeruloesclerose diabética.

Em 1974, Hambay e cols. descreveram as características clínicas da Cardiomiotropia Diabética e, só após este estudo, é que esta entidade clínica começa a merecer credibilidade.

Seguem-se importantes estudos que objetivam esclarecer as alterações bioquímicas (Spiro et. al. - 1971), morfológicas (Regan et. al. - 1974); (Ledet - 1976); (Factor, - 1980); (Sunny et. al.- 1986); (Ribeiro Jorge, - 1988), anátomo - clínicas (Arguelles - 1973) e pré-clínicas (Senewiratne - 1977).

Apenas uma década nos separa do estudo de Rubler. Apesar de constituir um intervalo de tempo curto, e a despeito dos progressos da investigação científica, as alterações microcirculatórias

e cardíacas do diabetes persistem em numerosos pontos obscuros que necessitam ser esclarecidos.

III - REVISÃO BIBLIOGRAFICA

III-2 - Mecanismos etiopatogênicos

III- 2.1 - Fatores Genéticos:

O espessamento da membrana basal capilar acompanha o determinismo genético da patologia de base. Por definição, não é consequência da deficiência insulínica, mas uma expressão do diabetes genético, que geralmente precede a deficiência insulínica manifesta.

Siperstein et. al. (1968) estudaram a membrana basal capilar do músculo quadríceps de pacientes normais, diabéticos e intolerantes à glicose, encontrando espessamentos da membrana basal em 98% dos pacientes diabéticos e 50% dos pacientes Intolerantes à glicose.

Bodansky et. al. (1982) pesquisaram a predisposição à microangiopatia nos抗ígenos HLA de diabéticos tipo I. Não obtiveram correlação positiva para os抗ígenos HLA - B8 e HLA - B15 (BW 62). Entretanto, os mesmos autores observaram uma associação de Diabetes Mellitus tipo I com uma Imunoglobulina codificada pelo cromossoma 14 e os抗ígenos HLA - B3 e HLA-C4.

Desta forma, continua pouco esclarecida a participação do fator genético. O espessamento da membrana basal em gêmeos monozigóticos, onde um dos irmãos é hiperglicêmico e o outro normoglicêmico, torna inquestionável a presença do fator genético, mesmo que por mecanismos ainda não esclarecidos.

Sabidamente, fatores imunogenéticos estão envolvidos na determinação da susceptibilidade à microangiopatia, mas estes não podem operar na ausência de diabetes.

III-2.2 – Fatores Imunológicos:

A glicosilação não-enzimática do colágeno está aumentada em diabéticos hiperglicêmicos devido à ligação da glicose aos fragmentos de lisina e hidroxilisina.

Bassiony et. al. (1983) inocularam colágeno glicosilado no peritônio de animais normais e diabéticos, dosando posteriormente anticorpos anticolágeno glicosilado pelo método de E.L.I.S.A.

Os resultados demonstraram que o colágeno glicosilado é capaz de induzir a produção de anticorpos com especificidade dirigida contra os sítios de colágeno modificado.

O soro de diabéticos contém anticorpos anticolágeno glicosilado, que iniciam eventos auto-imunes, que podem explicar as complicações vasculares dos diabéticos.

III 2.3.A – Fatores bioquímicos e enzimáticos que envolvem a microcirculação:

A análise da membrana basal glomerular, isolada e purificada, em trabalhos realizados por Beisswenger, Spiro et. al. (1972) demonstraram que a porção peptídica é caracterizada pela grande quantidade de glicina, hidroxiprolina, hidroxilisina e resíduos de cistina.

O estudo dos glicopeptídeos demonstrou a presença de glicosil-galactose ligado à hidroxilisina, como também heteropolissa-

carídeos, constituídos por ácido Nacetil neuramínico, fucose, galactose, manose e hexosaminas.

Em diabéticos, existe um pronunciado aumento de hidroxilisina, hidroxiprolina, glicina, valina e tirosina, com redução de lisina.

Conclui-se que, com o aumento da glicose e seus derivados metabólicos, ocorrem alterações na regulação da seqüência polirribossomal, hidroxilação e glicosilação das unidades de lisina em hidroxilisina, resultando em um acúmulo anormal. Dois mecanismos são aventados:

1 - Com a deficiência insulínica ocorre, elevação das taxas de GH e um aumento da sensibilidade à ação do hormônio (Regan et. al. - 1987). O GH (hormônio somatotrófico) leva a um aumento da produção de colágeno nos tecidos, principalmente na parede dos vasos e interstício do miocárdio. É classicamente conhecido que a hipofisectionia e a supressão medicamentosa do GH (a primeira, utilizada na terapêutica da retinopatia diabética) estacionam o desenvolvimento das lesões microvasculares.

2 - A hiperglicemias produz um aumento da atividade da glicosil transferase (enzima de síntese do colágeno) e uma diminuição da atividade de B glucosaminidase (enzima de degradação do colágeno). A terapêutica insulínica inibe a atividade da glicosil transferase com normalização da síntese de hidroxilisina.

Estas teorias encontram-se ilustradas na figura 1, de acordo com a concepção de Spiro et. al. - 1971.

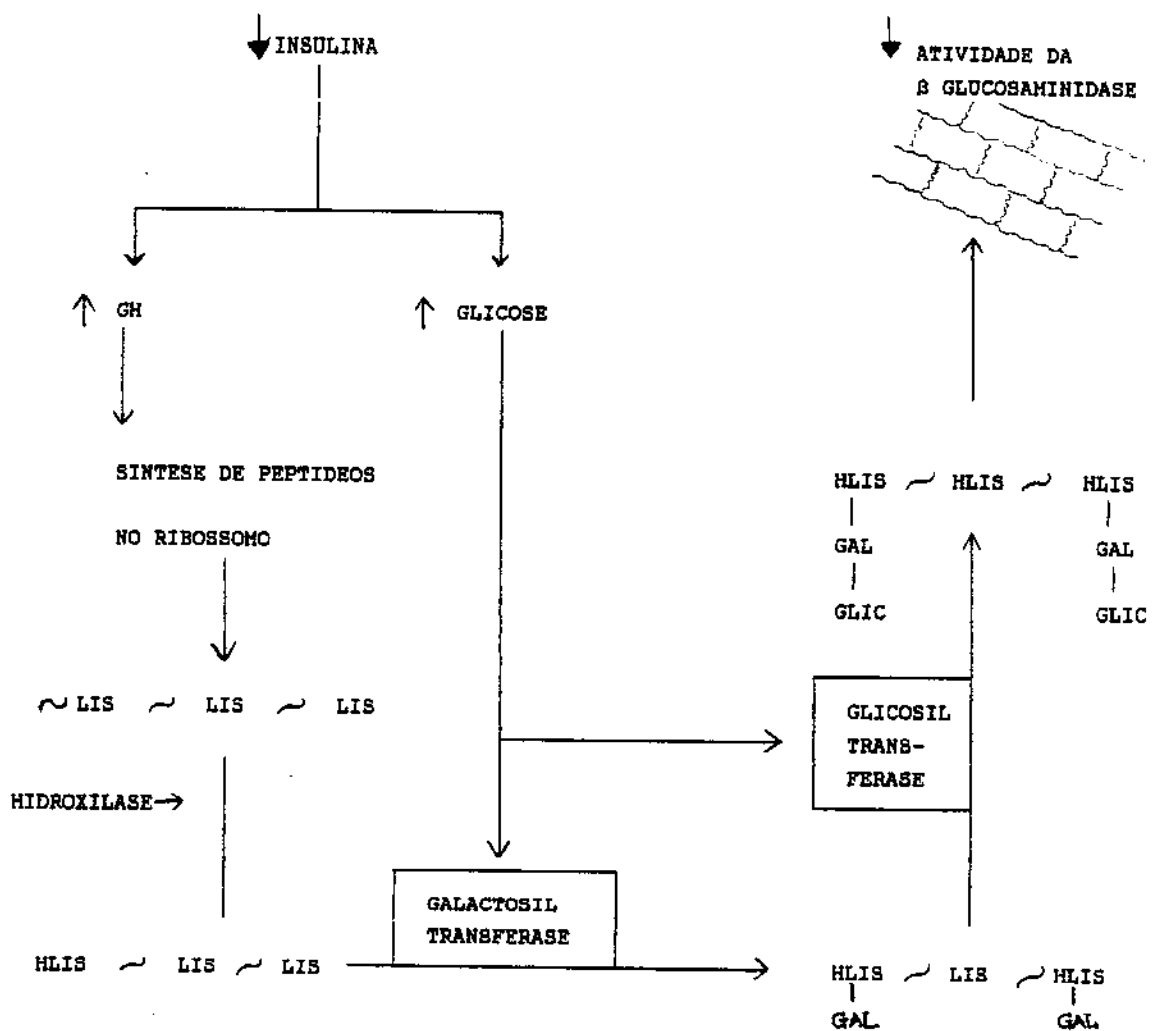


Figura 1 : Representação esquemática da síntese de membrana basal e as influências estimulatórias potenciais no diabetes

Legenda:

GH - hormônio somatotrófico ou hormônio de crescimento.

LIS - lisina.

HLIS - hidroxilisina.

GAL - galactose.

Trabalhos mais recentes, realizados por Hogemann et. al. (1986), demonstram que, na membrana basal vascular, o colágeno predominante é o do tipo IV, denominado colágeno 7S (classificado pelo conteúdo de dissulfido).

O componente não colágeno é constituído por uma glicoproteína de alto peso molecular, denominado laminina P1.

A proteinaglicana de maior importância na membrana basal é a heparina-sulfato-proteoglicana.

No diabetes experimental, ocorre um aumento de colágeno 7S e laminina P1, com diminuição de heparina-sulfato. Concomitantemente, é observado o aumento das glicosil-transferases e redução das β glucosaminidases.

A heparina-sulfato é responsável pela distribuição das cargas elétricas na membrana e, consequentemente, sua redução resulta em perda da carga elétrica negativa, com alterações de permeabilidade que permitem a deposição de glicoproteínas que a espessam.

Outro aspecto de interesse é que o colágeno 7S possui a propriedade de ativar plaquetas, estimulando a produção de Malonildialdeído (M.D.A.) e a agregação plaquetária (Hogemann - 1986).

Estes fatores, em seu conjunto, levam ao espessamento da membrana basal, mensurável através da dosagem de Laminina P1 e colágeno 7S por técnicas de radioimunoensaio, constituindo marcadore preoces da evolução da microangiopatia.

Na figura 2, demonstramos a disposição dos componentes da membrana basal que compõe o colágeno tipo IV, segundo Szarfman, citado por Hogemann et. al. (1986).

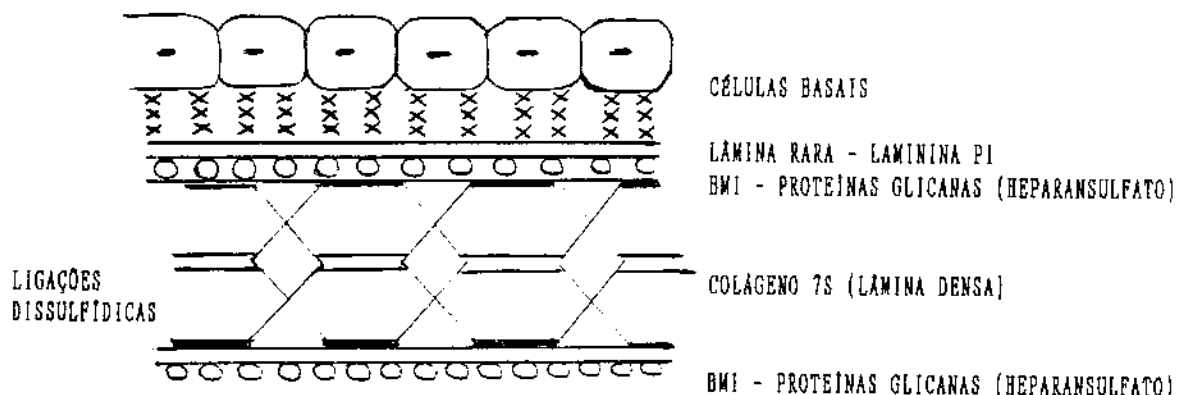


Figura 2: - Composição da membrana basal vascular.

A glicosilação não-enzimática e não-hidrossolúvel do colágeno ocorre fisiologicamente com a idade e precocemente no diabetes, de forma mais acentuada no diabetes tipo I, e justifica as alterações microvasculares (Kohn et. al. - 1982).

Relativamente à célula endotelial, que não depende de insulina para o transporte de glicose, postula-se que sofre intensa glicosilação de seus elementos protéicos.

A alteração funcional é representada por alterações de permeabilidade, através das membranas celulares e pela perda de adesividade entre os desmossomos.

Estruturalmente, são observados: um excessivo aumento de vesículas picnóticas no citoplasma celular e um substancial aumento de tamanho das mesmas. Este aumento de tamanho produz alargamentos citoplasmáticos em direção ao lúmen, algumas vezes obstruindo-o completamente, observado principalmente nos capilares e pequenas arteríolas, através da microscopia eletrônica. (Thompson - 1988).

III-2.3.B – Fatores bioquímicos e enzimáticos que não envolvem a microcirculação:

Outra alteração enzimática a ser considerada em Diabetes Mellitus refere-se à Coenzima A.

Lopaschuk et. al. (1987) demonstraram que os níveis de CoA no miocárdio diabético se elevam pela desinibição da Pantotena-sequinase (enzima limitante da síntese de CoA) mediante a hiperglicemia.

Os níveis citosólicos habituais no miocárdio (15 a 20 uM) elevam-se em até seis vezes no coração diabético.

O aumento dos níveis de CoA resultam em aumentos de ácidos graxos que são desviados para oxidação mitocondrial e síntese de triglicérides, que aumentam no coração.

A oxidação mitocondrial de ácidos graxos produz grande consumo de O₂, podendo ser considerado mais um fator de isquemia metabólica.

Tacofmeyer e Passmore, observaram que uma inibição do ciclo de Krebs, com 2 oxoglutarato aceto-acetílico - CoA, produziram efeitos inibitórios na função sistólica (Baum et. al. - 1984).

III-2-4 – Fatores metabólicos:

As alterações metabólicas do diabetes envolvem nítidas alterações entre a oferta e o consumo de oxigênio no miocárdio.

As vias energéticas alternativas, como a "via poliol", sugerem uma similaridade entre a miocardiopatia diabética e a miocardiopatia alcoólica; porém, na primeira, o agente agressor não é identificado.

Um dos produtos metabólicos da "via poliol" é o sorbitol que, a exemplo da própria glicose, reduz a deformabilidade da hemoglobina, através da glicosilação não-enzimática.

O resultado final é o aumento da agregação plaquetária, com redução da velocidade de fluxo sanguíneo e desorganização do fluxo laminar, que constituem importantes fatores no desenvolvimento da microangiopatia (Robey et. al. - 1987).

Outra consequência da glicosilação da hemoglobina diz respeito à excessiva estabilidade de ligação entre esta e o oxigênio. Em consequência, produz-se uma hipoxia tecidual com elevação dos níveis de 2, 3 Difosfoglicerato para obtenção de energia química na ausência de oxigênio. A resultante desta via energética, chamada glicólise, é a produção de lactato e, consequentemente, de acidose, na tentativa compensatória de diminuir o PH, deslocando-se a curva de dissociação da Hemoglobina para os limites normais (Arturson - 1974).

A hipoxemia produz vasodilatação e alteração da permeabilidade vascular.

Quando a hipóxia é prolongada, as artérias, arteríolas e capilares respondem com afilamentos capilares e neovascularização (Arturson et. al. 1974; Ditzel et. al. - 1976).

O Receptor de Summerfield:

Summerfield - 1982 demonstra, em seu estudo, um receptor glicoprotéico nas células endoteliais, que possui um papel reconhecedor e modulador do metabolismo da glicose e proteínas glicosiladas.

A glicose e as proteínas glicosiladas induzem, através de seu receptor específico, a pinocitose de glicoproteínas pela célula endotelial.

Postula-se que tal receptor possa contribuir para a gênese das complicações dependentes do metabolismo anormal de glicoproteínas no diabetes.

III-2-5 – Fatores de Homeostasia:

As alterações do meio intravascular diabético incluem:

- aumento da viscosidade sanguínea;
- aumento da agregação plaquetária;
- alterações das proteínas plasmáticas;
- alterações da Pressão Hidrostática Capilar;
- elevação da hemoglobina glicosilada;
- elevação do 2.3 difosfoglicerato;
- elevação dos fatores VII, VIII e X plaquetários e fibrinogênio;
- hiperlipemias;
- elevação das prostaglandinas;
- diminuição da atividade fibrinolítica.

Tais alterações sugerem um decréscimo entre oferta e consumo O_2 , ou seja, um estado de hipóxia relativa que precede a microangiopatia diabética.

III-2-5-A – Hemoglobina e eritrócitos:

Em indivíduos diabéticos, a viscosidade plasmática é elevada e a tendência à agregação plaquetária significativamente aumenta-

da em função de diversos fatores, entre eles, a glicosilação da hemoglobina.

A glicose se une ao fragmento de valina terminal da β hemoglobina, através de uma ligação muito estável que reduz a oferta de oxigênio aos tecidos.

Concomitantemente à diminuição da deformabilidade eritrocitária, há aumento da agregação das hemácias e redução da velocidade de fluxo, com hiperperfusão e anóxia celulares.

A variabilidade das condições de fluxo é que, provavelmente, conduz à ausência de homogeneidade dos distúrbios da microcirculação.

III-2-5-B - Outras proteínas plasmáticas:

A elevação da glicemia faz com que a proteossíntese hepática se eleve marcadamente.

O distúrbio metabólico protéico é um dos responsáveis pelo desenvolvimento da microangiopatia, porque aumenta a viscosidade plasmática e eleva a Pressão Hidrostática Capilar. (Mc Millan - 1976).

Separadas por eletroforese, estão aumentadas:

α_2 globulina.

α_1 glicoproteína ácida.

β_2 glicoproteína J.

Complemento C3.

Complemento C4.

Complemento C3 elevador.

Fibrinogênio.

Imunoglobulina A.

Hepatopexina.

Ceruloplasmina.

Proteína C reativa.

α_2 macroglobulina.

Haptoglobina.

α_1 antitripsina.

Permanecem inalteradas:

globulina G.

α_2 HS Glicoproteína.

Transferrina.

Imunoglobulina G.

Imunoglobulina M.

Estão diminuídas:

Pré-albuminas.

Imunoglobulina D.

III-2-5-C - Pressão hidrostática:

A elevação da P. hidrostática na microcirculação é fundamental para o desenvolvimento da microangiopatia.

Um dos mecanismos aventados é que as elevações da viscosidade plasmática elevam, proporcionalmente, a pressão intravascular com vasodilatação e transferência de fluidos do intra para o extra vascular.

Na tentativa de compensar o aumento da permeabilidade, a membrana basal dos microvasos sintetiza mais tecido conectivo, o que, lenta e progressivamente, os torna espessados.

Uma segunda hipótese postula que o aumento da agregação plquetária altera a viscosidade sanguínea que, superposta à elevação dos níveis plasmáticos de proteínas glicosiladas, desarranja o fluxo laminar, com aumento do gradiente pressórico e maior tempo de contato entre a célula endotelial e o componente plasmático glicosilado. Tal modificação resulta em um estímulo, para que a célula diabética produza mais tecido conectivo e aumente os elementos estruturais dos microvasos. (Mc Millan - 1976).

Para Parvin et. al.(1983), a elevação da pressão hidrostática na microcirculação seria o evento inicial das modificações na mesma. A hiperglicemia, a hiperglucagonemia e a elevação do hormônio somatotrófico induzem à elevação da Fração de Filtração Glomerular e Fluxo Plasmático Renal.

A hiperfiltração expõe o rim a um hiperfluxo capilar e a um aumento da pressão capilar intraglomerular que, a longo prazo, alteram as propriedades seletivas da membrana glomerular, aumentando a filtração protéica, com o aparecimento inicial de microalbuminúria e posterior proteinúria maciça, acompanhada de lesões estruturais, com queda progressiva da filtração glomerular. Zatz e Brenner (1986) consideram que a hiperperfusão generalizada que ocorre nas primeiras fases do diabetes é que seria responsável pelos distúrbios microvasculares.

Bryer et. al. (1983) demonstraram que a renina plasmática é reduzida em diabetes e a renina inativa é mais elevada que em controles normais, sendo muito elevada em diabéticos nefropatas. Sugere-se que a renina inativa seria um marcador precoce do envolvimento renal em pacientes diabéticos, precedendo até a

microalbuminúria.

O estado hiporeninêmico do diabético decorre da incapacidade renal de conversão da renina inativa na forma biologicamente ativa.

A supressão do eixo renina-angiotensina, contribui para a diminuição da resistência arteriolar, favorecendo a vasodilatação e a alteração de permeabilidade. Nos rins, produz o aumento do fluxo plasmático e filtração glomerular.

O estudo da função tubular demonstra que a reabsorção tubular máxima de fosfato está inibida pelo aumento da concentração plasmática e ultrafiltrada de glicose. Isto levaria a um estímulo para a reabsorção de sódio e água, juntamente com a glicose, através de mecanismos de co-transporte.

O excesso da reabsorção tubular proximal de Na e água, levaria ao aumento da Filtração Glomerular (Azevedo M. et. al. - 1988).

Se as proteínas plasmáticas elevam a pressão hidrostática no rim, o mecanismo é similar, acrescido das proteínas ingeridas da dieta. Tais proteínas causam vasodilatação e hiperperfusão glomerular, com pressão capilar elevada e aumento da filtração, que constituiriam fatores determinantes da deterioração da função renal. (Brener et. Hostetter - 1982).

As proteínas da dieta não atuam diretamente na filtração glomerular. Segundo os estudos de Premen (1986), existe um eixo hepato-renal mediado por proteínas, com dois desencadeantes principais:

- O aumento de AA (aminoácidos) produz vasodilatação das

arteríolas aferentes renais, aumentando a filtração glomerular.

- A captação de AA leva o fígado à produção de um hormônio vasodilatador, mediado pelo glucagon, denominado "glomerulopressina".

Carrobra com estas hipóteses a constatação de que uma dieta hipoprotéica, contendo 8% de proteínas, reduz o fluxo plasmático renal, a filtração glomerular, a hipercelularidade do mesângio e a matriz mesangial.,

A exemplo do que ocorre nos rins, a elevação da pressão hidrostática na microcirculação, aliada ao aumento da permeabilidade ao fluxo de proteínas plasmáticas nas arteríolas, ativa os eventos iniciais e decisivos para o desenvolvimento da microangiopatia sistêmica.

As alterações renais possuem repercussões na microcirculação sistêmica. uma vez que produzem o aumento da volemia com hiperperfusão generalizada.

III-2-5-D - Fatores de coagulação e outros fatores de homeostasia.

A hipercoagulabilidade tem sido apontada como o segundo fator de morbidade em diabetes.

Os fatores de coagulação necessitam estar em um equilíbrio estrito, o que não ocorre no diabetes (Drouin, P.).

Na figura 3-A esquematizamos o mecanismo plaquetário de formação de prostaglandinas, prostaciclinas e tromboxane. Na figura 3-B, os mecanismos fisiológicos normais da agregação plaquetária.

Tais figuras, foram inseridas no texto, com o objetivo de facilitar o entendimento das alterações do diabetes, que culminam

com a hipercoagulabilidade, descritas à seguir.

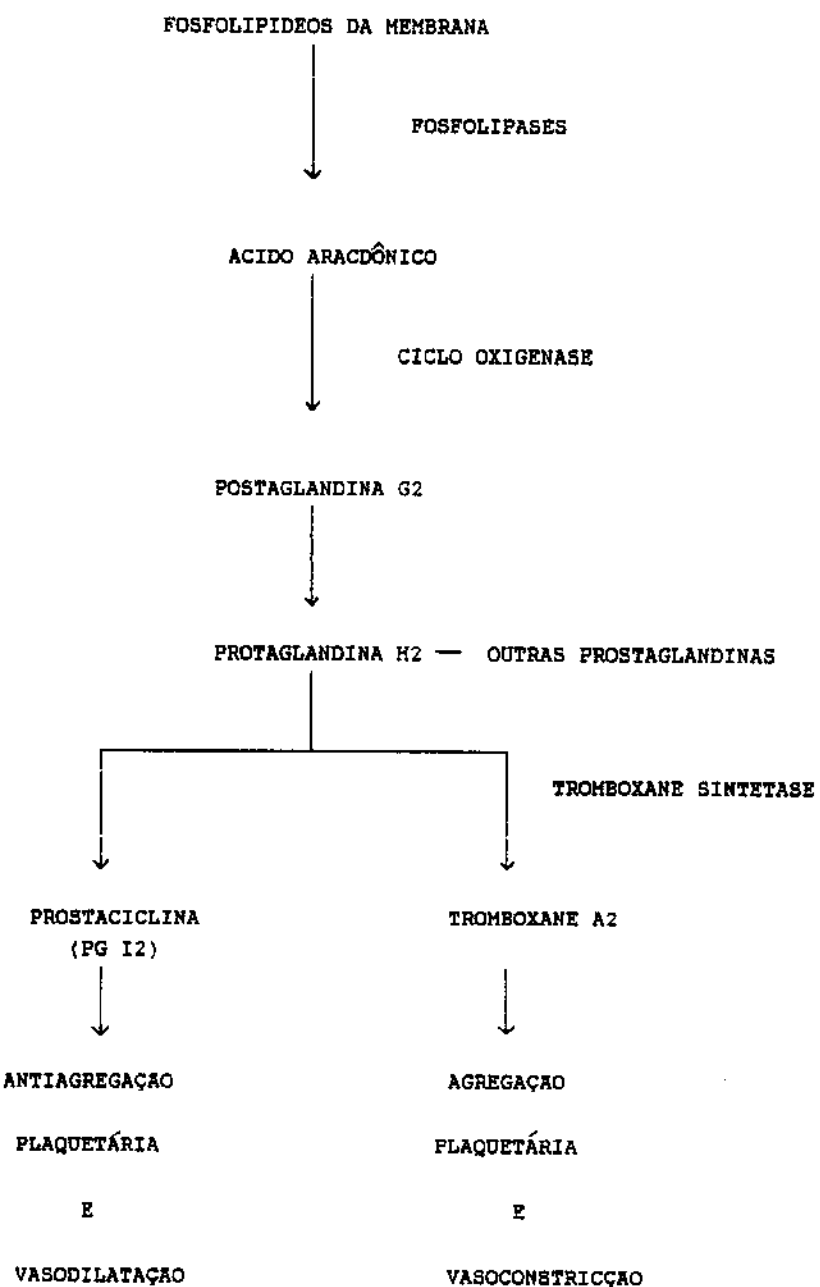


Figura 3-A) Mecanismo plaquetário de formação de prostaglandinas, prostaciclina e tromboxane.

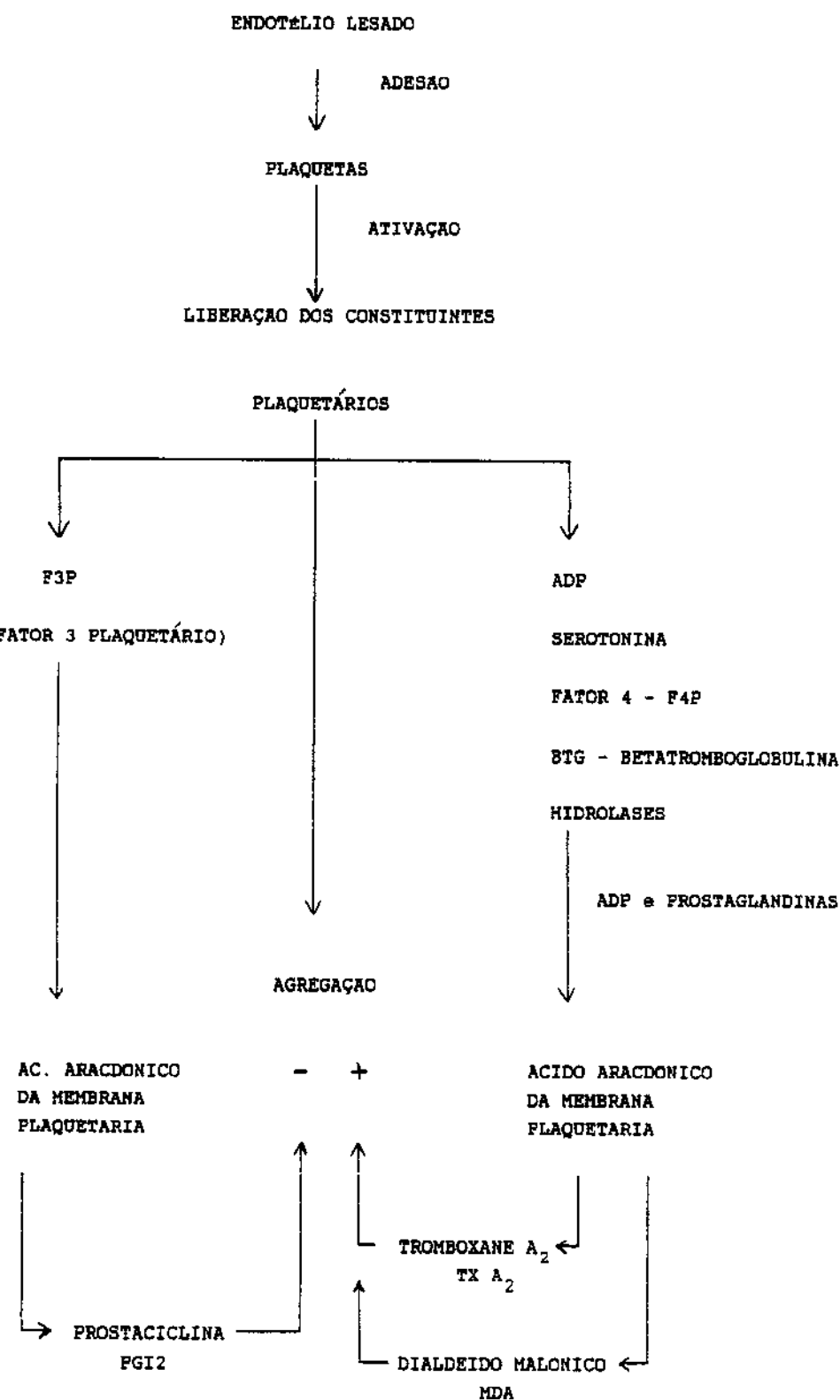


Figura 3 - B) Mecanismos fisiológicos normais da agregação plaquetária

A redução de Prostaciclinas (PGI2) tem sido apontada como uma possível causa de macro ou microangiopatia diabéticas.

A produção de PGI2 pela parede vascular é estimulada pelo Soro Humano Plasma Derivado (P.D.S.).

Diabéticos têm redução de P.D.S. e consequentemente P.G.I.2, com hipercoagulabilidade e complicações vasculares inerentes a este estado mórbido (Inoguchi, et. al. - 1986).

Coughlin et. al. (1980) sugeriram que a atividade estimulatória do soro se deva a um fator plaquetário similar ao hormônio somatotrófico:- fator de crescimento derivado de plaquetas (PDGF).

O principal inibidor fisiológico da coagulação é a Antitrombina III (A.T.III). Na presença da hiperglicemias, a concentração de ATIII permanece constante, porém sua atividade decresce. A aplicação subcutânea, em doses profiláticas, por cinco dias, restaura completamente a atividade de antitrombina III.

Outro fator alterado é o fibrinopeptídio A, um pequeno peptídio que resulta da geração de trombina. Os diabéticos apresentam elevações grosseiras de Peptídio A e Fibrinogênio.

As concentrações destes elementos podem ser restauradas, mediante a administração de heparina ou com a manutenção da euglicemias (Ceriello - 1986).

Encontram-se também elevados, em proporção direta com a glicemias, o fator VII, VIII e X plaquetários (Small et. al. - 1986).

As prostagiandinas encontram-se igualmente elevadas. A utilização de prostaglandina-sintetase reduz a vasodilatação decorrente das elevações agudas da glicose, demonstrando a participa-

ção das mesmas nos fenômenos vasomotores que favorecem a microangiopatia.

III-2-5-E - Metabolismo lipídico e aterogênese:

Embora o estudo da macroangiopatia não tenha sido objetivo de nossos estudos, não podemos deixar de citá-la uma vez, que sua freqüência é duas vezes superior aos controles normais da mesma idade (Chanson, Ph e Lubetzki - 1991).

Comprovadamente, existe em diabetes um aumento de L.D.L. e triglicérides, mas sua etiologia ainda não está esclarecida. Muitas teorias têm sido aventadas para explicar o acúmulo de lípides na circulação do indivíduo diabético:

1- O Diabetes Mellitus favorece a adesão de monócitos.

(Trata-se de uma teoria contraditória, uma vez que o estado diabético reduz a quimiotaxia dos leucócitos).

2- O aumento das prostaglandinas plaquetárias produzem aumento da adesividade e agregação de plaquetas, mesmo na ausência de lesões vasculares.

3- Indivíduos diabéticos possuem aumento da histamina intraparietal, com alterações da permeabilidade endotelial que predispõe à arteriosclerose.

4- Modificações do metabolismo lipídico:

- oxidação anormal das VLDL, citotóxicas ao endotélio, favorecendo acúmulos intraparietais de lipídeos;
- diminuição do catabolismo de LDL, cuja glicosilação e conteúdo se alteram;
- HDL glicosiladas são mais rapidamente eliminadas da circulação.

III-3 - Incidência e Prevalência de microangiopatia :

Através do estudo da membrana basal do quadríceps femoral, Siperstein e cols. (1968) relataram o espessamento desta estrutura em 98% dos pacientes diabéticos e em 50% dos pacientes intolerantes à glicose, estes últimos, rebiopsiados quatro a seis anos mais tarde.

Williamson e cols. (1978) demonstraram que a alteração é inexistente em diabéticos tipo I, recém-diagnosticados.

Os estudos anátomo-patológicos que demonstram a incidência e prevalência de microangiopatia diabética nos diferentes órgãos são raros.

Não encontramos na literatura, trabalhos que avaliem tais índices, aplicados aos pequenos vasos intramiocárdicos.

Uma avaliação direta da microcirculação pode ser obtida através dos vasos da retina.

O Estudo Epidemiológico da Retinopatia Diabética de Wisconsin mostrou que em 996 pacientes, com diagnóstico de Diabetes Mellitus, antes dos 30 anos de idade, 71 % possuíam retinopatia, na ocasião em que o estudo foi realizado. Entre os 1370 pacientes, com diagnóstico em idade superior ou igual a 30 anos, foi observada uma freqüência de 39 % de portadores de retinopatia (Klein - 1989).

Como acreditamos que o desenvolvimento da microangiopatia dependa de um potencial genético de penetrância variável, associado ao meio metabólico hiperglicêmico, entendemos que as conclusões epidemiológicas permanecerão longo tempo sem respostas.

III-4 - Expressão anátomo-patológica:

Em 1972, a Cardiomiotia Diabética passa a ser definida como uma entidade nosológica distinta, através dos achados de Rubler et. al. - 1972. Quatro de seus pacientes eram diabéticos, portadores de Insuficiência Cardíaca Congestiva de etiologia não esclarecida.

O estudo anátomo-patológico demonstrou:-

Fibrose intersticial.

Hipertrofia das Miofibrilas.

Em um dos quatro casos, observou-se o espessamento das arterias coronárias intramurais, com depósitos de mucopolissacáideos ácidos subendoteliais, espessamento subintimal e hipertrofia da camada média.

Regan et. al. (1974) descreveram a fibrose intersticial, decorrente de acúmulos disseminados de glicoproteínas coráveis pelo Ácido Periódico de Schiff.

Ledet - 1976 acrescenta duas novas observações à fibrose intersticial. Observa-se aumento de tecido conetivo perivasculares, aumento este constituído por tecido fibroso, que não se relaciona com o peso do coração, idade do paciente ou duração do diabetes.

Outra alteração observada por Ledet refere-se à fibrose em placas. Estas lesões constituem-se de fibrose densa, localizada na parede livre dos ventrículos, em pacientes portador de Diabetes Mellitus de longa duração, possuidores de coronárias epicárdicas périvas.

Complementando seus estudos, o autor avaliou a porcentagem

de tecido conetivo perivascular e núcleos da camada média, em indivíduos diabéticos e indivíduo-controle. Encontrou um aumento significativo de ambos os parâmetros estudados na população diabética.

O tecido conetivo perivascular foi superior a 10.7% para a população diabética e inferior a este valor para o grupo controle.

O número de núcleos da túnica média, por secção de arteríolas de diâmetros entre 15 e 20 u, 20 e 30 u e 30 a 50 u. demonstrou que, para todos os diâmetros observados, os diabéticos possuem 50% mais núcleos que os indivíduos-controle.

Mais recentemente, Factor et. al. (1980) estudaram a microcirculação com moldes de silicone e identificaram, nos pequenos vasos intramiocárdicos, lesões aneurismáticas semelhantes às observadas na retina. Foram identificadas quatro tipos de lesões vasculares:-

1- Expansões nodulares: parecem tratar-se de um segmento curvo de um vaso, com ramos apostos colocados em contato. Aventou-se ser o provável mecanismo de formação dos aneurismas.

2- Vasos em espiral: trata-se de rotações segmentares dos vasos em torno de um eixo paralelo ao eixo longo do vaso, que morfologicamente se assemelha a um "saca-rolhas", denominação inicialmente utilizada pelos autores.

O mecanismo de formação e as repercussões funcionais destas alterações permanecem desconhecidas.

3- Microaneurismas saculares:- verdadeiramente similares aos da retina. Possuem diâmetros três vezes superiores aos diâme-

tros do vaso e se localizam próximos aos pontos de ramificações vasculares.

4- Microaneurismas fusiformes: devido à grande área de estreitamento do vaso ajustante das dilatações fusiformes, são observadas focalmente: miocitólise ativa, miocitólise em absorção e miocardiofibrose.

Factor et. al. (1983), referindo-se à magnitude das lesões microvasculares, observam-nas exacerbadas, quando associadas a outras condições que determinem Hipertensão Arterial Sistêmica.

Siperstein (1968) associa o aumento de freqüência da microangiopatia à condição de hipertensão arterial e fluxo lento.

Vernon et. al.(1989), ao analisarem os diferentes tecidos, concluíram que as alterações dos vasos miocárdicos tendem a ser limitadas, quando comparadas aos demais tecidos de um mesmo paciente.

Ribeiro Jorge (1988), em um estudo dirigido à microcirculação coronariana de indivíduos hipertensos, diabéticos e lúpicos, concluiu que:

a) em diabéticos ocorre o espessamento do vaso, com depósitos P.A.S. positivos, sendo observados vasos normais na proximidade. Faixas de tecido fibroso substituem o tecido muscular normal, onde todas as coronárias epicárdicas foram descritas como normais;

b) em hipertensos, o diagnóstico anátomo-patológico foi compatível com Hiperplasia fibromuscular das arteríolas do miocárdio, tendo sido encontrados:

- redução do lúmen arteriolar;
- hiperplasia de células endoteliais;

- hipertrofia da camada média com proliferação de fibras colágenas;
- c) em indivíduos portadores de Lupus Eritematoso Sistêmico, foram observados:
- hiperplasia da camada íntima;
 - hipertrofia, hialinização e vacuolização da camada média;
 - edema intersticial do miocárdio com fibras vacuolizadas em áreas esparsas.

A unanimidade dos autores concorda com as afirmações iniciais de Siperstein e Williamson: "Histometricamente a lesão fundamental do Diabetes Mellitus é o espessamento da membrana basal vascular de todo o corpo, mais convenientemente mensurável no músculo quadríceps". Na ausência de doença vascular, mais especificamente o Lupus Eritematoso Sistêmico, espessamentos da membrana basal dos vasos superiores a 1.800 A. são diagnósticos de Diabetes Mellitus.

III-5 - O período pré-clínico

O período pré-clínico da Cardiomiopatia Diabética pode ser detectado por métodos não invasivos.

Alterações incipientes, não detectáveis através da ecocardiografia ao repouso, podem ser observadas no ecocardiograma pós esforço e constitui um exame subsidiário de grande valor diagnóstico. Seneviratne et. al. (1977) observaram à ecocardiografia que pacientes diabéticos, com alterações microvasculares, apresentavam redução nas frações de encurtamento das fibras e ejeção ventricular, quando comparados a diabéticos sem microangiopatia.

Hausdorf et. al. (1988) estudaram ecocardiograficamente crianças diabéticas, sem sintomas de cardiopatia, e observaram que o tempo entre a dimensão mínima da cavidade ventricular e o fechamento da válvula mitral é prolongado.

Friedman et. al., em 1986 demonstraram um aumento no diâmetro do menor eixo da fibra ao final da sístole, diminuição da fração de encurtamento e diminuição na velocidade de encurtamento da fibra. Aprimorando o estudo anterior, Baum et. al. (1987) realizaram exames ecocardiográficos em jovens diabéticos, durante o esforço dinâmico ou isométrico, e concluíram que os índices de função sistólica encontram-se alterados. Obtiveram redução da fração de encurtamento (F.S) e velocidade de encurtamento (Vcf), sem respostas anormais de Pressão Arterial que pudessem alterar estes índices. Um aspecto muito interessante de seu trabalho foi o achado da diminuição no movimento do septal interventricular ("Flat Septal Motion") nos pacientes portadores de contraturas digitais e diminuição da mobilidade articular.

Atribui-se que o aumento do colágeno glicosilado, prevalente em 32% das crianças e adolescentes diabéticos com três anos de hiperglicemia manifesta, seja o fator responsável pelas alterações cutâneas, articulares e diminuição da complacência distólica.

Embora o período pré-clínico não esteja incluso em nossa metodologia, consideramos que este período, mais freqüente no diabetes de curta duração, mereça ser citado, uma vez que precede a cardiomiopatia diabética grave, que pode ser prevenida com o controle metabólico adequado.

III-6 - O período clínico :

A expressão clínica da Cardiomiospatia diabética foi primeiramente sugerida por Hambay et. al. (1984), através do achado de Insuficiência Cardíaca Congestiva, que se correlacionava com os achados anátomo-patológicos de microangiopatia com depósitos, PAS positivos na microcirculação coronariana.

Argüelles et. al. (1983) reconhecem como peculiares as seguintes manifestações clínicas e eletrocardiográficas:

- Angina de peito típica, indistinta da lesão obstrutiva, responsiva a vasodilatadores, devido à arteriolopatia.
- Taquicardia sinusal persistente, refratária ao digital, ocorrendo por denervação parassimpática.
- Ausência de alterações do automatismo ventricular.
- Distúrbio de condução do ramo esquerdo do feixe de Hiss, decorrente de fibrose.
- Redução precoce da complacência miocárdica, com repercussões na função ventricular, decorrente do acúmulo de glicoproteínas no interstício do miocárdio.

Em outra série de pacientes, Regan et. al. (1974) encontraram:

A) Pacientes do Grupo A - cineangiocoronariografia normal, ausência de falência miocárdica.

- 1- Exame clínico normal
- 2- ECG normal.
- 3- Ausência de déficits contráteis regionais.
- 4- Diminuição da fração de ejeção.
- 5- Aumento da Pressão Diastólica final.

- 6- Hipocinesia (4 pacientes).
- 7- Peso do Coração entre 300-550 g.
- 8- Ao exame anátomo-patológico:
 - Fibrose intersticial c/ acúmulos PAS positivos.
 - Fibrose periarterial.
 - Fibrose focal.
 - Espessamento da membrana basal capilar.
 - Fibrose da parede livre de V.E. > 1 cm².

B) Pacientes do grupo B - pacientes com anormalidades à cineangiocoronariografia.

- 1- Precordialgia típica.
- 2- Depressão de segmento ST superior a 1 mm.
- 3- Obstrução coronariana superior a 50%.
- 4- Discinesia local.
- 5- Elevação da concentração de lactato na artéria coronária.
- 6- Achados anátomo-patológicos iguais ao Grupo A, porém com o colágeno intersticial mais abundante e a presença de glicoproteínas amorfas com extensão para os túbulos T.

As conclusões obtidas foram de grande importância para a compreensão da miocardiopatia diabética: -

- 1- As anormalidades cardíacas da microangiopatia diabética ocorrem na ausência de fatores de risco para doença coronariana do tipo obstrutiva
- 2- Cardiopatas diabéticos sintomáticos possuem disfunção ventricular na ausência de obstrução coronariana

- 3- As concentrações e extração de lactato não se alteram na ausência de doença oclusiva coronariana. Desta forma, considerou-se que as alterações arteriais, isoladamente, são insuficientes para restringir significantemente a perfusão do miocárdio.
- 4- No período pré-clínico, não existe falência miocárdica, porém ocorre redução do volume diastólico final, por redução do enchimento ventricular.

Os índices da fase de ejeção não se reduzem de "forma significativa no repouso."

- 5- As estruturas extracelulares são os maiores determinantes da elasticidade do músculo, sendo que em diabéticos ocorre uma redução da complacência diastólica similar àquela observada no coração amilóide.
- 6- As alterações da função muscular sugerem um aumento da rigidez muscular que pode ser atribuída ao colágeno e glicoproteínas intersticiais.
- 7- A descompensação cardíaca não requer concomitância de complicações como hipertensão, ateroesclerose e obesidade.
- 8- Após a descompensação do miocárdio diabético, este exibe propriedades similares aos demais tipos etiológicos de cardiopatia.
- 9- Acúmulos glicoprotéicos estão presentes, de forma linear, na superfície das fibras cardíacas.

10- A microscopia eletrônica, é evidente a ativação de fibroblastos, seguindo o aumento da síntese de colágeno. Embora o mecanismo de descompensação não esteja claro, o colágeno intersticial parece constituir o maior determinante da progressão desta miocardiopatia.

IV MATERIAL E MÉTODOS

IV - MATERIAL E MÉTODOS

Foram estudadas, retrospectivamente, todas as observações necroscópicas que permitissem o Diagnóstico Clínico e Bioquímico de Diabetes Mellitus ou Intolerância à glicose, arquivadas no Departamento de Patologia da Faculdade de Ciências Médicas da Pontifícia Universidade Católica de Campinas, durante o período de 1981 a 1990, totalizando cento e trinta e sete observações.

IV-A - CRITÉRIOS CLASSIFICATÓRIOS :-

I - Critérios para o diagnóstico de Diabetes Mellitus e Intolerância à glicose:

Utilizamos os critérios diagnósticos estabelecidos pelo "National Diabetes Data Group", expressos na tabela 1 :-

| Diagnóstico de Diabetes Mellitus e Intolerância à glicose | |
|--|---|
| 1. Diabetes Mellitus :- | Glicose plasmática de jejum ≥ 140 mg/dl em pelo menos duas ocasiões. |
| 2. Teste oral de tolerância à glicose :- | |
| 2.1. - Diabetes Mellitus :- | Glicose plasmática de jejum ≤ 140 mg/dl, 1 valor ≥ 200 mg/dl entre 30 a 90 minutos e ≥ 200 mg/dl aos 120 minutos. |
| 2.2. - Intolerância à glicose :- | Glicose plasmática de jejum < 140 mg/dl, 1 valor ≥ 200 mg/dl entre 30 e 90 minutos e valores ≥ 140 e 200 mg/dl aos 120 minutos. |

2.3. - Diabetes Gestacional :-

Dois ou mais valores maiores que :-

jejum - 105 mg/dl.

60 min - 190 mg/dl.

120 min - 165 mg/dl.

180 min - 145 mg/dl.

Tabela 1 :- Diagnóstico de Diabetes Mellitus e outras categorias de Intolerância à glicose. Extraída do "National Diabetes Data Group".

II - Classificação Clínica do Diabetes Mellitus :-

Utilizamos a Classificação Internacional recomendada pelo "National Diabetes Data Group", referida na tabela 1:-

Classificação Clínica do Diabetes Mellitus

Insulino Dependente ou tipo I

1. - Diabetes Mellitus

Não Insulino dependente ou tipo II

2. - Diabetes Gestacional.

3. - Tolerância Diminuída à glicose.

4. - Anormalidade Prévia de Tolerância à Glicose.

5. - Anormalidade Potencial de Tolerância à Glicose.

6. - Diabetes secundário.

Tabela 2 :- Classificação Clínica do Diabetes Mellitus segundo o "National Diabetes Data Group".

Esta classificação, embora ainda aceita internacionalmente, de modo contínuo tem sido reanalisa, devido à expansão de conhecimentos em diabetologia.

Em nosso estudo, optamos por utilizar a terminologia Diabetes Mellitus tipo II "Insulino Requerente", para designarmos o grupo de indivíduos que possuíam secreção de insulina endógena suficiente, mediante a utilização de terapêutica dietética ou hipoglicemiantes orais e que, em um determinado momento, esgotaram suas reservas de insulina endógena, passando a requerer terapêutica insulínica substitutiva.

Desta forma, no item 1.2. teremos os indivíduos diabéticos tipo II, subdivididos em duas categorias:- não insulino requerentes e insulino requerentes.

III - Critérios utilizados para avaliação do controle glicêmico:-

Relativamente ao grau de controle glicêmico, a normatização obedeceu aos critérios da "American Diabetes Association", conforme a tabela 3.

| Grau de Controle | Glicemia de jejum | Glicemia de 2h pós-prandial |
|------------------|-----------------------------|-----------------------------|
| Bom | $\leq 120 \text{ mg/dl}$ | $\leq 140 \text{ mg/dl}$ |
| Satisfatório | $\leq 140 \text{ mg/dl}$ | $\leq 160 \text{ mg/dl}$ |
| Ruim | todos os valores superiores | |

Tabela 3 :- Critérios indicativos do grau de controle glicêmico, segundo a "American Diabetes Association".

IV-B - CRITÉRIOS UTILIZADOS PARA O ESTUDO CLÍNICO :-

O estudo clínico incluiu a análise dos seguintes ítems :-

IV.B.1 - Sexo.

IV.B.2 - Faixa etária.

IV.B.3 - Tempo de doença bioquimicamente comprovada.

IV.B.4 - Classificação do diabetes.

IV.B.5 - Grau de controle glicêmico.

IV.B.6 - Sinais e sintomas - Foram considerados os sintomas e sinais clínicos compatíveis com :

IV.B.6.1 - Cardiopatia isquêmica: caracterizada por dor precordial em aperto, intensificada pelo esforço, com melhora objetiva ao repouso e após a administração de nitratos (Ramos Jr. 1977).

Eletrocardiograma compatível com isquemia, caracterizado por alterações do segmento ST.

IV.B.6.2 - Insuficiência cardíaca esquerda : caracterizada por dispneia em seus diferentes graus, acrescida ou não de estertores subcrepitantes de base ou estertores subcrepitantes bilaterais. (Ramos Jr. - 1977).

IV.B.6.3 - Insuficiência cardíaca direita : referida por edema progressivo. intersticial ou cavitário, ou ambos, acompanhado de hepatomegalia ou esplenomegalia, ou ambos, do tipo congestiva e estase bilateral pulsátil (Ramos Jr. - 1977).

IV.B.6.4 -Insuficiência cardíaca biventricular: caracterizada pela somatória dos sintomas e sinais descritos na Insuficiência cardíaca esquerda e direita.

IV.B.7 - Expressão eletrocardiográfica :- foram considerados os eletrocardiogramas obtidos em repouso nas derivações convencionais.

Detivemo-nos a verificar mais atentamente as seguintes al-

terações :

IV.B.7.1 - Retificação do segmento ST com supradesnívelamento ou infradesnívelamento igual ou superior a 1 mm, sugerindo isquemia.

IV.B.7.2 - Distúrbio secundário da repolarização ventricular na ausência de outra patologia, à exceção da cardiopatia isquêmica, que o justifique (Carneiro, E.F. - 1992).

IV.B.7.3 - Sinais de sobrecarga ventricular esquerda, caracterizada pelo desvio de eixo para a esquerda, ondas S profundas em V₁ e V₂ e ondas R amplas em V₅ e V₆ (Carneiro, E.F. - 1992).

IV.B.7.4 - Presença de complexos QS indicativos de áreas eletricamente inativas (Carneiro, E.F. - 1992).

IV.B.7.5 - Alterações da frequência cardíaca média, principalmente a taquicardia sinusal persistente, refratária à terapêutica digitalica ou à estabilização das condições hemodinâmicas (Arguelles et. al. - 1983).

IV.B.7.6 - Fibrilação atrial aguda e crônica.

IV.B.8 - Expressão radiológica :

O estudo radiológico do coração procedeu-se através do Rx de tórax em posição pôstero-anterior, para serem avaliadas as dimensões e a morfologia da área cardíaca. Expressamos o aumento da área cardíaca em cruzes (+ a +++), indicando a câmara que se mostrava radiograficamente alterada.

IV.B.9 - Hipertensão Arterial Sistêmica associada :- foram considerados hipertensos os indivíduos portadores de níveis tensionais de pressão arterial diastólica ≥ a 95 mm Hg e

sistólica ≥ 145 mm de Hg, aferidos nos membros superiores através de manguito (O.M.S.).

IV-C - CRITÉRIOS UTILIZADOS PARA O ESTUDO ANATOMO-PATOLOGICO :-

O Estudo Anátomo Patológico obedeceu às normas do Departamento de Anatomia Patológica da Faculdade de Ciências Médicas da P.U.C.C.A.M.P. :-

É realizada uma incisão médio-Esternal superiormente em Y até as articulações clavículo-umerais e inferiormente até a sínfise púbica e, deste ponto, bilateralmente em direção às fossas ilíacas.

O gradeado costal é retirado em bloco, com o uso de um costótomo, utilizando-se como referência anatômica as linhas axilares anteriores direita e esquerda. Desta forma expõe-se o mediastino e os hemitórax para análise topográfica e anátomo-patológica de superfície.

A seguir, é aberto o saco pericárdico, colhido o líquido pericárdico para exame bioquímico (quando necessário) e avaliadas a topografia, as dimensões e as lesões macroscópicas da superfície do coração.

Os grandes vasos da base são seccionados e a peça é retirada em bloco.

Segue-se a lavagem com água, a retirada dos coágulos e a execução dos testes de continência valvar.

Em sequência, o coração é pesado em balança convencional e aberto através de sua via de saída em direção à ponta. Procede-se então a análise macroscópica quanto a integridade dos aparelhos

valvares, trombos intracavitários, áreas de comunicação inter-câmaras, áreas de degeneração ou fibrose e outras alterações possíveis de serem visualizadas à macroscopia.

C.1 - Peso do coração :- consideramos como parâmetros normais os valores estabelecidos por Robbins na tabela 4.

| SEXO | PESO MÍNIMO | PESO MÁXIMO |
|-----------|-------------|-------------|
| MASCULINO | 300 g | 350 g |
| FEMININO | 250 g | 300 g |

Tabela 4 :- Limites normais para o peso do coração em gramas

C.2 - Artérias coronárias epicárdicas : As artérias coronárias epicárdicas são seccionadas com intervalos de 5 mm para avaliação do porcentagem de estenose luminal, quando presente.

Este procedimento é executado em cada um dos principais ramos destas artérias.

Devido à alta incidência de coronariopatia obstrutiva associada à Síndrome Diabética, a estenose luminal superior ou igual a 50% foi objeto de correlação à microscopia óptica.

C.3 - Espessura da parede do miocárdio :-

A espessura da parede dos ventrículos é medida nas vias de saída utilizando-se uma régua milimetrada.

Padronizamos como valores normais aqueles propostos por Robbins, apresentados na tabela 5.

| CAMADA CARDIACA | ESPESSURA NORMAL | DILATAÇÃO | HIPERTROFIA |
|-----------------|------------------|-----------|-------------|
| VD | 0.3 - 0.5 cm | < 0.3 cm | > 0.5 cm |
| VE | 1.3 - 1.5 cm | < 1.3 cm | > 1.5 cm |

Tabela 5. - Valores considerados normais e patológicos para a espessura das paredes do coração.

C.4 - Exame microscópico :-

Após o exame macroscópico do coração, foram retirados para exame fragmentos das áreas macroscópicamente alteradas e fragmentos de controle das paredes anterior, posterior e lateral dos ventrículos, assim como das porções superior, média e inferior do septo interventricular.

Os fragmentos são fixados em formalina a 10% e posteriormente incluídos em parafina para secção por micrótomo.

Segue-se a coloração por Hematoxilina - Eosina e "Periodic Acid de Schiff."

Os cortes são montados entre lâmina e lamínula para observação microscópica.

Todos os casos foram estudados pela autora da tese e confrontados com diagnósticos previamente estabelecidos.

O número de cortes histológicos variou de acordo com o número de lesões observadas à macroscopia e com a extensão das lesões.

De acordo com a rotina do Departamento de Anatomia Patoló-

gica da F.C.M. - P.U.C.C.A.M.P., na ausência de alterações macroscópicas, são retirados um (01) fragmento de cada área: paredes laterais do átrio direito, átrio esquerdo, ventrículo direito e ventrículo esquerdo. O mesmo ocorre para cada região do septo interventricular (regiões: superior, média e inferior). Para cada fragmento retirado, habitualmente, são processadas duas (02) lâminas para estudo microscópico que posteriormente serão arquivadas com o caso clínico.

As áreas que apresentam alterações à macroscopia são estudadas em toda a sua extensão. São cortados fragmentos seriados de aproximadamente 1 mm de espessura, para serem inseridos em parafina e recortados através de microtômo, para coloração e montagem da lâmina.

Os pequenos vasos intramiocárdicos foram estudados em todos os campos. Foram considerados os vasos em que a orientação do corte se apresentava rigorosamente perpendicular ao eixo longo do vaso. Os cortes tangenciais ou oblíquos não foram considerados.

Para compormos o quadro anátomo-patológico que expressa as alterações próprias do Diabetes Mellitus no coração, foram estudadas :-

C.4.1 - Lesões que envolvem o tecido conetivo:

C.4.1.A - Fibrose perivasicular.

C.4.1.B - Fibrose intersticial.

C.4.2 - Lesões que envolvem as células cardíacas:

C.4.2.A - Hipertrofia.

C.4.2.B - Necrose focal disseminada.

C.4.2.C - Necrose extensa.

C.4.3 - Lesões Residuais que envolvem as células cardíacas

C.4.3.1 - Fibrose focal disseminada.

C.4.3.2 - Fibrose extensa.

C.4.4. - Lesões dos pequenos vasos intramiocárdicos:

C.4.4.1 - Espessamento hialino da camada média.

C.4.5 Associação com nefropatia :-

A nefropatia diabética difusa foi caracterizada através da hialinose arteriolar, halinização ao longo da cápsula de Bowman, alargamento do mesangio às custas do aumento da matriz mesangial e hiperplasia celular.

A clássica nefropatia de Kimmenstiel-Wilson caracterizou-se pela presença de depósitos hialinos nodulares, localizados nos capilares glomerulares.

IV-D - CRITÉRIOS UTILIZADOS PARA ANALISAR OS RESULTADOS

Para que procedêssemos à análise dos resultados compilados, realizamos:-

- SUBDIVISÃO DOS INDIVÍDUOS EM GRUPOS:-

GRUPO DD - Indivíduos portadores de Diabetes Mellitus na ausência de outras patologias cardíacas ou sistêmica com repercussão cardíaca (também os denominamos de Diabéticos Puros);

GRUPO DG - Indivíduos portadores de Diabetes Mellitus e patologias cardíacas ou com repercussão cardíaca associada.

- ESTABELECIMENTO DE UM GRUPO-CONTROLE PARA ANÁLISE DO PESSOAL DO CORAÇÃO: - O grupo controle foi constituído por quarenta indivíduos necropsiados no mesmo período que a população em estudo.

Tais indivíduos não possuíam patologias cardíacas ao exame clínico e anátomo-patológico. Quanto a faixa etária, localizavam-se na sexta década, e subdividiam-se, quanto ao sexo, em vinte indivíduos do sexo feminino e igual número do sexo masculino.

- ESTUDO DE INCIDÊNCIAS :- foram avaliadas as incidências dos parâmetros propostos no estudo clínico e anátomo-patológico, para verificação das características da população estudada.

- A INCIDÊNCIA DE ASSOCIAÇÃO :- o estudo de incidência de associação foi realizado para que as associações pudessem ser registradas independentemente de seu significado estatístico, uma vez que a fragmentação da casuística resultou em grupos-propósitos possuidores de número de elementos inferiores a cinco, portanto sem significância estatística.

Para este estudo, as variáveis foram agrupadas de acordo com o esquema que se segue:-

IV.D.1 Freqüência de arteriolopatia da camada média associada a :

IV.D.1.A - Indivíduos exclusivamente diabéticos

- diabéticos hipertensos
- diabéticos e exclusivamente portadores coronariopatia obstrutiva $\geq 50\%$.

IV.D.1.B - Indivíduos exclusivamente diabéticos, diabéticos exclusivamente hipertensos e diabéticos exclusivamente possuidores de coronariopatia obstrutiva $\geq 50\%$. portadores de mau e bom controle metabólico.

IV.D.2 - Arteriolopatia hialina da camada média na ausência de coronariopatia obstrutiva $> 30\%$ e:-

IV.D.2.A - "Angina pectoris" com manifestações eletrocardiográficas de isquemia presentes ou ausentes.

IV.D.2.B - Grau de controle metabólico.

IV.D.C - Tempo de evolução da doença,

IV.D.D - Lesões da miocélula e do interstício.

IV.D.3-Associação entre o grau de controle metabólico dos indivíduos portadores de arteriolopatia hialina da camada média
e:-

IV.D.3.A - Lesões intersticiais.

IV.D.3.B - Lesões da miocélula.

IV.D.3.C - Lesões dos pequenos vasos intramiocárdicos.

IV.D.3.D - Lesões das coronárias epicárdicas.

IV.D.4 - Associação entre o grau de controle metabólico dos indivíduos exclusivamente diabético e :-

IV.D.4.A - Lesões intersticiais.

IV.D.4.B - Lesões da miocélula.

IV.D.4.C - Lesões dos pequenos vasos intramiocárdicos.

IV.D.5 - Associação entre lesões obstrutivas das coronárias epicárdicas $\geq 50\%$ e o grau de controle metabólico.

E - O ESTUDO DE CORRELAÇÃO :-

O Estudo da correlação de duas ou mais variáveis foi realizado através do teste do q^2 de Pearson.

Os resultados obtidos foram considerados significativos, quando a probabilidade estatística de sua ocorrência era inferior a 5% ($p < 0,05$).

A análise do peso do coração dos indivíduos diabéticos e do grupo controle foi realizado através do teste "t" de Student.

V RESULTADOS

V RESULTADOS

V. A) (REFERE-SE AOS CRITÉRIOS CLASSIFICATÓRIOS NO CAPÍTULO ANTERIOR).

V. B) RESULTADOS DO ESTUDO CLÍNICO QUANTO A DISTRIBUIÇÃO DE FREQUÊNCIAS:

V.B.1) Sexo:-

feminino = 54,74%

masculino = 45,25%

V.B.2) Faixa etária:-

Em nosso estudo, corresponde à ocasião em que ocorreu o óbito:

6ª década = 29,19%

7ª década = 25,54%

5ª década = 22,62%

V.B.3) Tempo de doença bioquimicamente comprovada:-

0 —| 3 anos = 27,00%

3 —| 6 anos = 12,40%

6 —| 9 anos = 6,56%

9 —| 12 anos = 8,02%

12 —| 21 anos = 3,64%

> 21 anos = 2,91%

não previsão = 9,42%

O grupo, designado por "não previsão", corresponde aos Intolerantes à glicose.

V.B.4) Classificação Clínica do Diabetes Mellitus:-

D.M. tipo I = 3,64%

D.M. tipo II = 65,69%

Intolerância à glicose = 29,92%

Outros tipos = 0,72% (pancreatopatia alcoólica)

Salientamos mais uma vez que, de acordo com as justificativas apresentadas na seção Material e Métodos, os indivíduos diabéticos tipo II em uso de insulina persistiram nesta classificação, sendo considerados "Diabetes Mellitus tipo II insulino-requerente".

V. B.5) Grau de Controle da hiperglícemia:-

mau controle = 44,52%

satisfatório = 8,02%

bom controle = 10,94%

bom controle (Intol.à Glicose) = 29,90%

controle desconhecido = 6,02%

V.B.6) Sintomas e Sinais Clínicos:-

- ausência de sintomas e sinais:

Grupo DG = 34,61%

Grupo DD = 78,78%

- dor precordial:

Grupo DG = 24,03%

Grupo DD = 18,18%

- insuficiência Cardíaca biventricular:

Grupo DG = 20,19%

Grupo DD = 15,15%

- insuficiência Cardíaca esquerda:

Grupo DG = 5,76%

Grupo DD = 0,00%

- insuficiência Cardíaca direita:

Grupo DG = 0,00%

Grupo DD = 0,00%

- extra-sístoles:

Grupo DG = 15,38%

Grupo DD = 15,15%

- taquicardia sinusal:

Grupo DG = 7,69%

Grupo DD = 15,15%

- fibrilação atrial crônica:

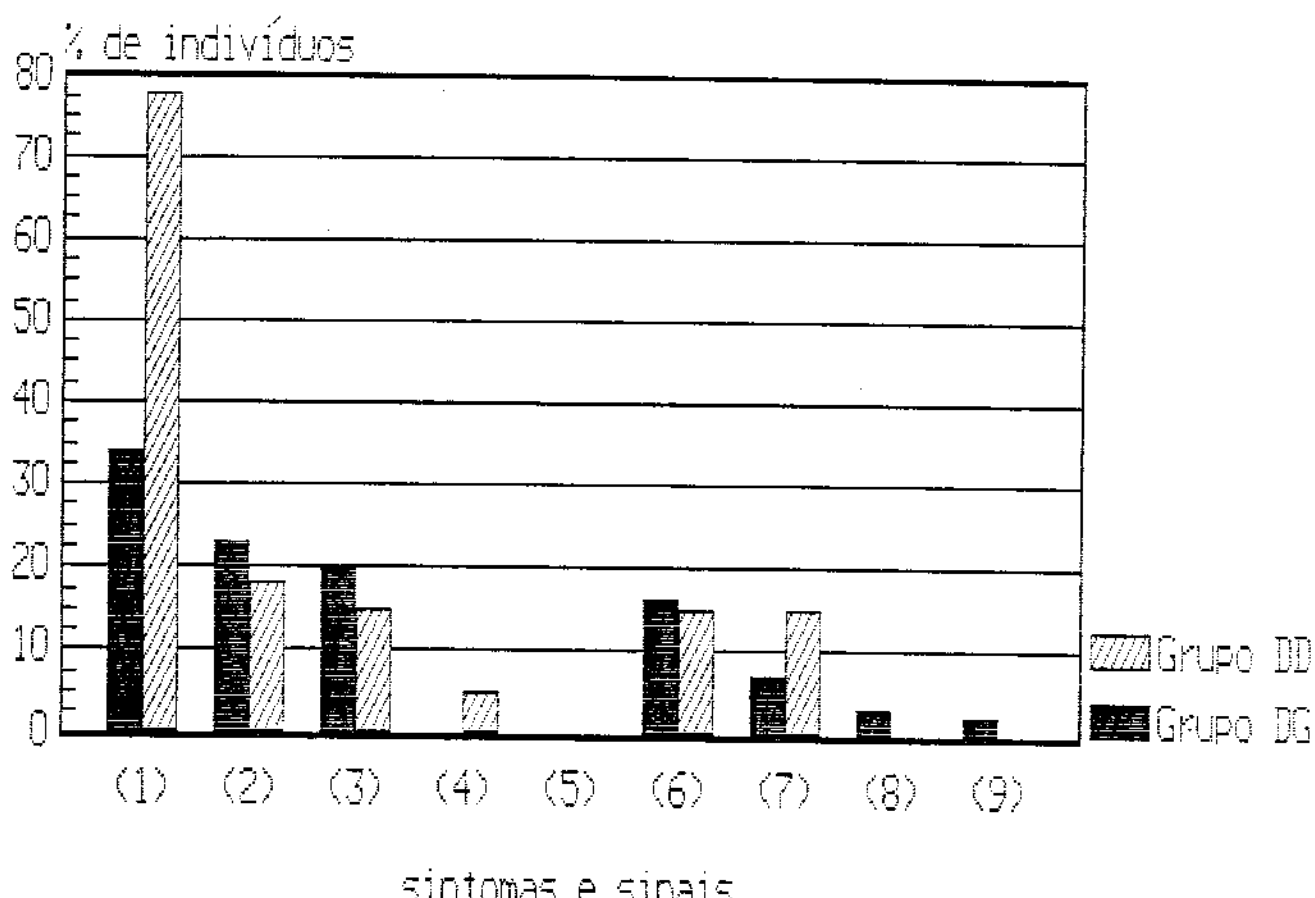
Grupo DG = 2,88%

Grupo DD = 0,00%

- fibrilação atrial aguda:

Grupo DG = 0,96%

Grupo DD = 0,00%



Legenda

- | | |
|----------------------------------|---|
| (1) - Ausência sintomas e sinais | (6) - Extra-sistóles |
| (2) - Dor precordial | (7) - Taquicardia sinusal |
| (3) - I.C.C. Biventricular | (8) - Fibrilação Atrial crônica |
| (4) - I.C.E. | DD - Indivíduos exclusivamente diabéticos |
| (5) - I.C.D. | DG - Diabéticos com patologias cardíacas associadas |

Figura 4:- Porcentagem de distribuição dos sinais e sintomas nos grupos DG e DD.

V.B.7) Expressão eletrocardiográfica

- traçados normais

Grupo DG = 4,80%

Grupo DD = 24,24%

- alterações secundárias de repolarização ventricular

Grupo DG = 40,38%

Grupo DD = 18,18%

- sobrecarga ventricular esquerda

Grupo DG = 31,73%

Grupo DD = 21,21%

- perda de potencial

Grupo DG = 15,38%

Grupo DD = 12,12%

- extra-sístoles supraventricular:

Grupo DG = 16,34%

Grupo DD = 3,03%

- distúrbios de condução do Feixe de Hiss:

Grupo DG = 14,42%

Grupo DD = 9,09%

- desnivelamento do segmento ST:

Grupo DG = 14,42%

Grupo DD = 6,06%

- extra-sístoles ventriculares

Grupo DG = 11,53%

Grupo DD = 6,06%

- taquicardia sinusal:

Grupo DG = 5,76%

Grupo DD = 9,09%

- fibrilação atrial crônica:

Grupo DG = 2,88%

Grupo DD = 0,00%

- fibrilação atrial aguda:

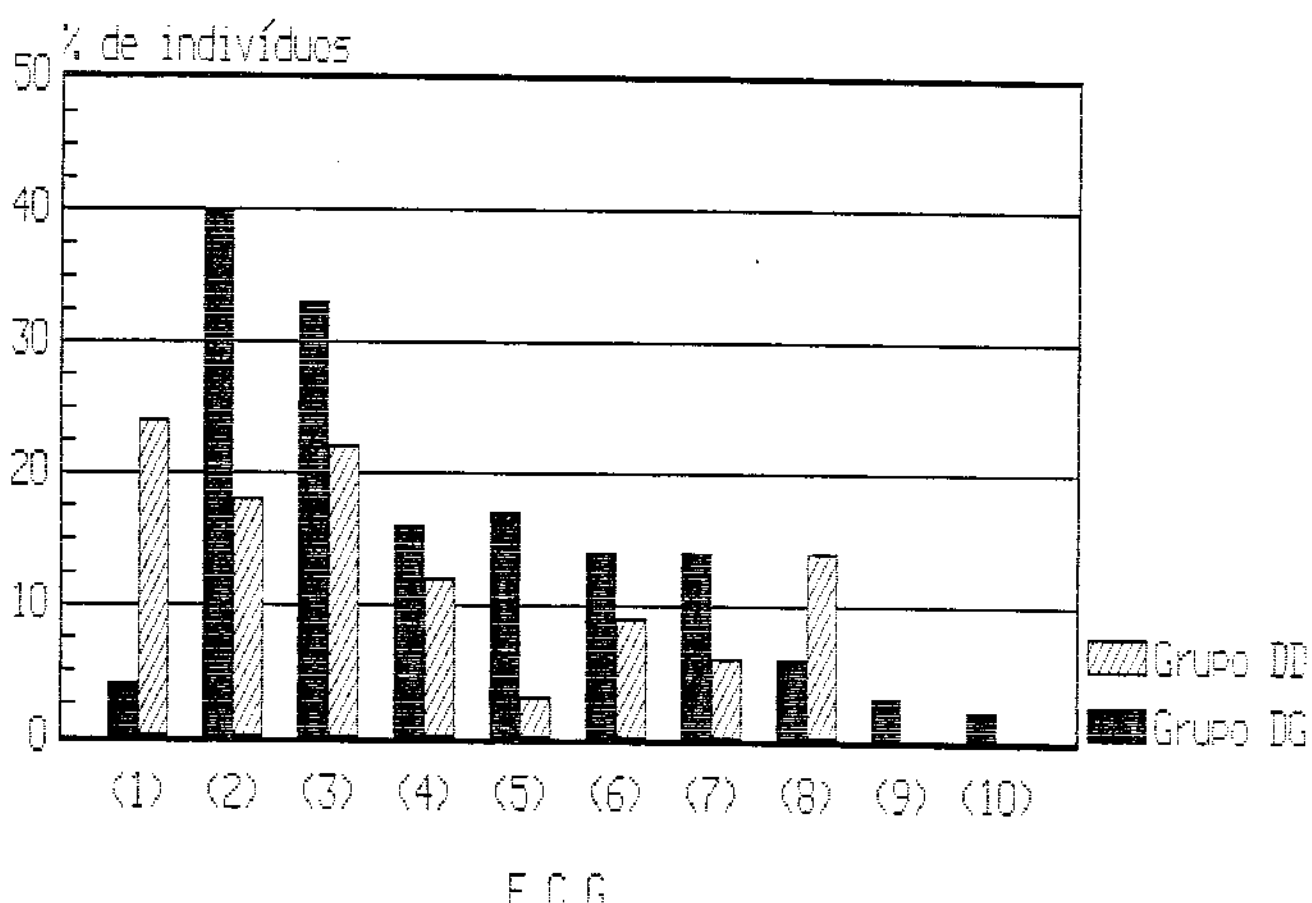
Grupo DG = 0,96%

Grupo DD = 0,00%

- não possuem ECG:

Grupo DG = 21,15%

Grupo DD = 18,18%



Legenda

- | | |
|--|-------------------------------------|
| (1) - E.C.G. normais | (6) - Distúrbio de condução |
| (2) - Alt. 2º repolarização ventricular | (7) - Extra-sístoles ventriculares |
| (3) - Sobrecarga de V.E. | (8) - Taquicardia sinusal |
| (4) - Perda de potencial | (9) - Fibrilação atrial crônica |
| (5) - Extra-sístoles supra-ventriculares | (10) - Fibrilação atrial aguda |

Figura 5:- Porcentagem de manifestações eletrocardiográficas nos Grupos DG e DD.

V.B.8) Expressão radiológica:

Os achados mais freqüentes foram:

- área cardíaca normal:

Grupo DG = 42,30%

Grupo DD = 51,51%

- aumento de V.E. + :

Grupo DG = 22,11%

Grupo DD = 15,15%

- aumento de V.E. ++ :

Grupo DG = 1,92%

Grupo DD = 6,06%

- aumento de V.D. ++ :

Grupo DG = 1,92%

Grupo DD = 0,00%

- aumento de VE e VD + :

Grupo DG = 0,96%

Grupo DD = 0,00%

- aumento de VE e VD ++ ou +++

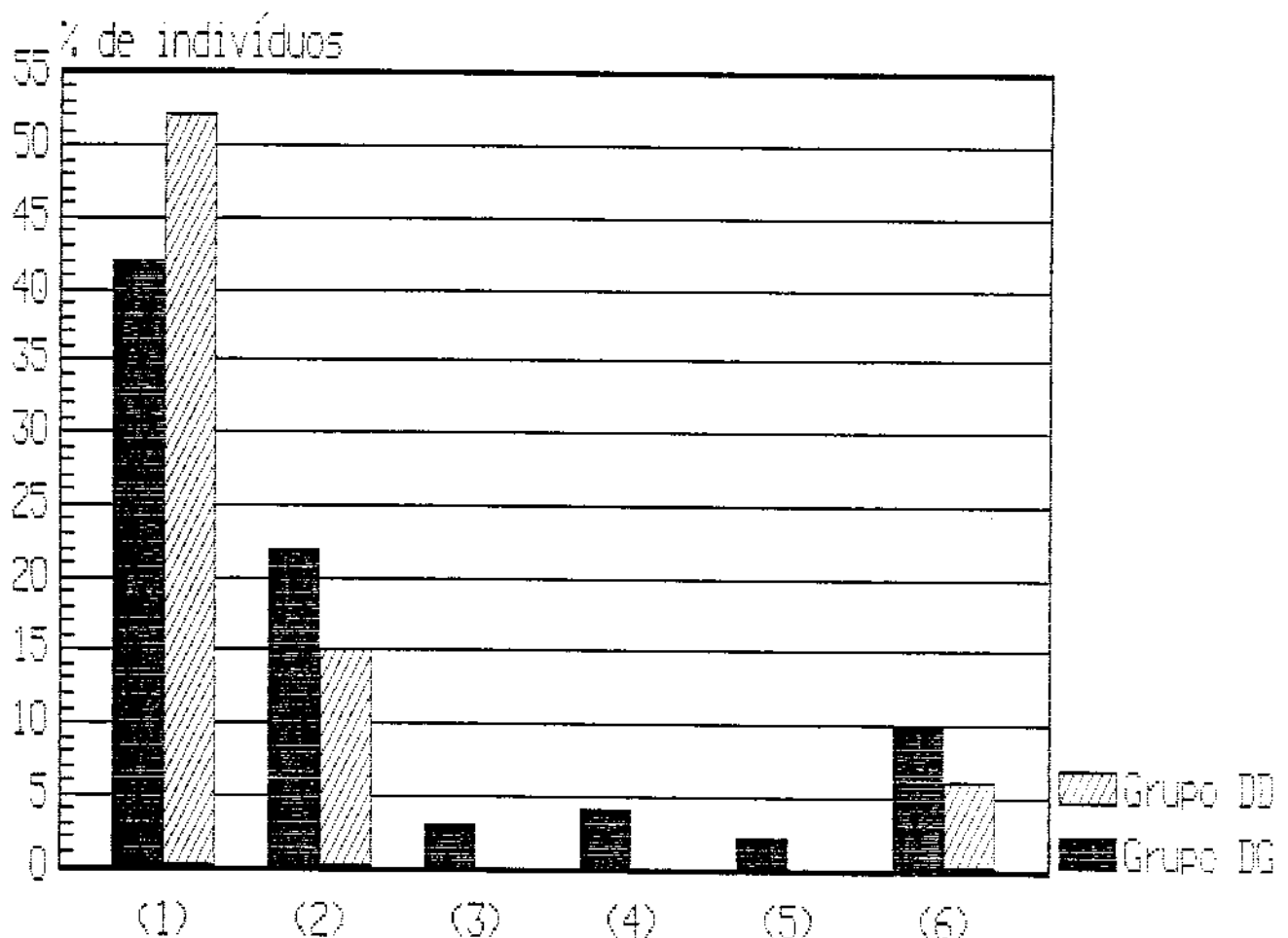
Grupo DG = 9,61%

Grupo DD = 6,06%

- não possuem estudo radiológico:

Grupo DG = 21,15%

Grupo DD = 18,18%



Legenda

- | | |
|---------------|--------------------|
| (1) - ↑ VE + | (4) - ↑ VD ++ |
| (2) - ↑ VE ++ | (5) - ↑ VE e VD + |
| (3) - ↑ VE ++ | (6) - ↑ VE e VD ++ |

Figura 6:- Porcentagem de alterações radiológicas nos grupos DG e DD.

V.B.9) Associação com Hipertensão Arterial Sistêmica:

- Hipertensão Arterial Sistêmica isolada :- 16,78%
- Hipertensão Arterial Sistêmica, associada à Coronariopatia obstrutiva:- 10,94%
- Hipertensão Arterial Sistêmica, associada às Cardiopatias de outra natureza :- 3,64%

Conclui-se que o total de indivíduos hipertensos do estudo resultou em 31,38% dos casos.

V. C) Resultados gerais do estudo anatomo-patológico quanto a distribuição de freqüências.

V.C.1) Peso do coração:

- normal:

Grupo DG = 39,42%

Grupo DD = 36,32%

- aumentado:

Grupo DG = 43,26%

Grupo DD = 15,15%

- diminuído:

Grupo DG = 17,30%

Grupo DD = 48,48%

V. C.2) Pervidade das artérias coronárias epicárdicas:-

Grupo DG:-

| | |
|---|-----------|
| coronárias epicárdicas pérviás, sem lipoidose:- | 12,50% |
| coronárias epicárdicas pérviás, com lipoidose:- | 27,88% |
| obstruções < 25 e < 0% | :- 0,00% |
| Obstruções < 50 e ≤ 25% | :- 12,50% |
| Obstruções ≤ 100 e ≤ 50% | :- 37,50% |

Grupo DD:-

coronárias epicárdicas pérviás, sem lipoidose:- 100,00%

V.C.3) Espessura da parede do miocárdio:-

- normal:

Grupo DG = 39,42%

Grupo DD = 69,69%

- hipertrofia:

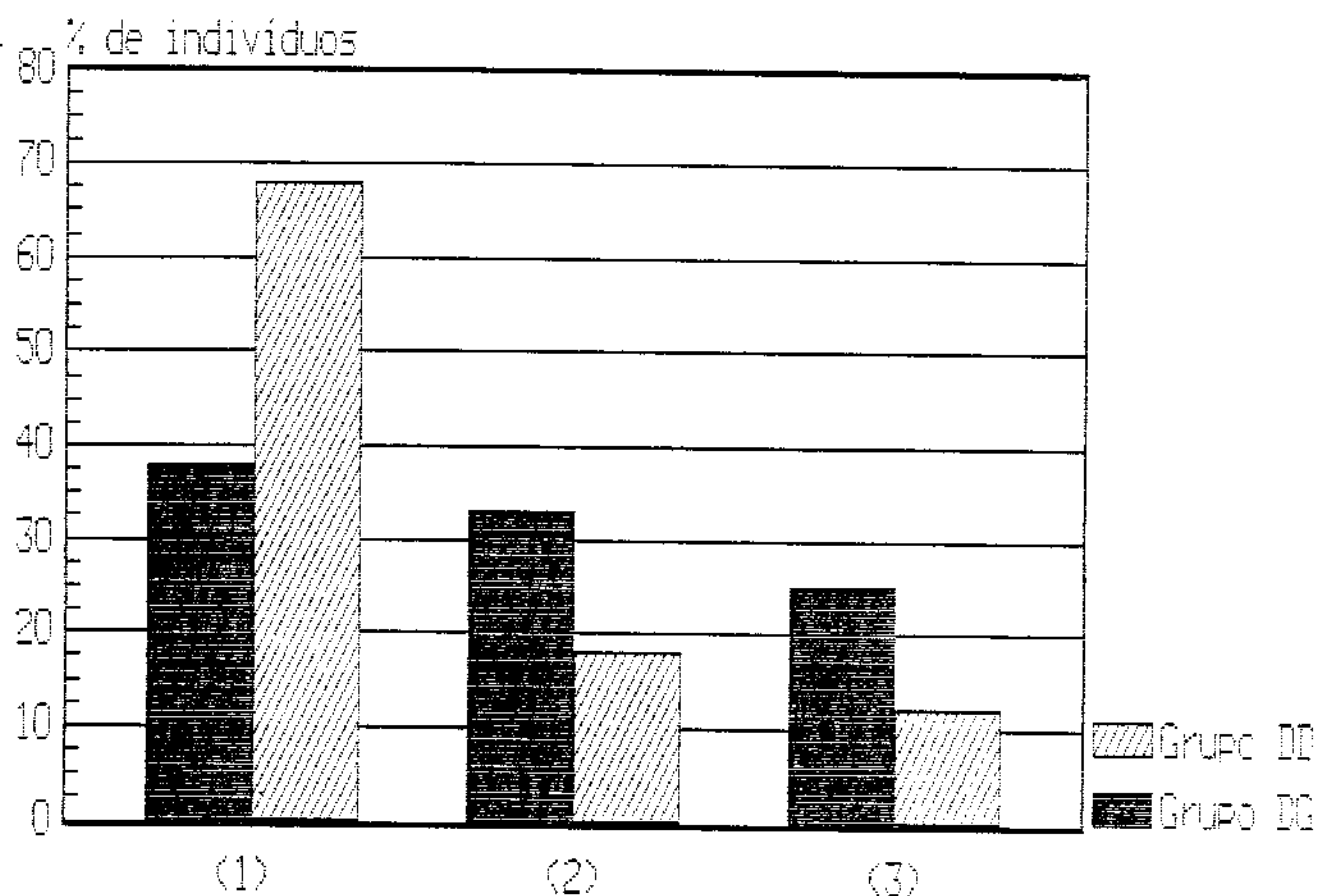
Grupo DG = 33,65%

Grupo DD = 18,18%

- dilatação:

Grupo DG = 26,92%

Grupo DD = 12,12%



Legenda

- (1) - normal
- (2) - hipertrofia
- (3) - dilatação

Figura 7:- Porcentagem de freqüências para a espessura da parede do miocárdio nos grupos DG e DD.

V.C.4) Estudo microscópico:-

- ausência de lesões anátomo-patológicas:

Grupo DG = 5,76%

Grupo DD = 30,30%

- hipertrofia muscular:

Grupo DG = 54,80%

Grupo DD = 33,33%

- fibrose intersticial:

Grupo DG = 48,07%

Grupo DD = 45,45%

- fibrose focal disseminada:

Grupo DG = 37,50%

Grupo DD = 18,18%

- fibrose extensa:

Grupo DG = 36,53%

Grupo DD = 9,09%

- arteriolopatia hialina da camada média:

Grupo DG = 16,34%

Grupo DD = 33,33%

- necrose focal disseminada:

Grupo DG = 16,34%

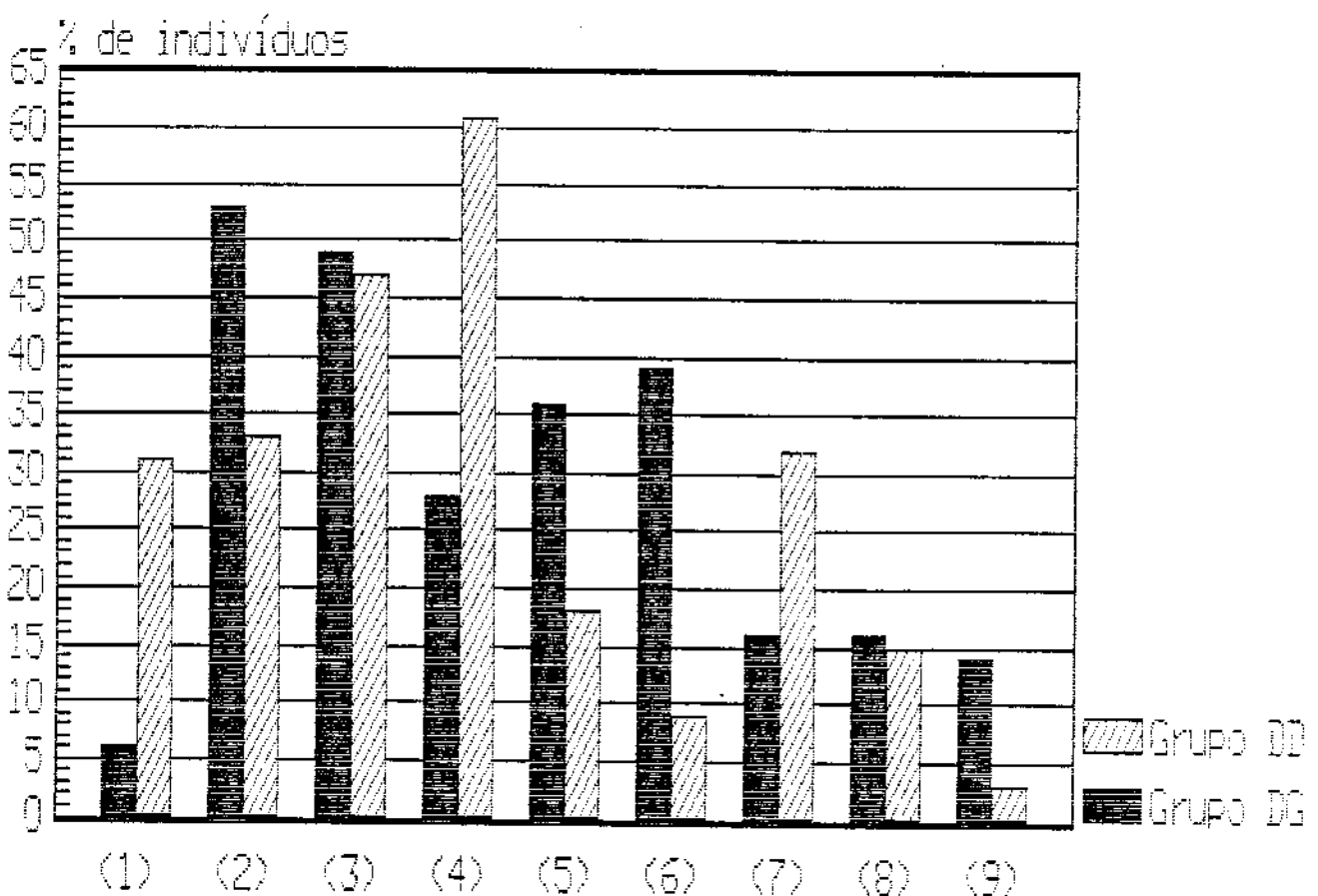
Grupo DD = 15,15%

- necrose extensa recente:

Grupo DG = 13,46%

Grupo DD = 3,03%

É importante observar que as lesões de natureza focal correspondem a 61,31% dos exames anatómo-patológicos averiguados



Legenda

- (1) - ausentes
- (2) - hipertrofia muscular
- (3) - fibrose intersticial
- (4) - fibrose peri-vascular
- (5) - fibrose focal disseminada
- (6) - fibrose extensa
- (7) - arteriolopatia hialina da média
- (8) - necrose focal disseminada
- (9) - necrose extensa recente

Figura 8:- Porcentagem de freqüências para as lesões anatómo-patológicas prevalentes nos Grupos DG e DD.

As lesões prevalentes observadas em nossa casuística estão exemplificadas abaixo:-

A - LESÕES DO INTERSTÍCIO:-

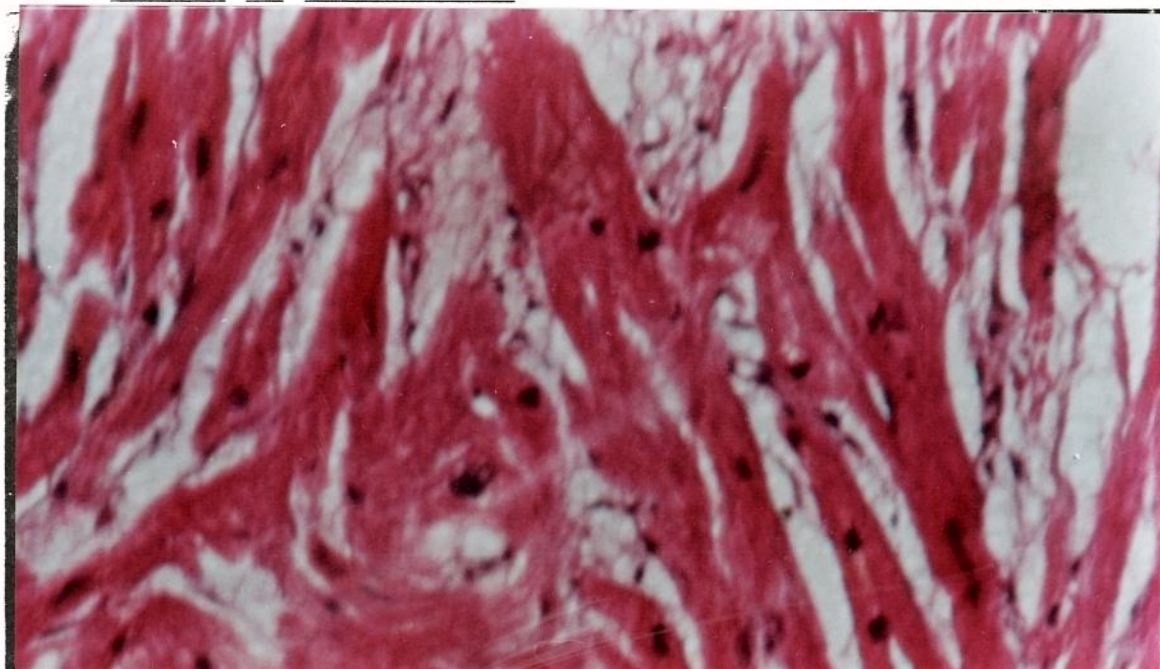


Figura 9:- Fibrose Intersticial com hipertrofia e degeneração de fibras musculares do coração. H.E., 128 x

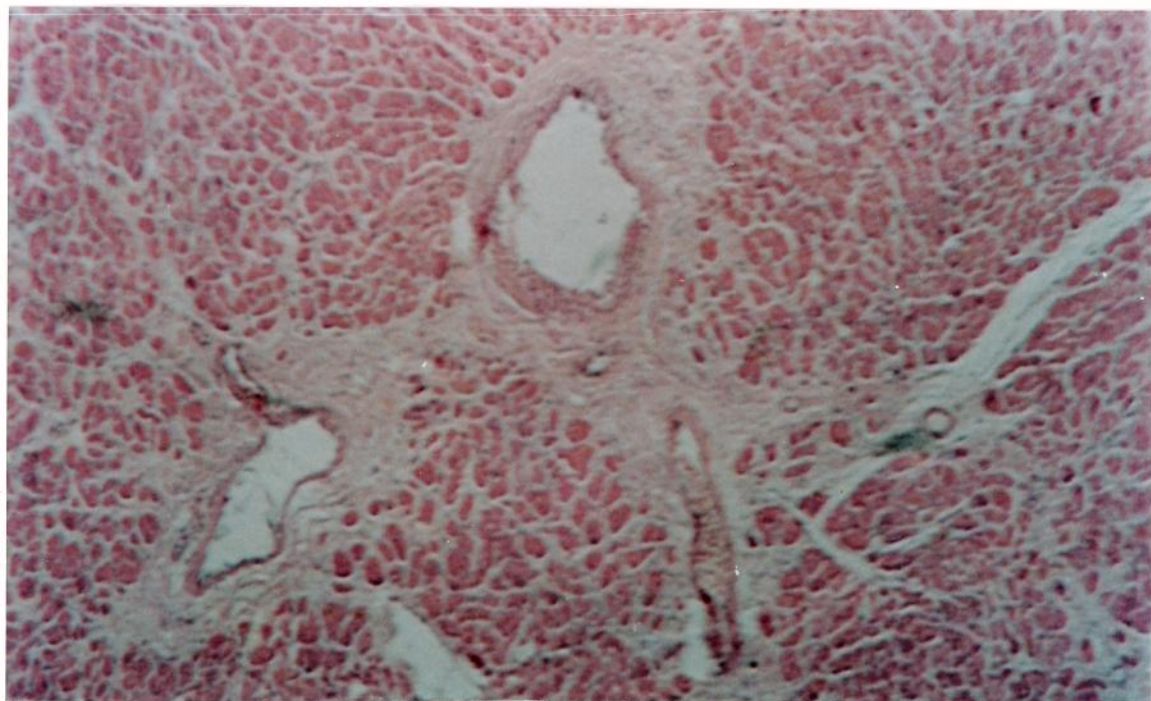


Figura 10:- Fibrose perivasicular. Depósitos hialinos irregulares na parede dos pequenos vasos intramiocárdicos com fibrose perivasicular em traves. H.E., 25.6 x

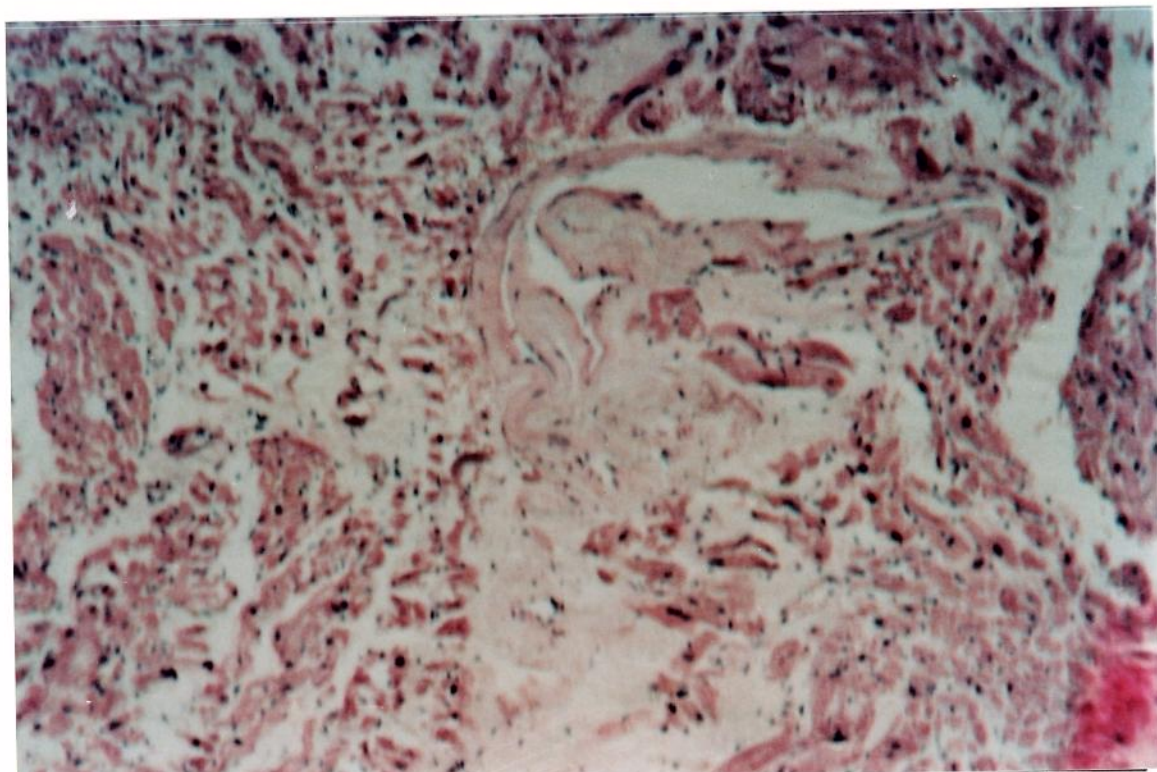


Figura 11:- Hialinose Intersticial com hipotrofia e atrofia da célula muscular do coração. H.E., 50.4 x

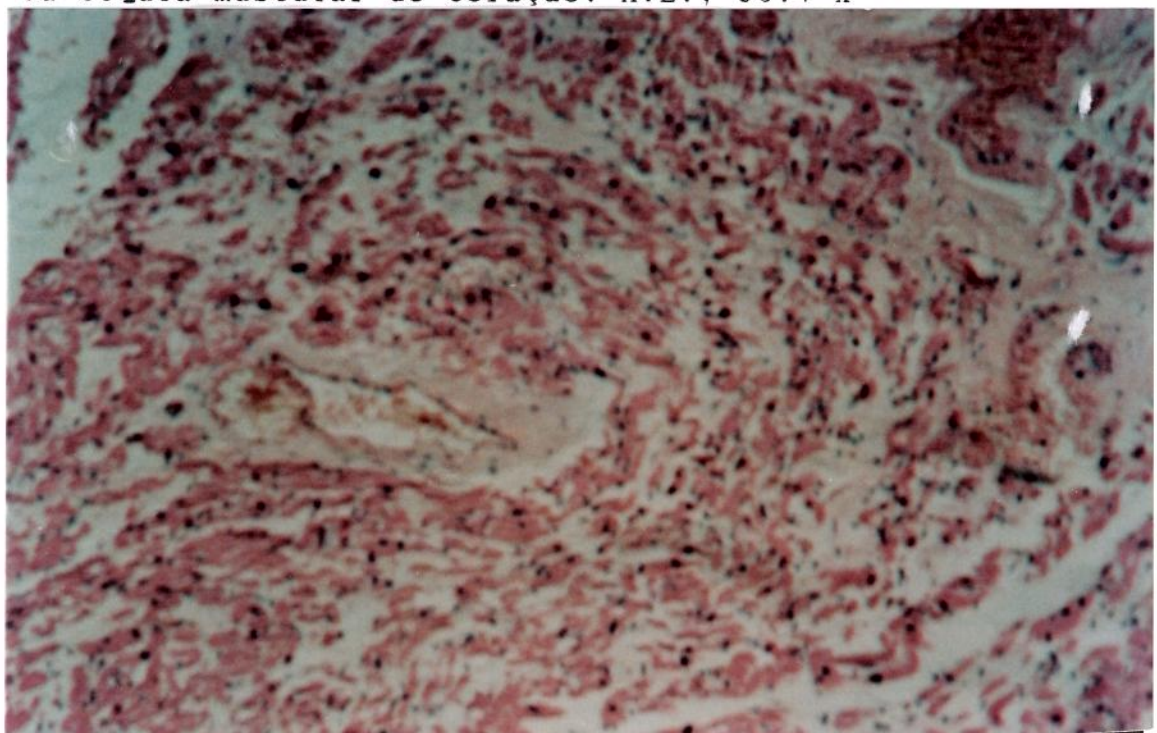


Figura 12:- Hialinose intersticial e perivacular no coração H.E., 50.4 x

B - LESÕES DA MIOCELULA

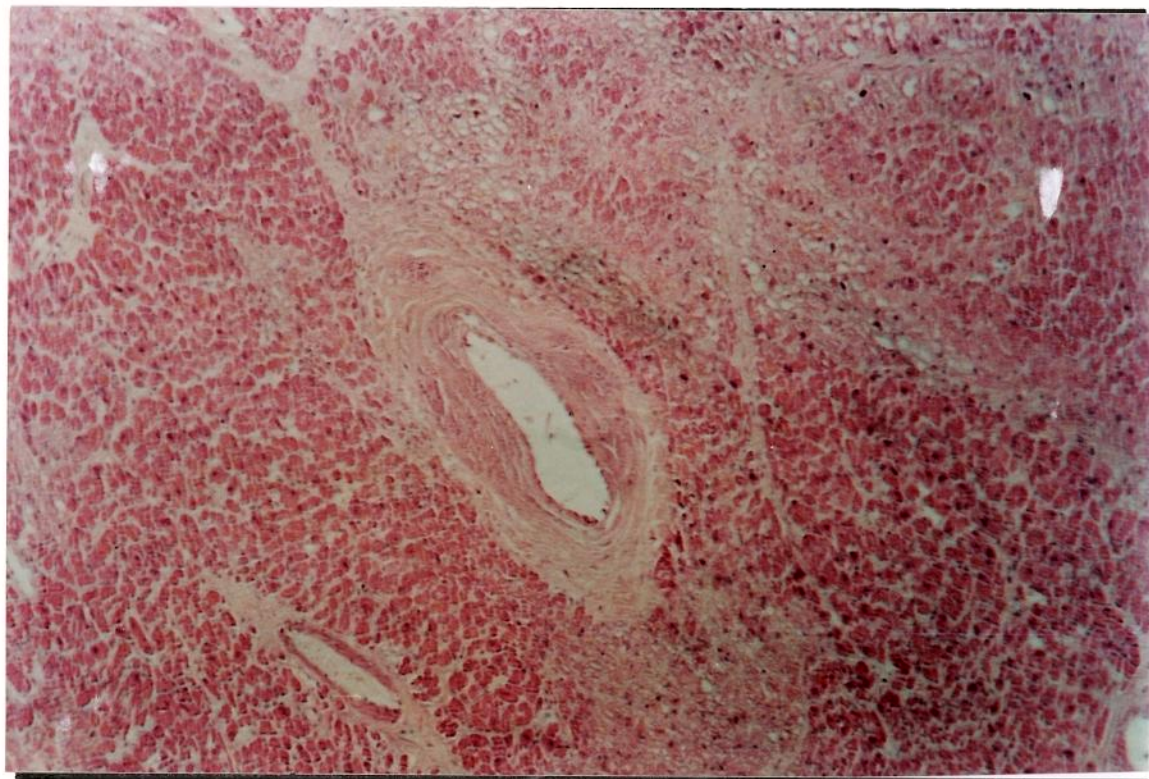


Figura 13:- Hialinose da camada média e fibrose perivascular, emitindo traves à partir da arteriola no centro do campo, com área de necrose e fibrose do músculo cardíaco. H.E., 25.6 x

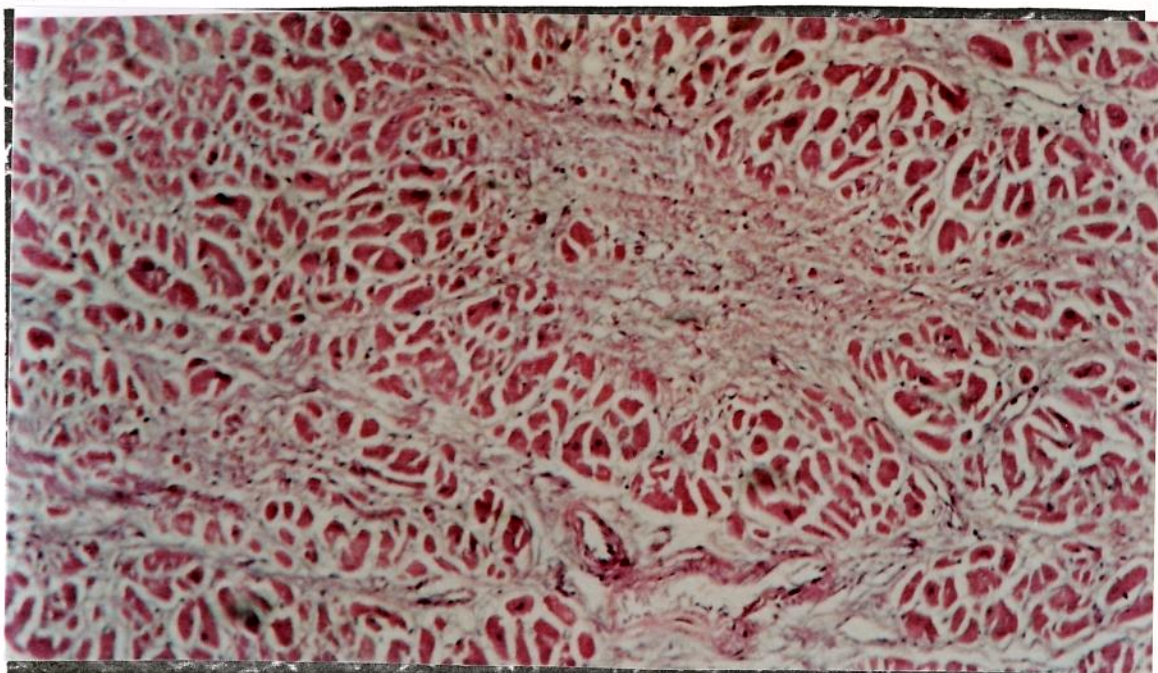


Figura 14:- Pequenas áreas de fibrose focal em meio a células musculares normais. H.E., 50.4 x

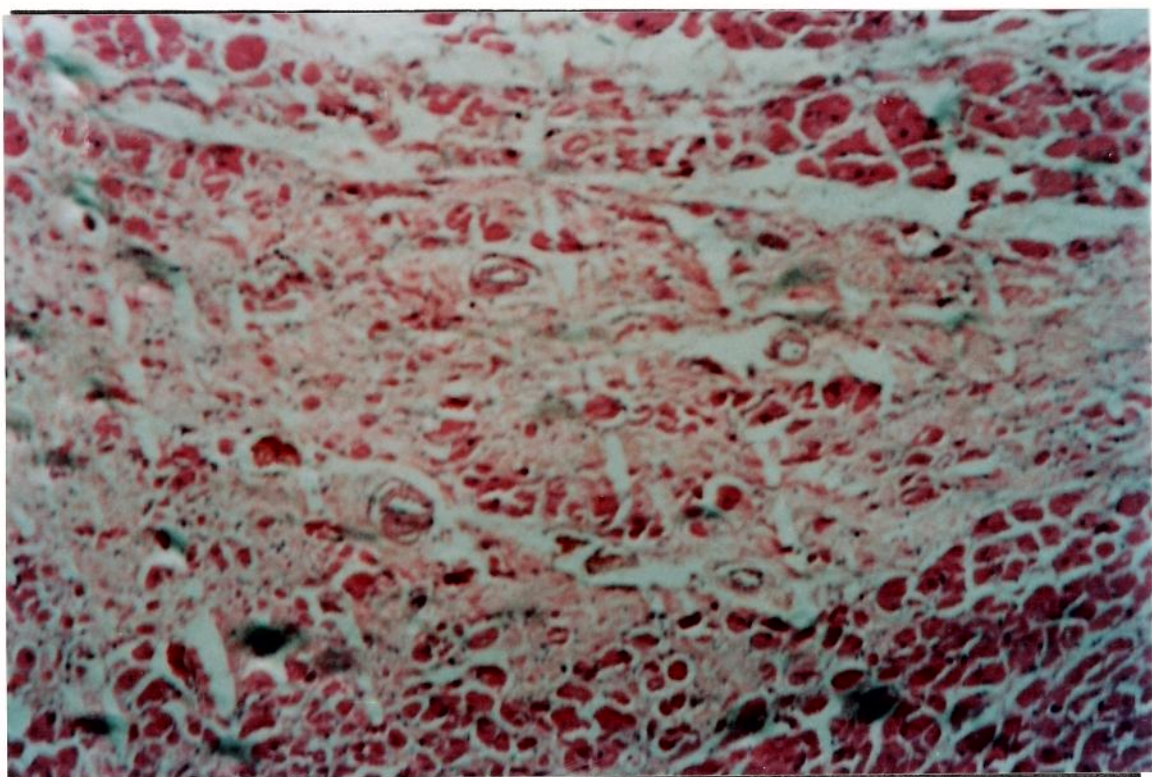


Figura 15:- Fibrose extensa, com coronárias epicárdicas périvas. H.E., 50.4 x

C - LESÕES DOS PEQUENOS VASOS INTRAMIOCÁRDICOS:-

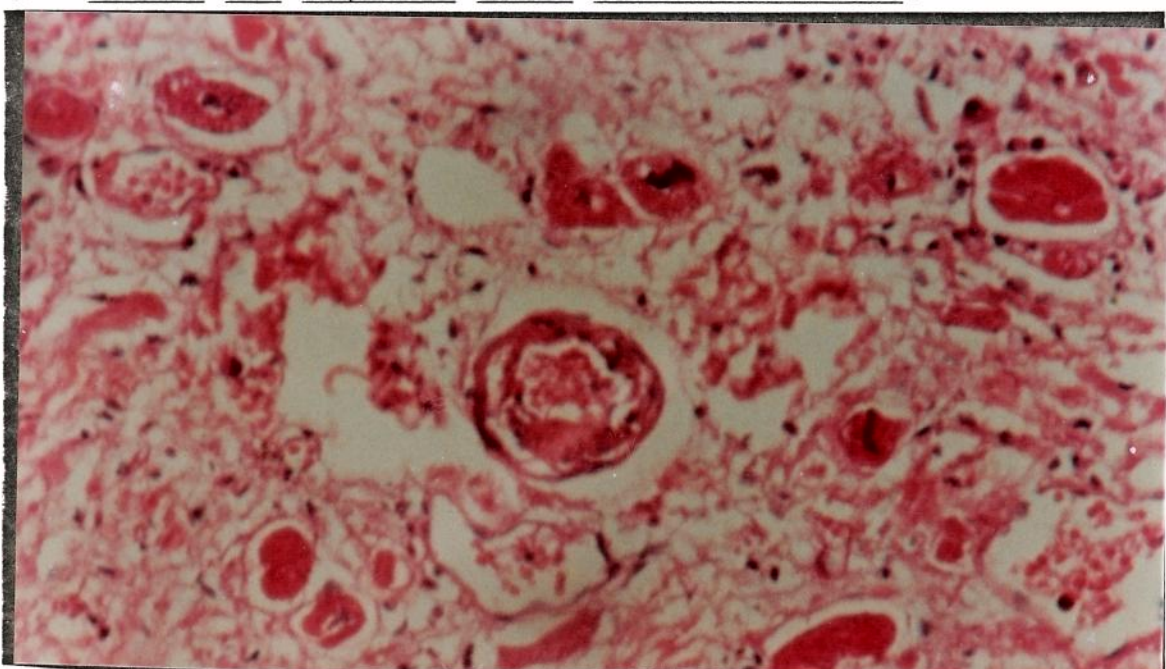


Figura 16:- Microangiopatia diabética, caracterizada por depósito irregular de material hialino na camada média da arteriola do coração. H.E., 128 x

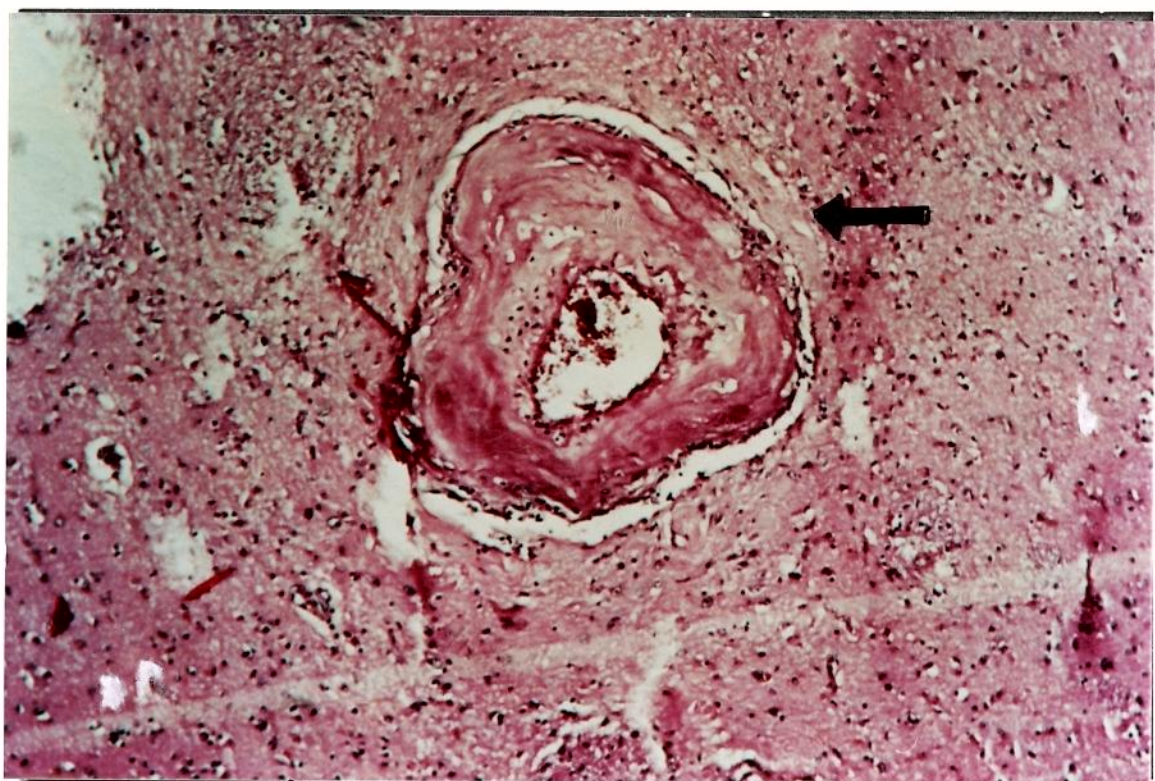


Figura 17:- Microangiopatia hialina da camada média de arteriola cerebral, com fibrose do tecido nervoso perivascular na região lateral-superior direita. H.E., 50.4 x

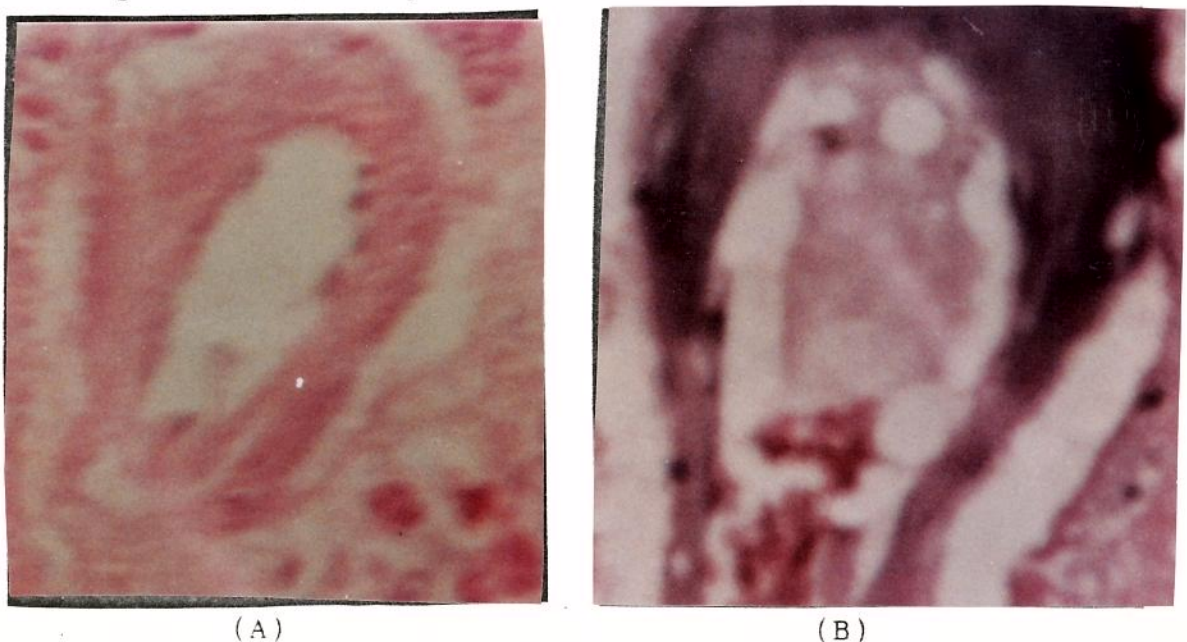


Figura 18:- O mesmo caso da figura anterior demonstrando em (A) a concomitância de microangiopatia hialina da camada média, no coração (H.E., 128 x). Em (B), a presença de um microaneurisma cerebral. P.A.S., 128 x

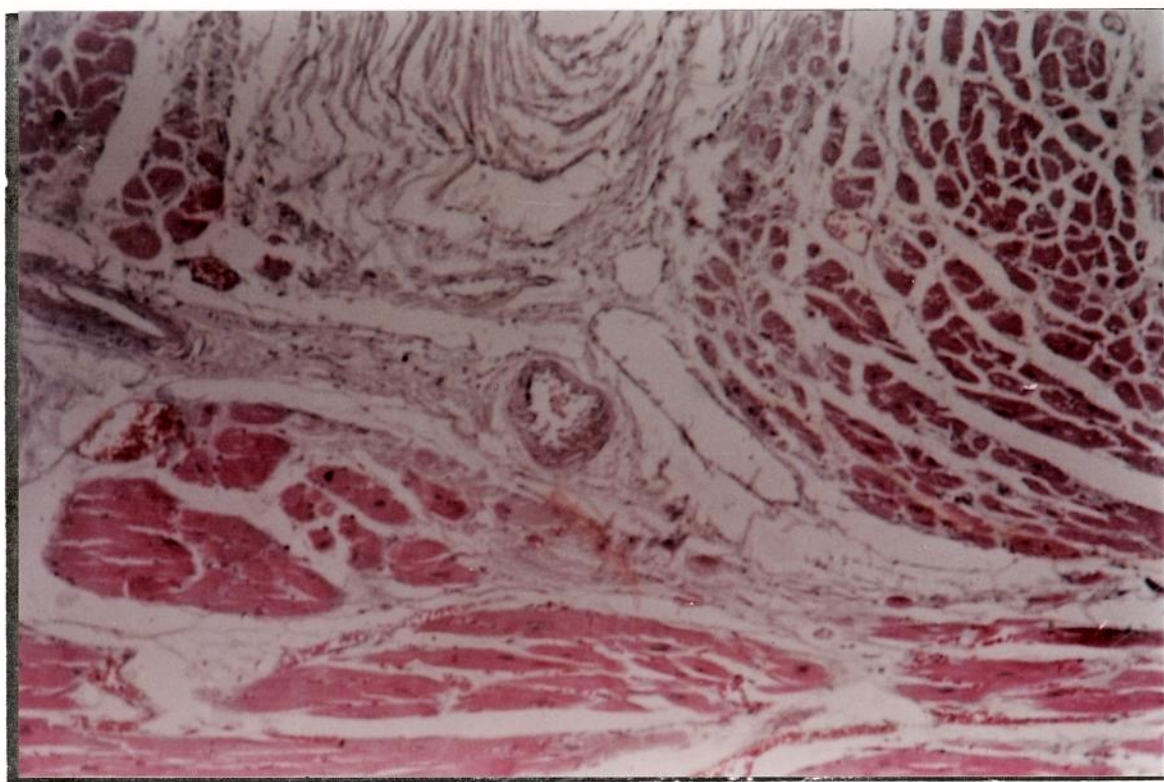


Figura 19 (A):- Depósito hialino irregular na camada média da arteriola do coração. H.E., 50.4 x

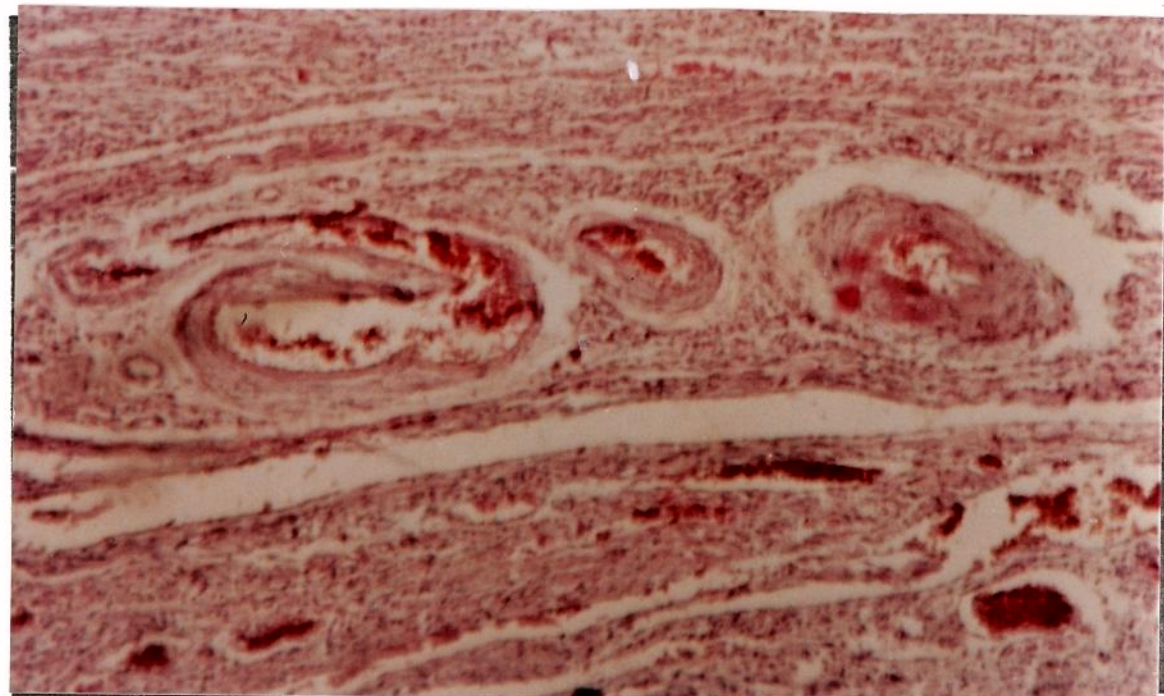


Figura 19 (B) - O mesmo caso da figura anterior, demonstrando a concomitância da microangiopatia hialina em vasos da pele. P.A.S., 50.4 x

V.C.5) Associação com nefropatia:-

nefropatia = 96.34%

rins normais = 3.64%

A nefropatia de Kimmenstiel - Wilson ocorreu em 7.29% dos diabéticos nefropatas.

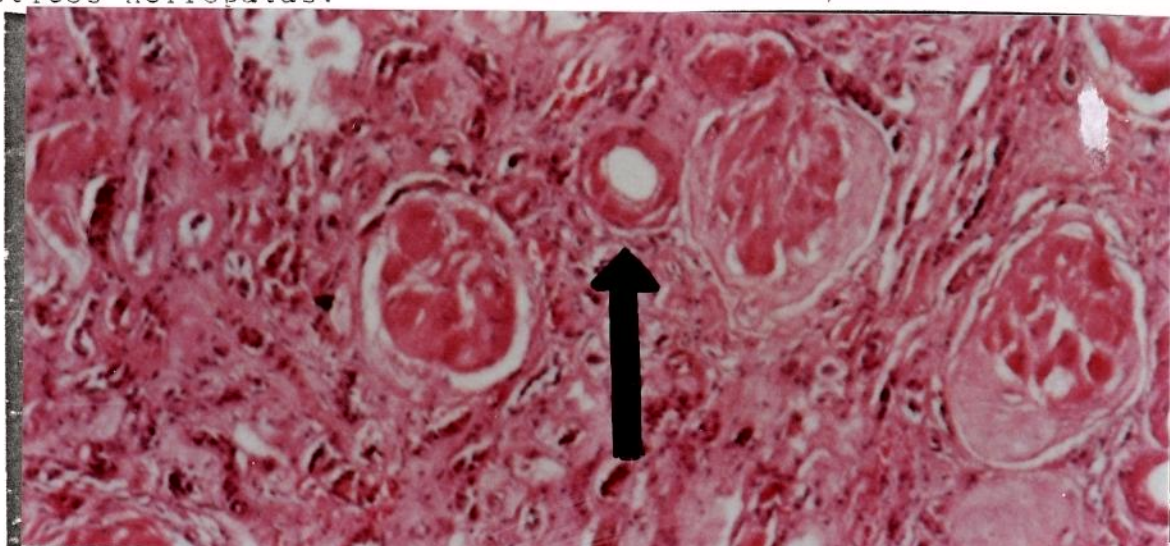


Figura 20:- Glomeruloesclerose nodular intercapilar (Kimmenstiel - Wilson). No meio do campo, pode ser observada arteriola com hialinose da camada media. H.E., 50.4 x

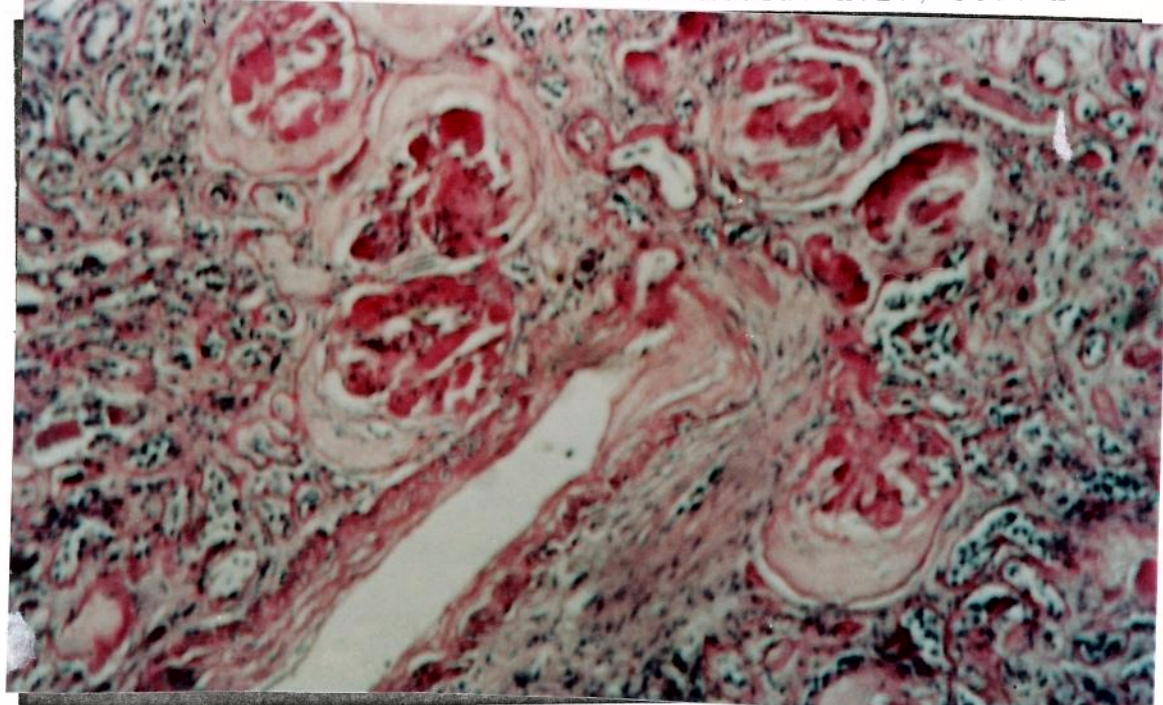


Figura 21:- Glomerulopatia de Kimmenstiel-Wilson com destaque para as lesões exudativas, coradas em vermelho. Tricrômico de Masson, 50.4 x

V.D) Incidência de Associação:-

Limitamo-nos à demonstração descritiva dos subgrupos inseridos nesta avaliação, uma vez que as freqüências observadas não permitirão conclusões estatísticas.

V.D.1) Freqüência de Associação da Arteriolopatia hialina da camada média em relação aos indivíduos:

V.D.1.A) Pertencentes aos grupos:-

- exclusivamente diabéticos (grupo DD): 33,33% ; $\eta = 33$
- diabéticos e exclusivamente hipertensos: 13,04% ; $\eta = 23$
- diabéticos portadores exclusivamente de coronariopatia obstrutiva $\geq 50\%$: 21,05%; $\eta = 38$

Ao avaliarmos o grupo de indivíduos diabéticos, portadores de arteriolopatia hialina da camada média ($\eta = 28$), obtivemos a seguinte freqüência relativamente à associação entre patologias:-

Diabetes Mellitus, exclusivamente = 39,29%

Diabetes Mellitus e hipertensão arterial = 10,71%

Diabetes Mellitus e Coronariopatia obstrutiva < 50% = 0,00%

Diabetes Mellitus e Coronariopatia obstrutiva $\geq 50\%$ = 28,51%

Diabetes Mellitus e Cardiopatia de outra natureza = 3,57%

A associação entre três patologias ocorreu na seguinte freqüência:-

- Diabetes, hipertensão e coronariopatia obstrutiva $\geq 50\%$ = 7,14%.

- Diabetes, hipertensão e cardiopatia de outra natureza = 3,57%.

- Diabetes, Coronariopatia obstrutiva < 50% e cardiopatia de outra natureza = 0%.

- Diabetes, Coronariopatia obstrutiva \geq 50% e cardiopatia de outra natureza = 3,57%.

V. D.1.B) Freqüência de associação entre as patologias prevalentes e o grau de controle glicêmico:-

- exclusivamente diabéticos:-

bom controle = 7,14%

mau controle = 32,14%

- diabéticos e hipertensos:-

bom controle = 7,14%

mau controle = 3,57%

- diabéticos e portadores de coronariopatia obstrutiva < 50%:-

mau controle = 0,00%

bom controle = 0,00%

- diabéticos e portadores de coronariopatia obstrutiva \geq 50% :-

mau controle = 10,71%

controle satisfatório = 3,57%

bom controle = 10,71%

- diabéticos, hipertensos e portadores de coronariopatia obstrutiva < 50%:-

mau controle = 0,00%

bom controle = 3,57%

- diabéticos, hipertensos, portadores de coronariopatia obstrutiva $\geq 50\% :$
 - bom controle = 3,57%
 - mau controle = 0,00%
- diabéticos com coronariopatia obstrutiva $< 50\%$ e outras cardiopatias :
 - bom controle = 0,00%
 - mau controle = 0,00%
- diabéticos com coronariopatia obstrutiva $\geq 50\%$ e outras cardiopatias :
 - bom controle = 3,57%
 - mau controle = 0,00%
- diabéticos portadores exclusivamente de cardiopatias de outra natureza :
 - bom controle = 3,57%
 - mau controle = 0,00%

V. D.2) Freqüência de Associação entre Arteriolopatia hialina da camada média, na ausência de coronariopatia obstrutiva $> 30\%$ e:-

V.D.2.A) "Angina pectoris", acompanhada ou não de manifestações eletrocardiográficas de isquemia:-

- sintoma de precordialgia = 10,71 %
- precordialgia acompanhada de desnivelamentos do segmento S-T ≥ 1 mm ao eletrocardiograma = 0,00%
- precordialgia e distúrbio secundário da repolarização ventricular na ausência de outras cardiopatias = 3,57%

Comparativamente, consideramos o grupo de indivíduos exclusivamente diabéticos, na presença ou ausência de arteriolopatia hialina da camada média, e obtivemos os seguintes resultados:-

- sintoma de precordialgia = 18,18%
- precordialgia e desnivelamento do segmento S-T ao eletrocardiograma = 0.

precordialgia e distúrbio secundário de repolarização ventricular = 6,06%

V.D.2.B) Freqüência de associação entre o grau de controle glicêmico nos indivíduos portadores de arteriolopatia hialina e:-

- Diabetes Mellitus, exclusivamente = 39,28%
 - mau controle = 28,57%
 - bom controle = 10,71%
- diabetes e coronariopatia obstrutiva inferior a 30%, exclusivamente = 0,00%

V.D.2.C) Freqüência de associação entre o tempo de evolução da doença para os diabéticos portadores de microangiopatia hialina e:-

- Diabetes Mellitus, exclusivamente:-
 - 0 —| 3 anos = 17,85%
 - 3 —| 6 anos = 10,71%
 - > 12 anos = 3,57%
 - sem previsão = 3,57% (Intolerância à glicose)
 - desconhecido = 3,57%

- Diabetes Mellitus e obstrução coronariana < 30% = 0%
- Diabetes Mellitus e obstrução coronariana < 30%, associados ou não à hipertensão arterial:-

| | | |
|--------------|---|-----------------|
| 0 | — | 3 anos = 0,00% |
| 3 | — | 6 anos = 7,14% |
| 6 | — | 9 anos = 3,57% |
| 9 | — | 12 anos = 3,57% |
| sem previsão | | = 3,57% |

- V.D.2.D) Freqüência de associação entre as lesões da miocélula e do interstício do miocárdio, no grupo de indivíduos portadores de arteriolopatia hialina da camada média e as lesões anatomo-patológicas prevalentes:-

| | |
|---------------------------|----------|
| normal | = 0,00% |
| hipertrofia das fibras | = 85,71% |
| fibrose intersticial | = 78,58% |
| fibrose perivasicular | = 75,00% |
| fibrose focal disseminada | = 57,14% |
| necrose focal disseminada | = 25,00% |
| fibrose extensa | = 17,85% |
| necrose extensa | = 10,71% |

Lesões da miocélula e do interstício, no grupo de indivíduos portadores de arteriolopatia hialina da camada média, na ausência de coronariopatia obstrutiva > 30%.

| | |
|------------------------|----------|
| normal | = 0,00% |
| hipertrofia das fibras | = 46,42% |
| fibrose intersticial | = 50,00% |

fibrose perivasicular = 50,00%
fibrose focal disseminada = 32,14%
fibrose extensa = 3,57%
necrose focal disseminada = 14,28%
necrose extensa = 3,57%

V.D.3) Freqüência de associação entre o grau de controle metabólico dos indivíduos portadores de arteriolopatia hialina da camada média e:-

V.D.3.A) Lesões intersticiais:-

- fibrose intersticial = 78,57%
 bom controle = 32,14%
 mau controle = 46,42%
- fibrose perivasicular = 75,00%
 bom controle = 28,57%
 mau controle = 46,42%

V.D.3.B) Lesões da Miocélula:-

- hipertrofia = 85,71%
 bom controle = 28,25%
 satisfatório = 7,14%
 mau controle = 50,00%
- necrose focal disseminada = 25.00%
 bom controle = 7,14%
 mau controle = 17,85%

- necrose extensa = 10,71%
 bom controle = 3,57%
 mau controle = 7,14%
 - fibrose focal disseminada = 57,11%
 bom controle = 21,42%
 mau controle = 32,14%
 satisfatório = 3,57%
 - fibrose extensa = 17,85%
 bom controle = 7,14%
 mau controle = 10,71%

V.D.3.C) Lesões da microcirculação:-

Arteriolopatia hialina da camada média = 100%

| | |
|--------------|----------|
| bom controle | = 35,71% |
| mau controle | = 57,14% |
| satisfatório | = 7,14% |

V.D.3.D) Lesões das coronárias epicárdicas:-

| | |
|----------------------|----------|
| - 0 — 30% = 57,14% | |
| bom controle | = 25,00% |
| mau controle | = 32,14% |
| - 30 — 60% = 14,28% | |
| bom controle | = 14,28% |
| mau controle | = 0,00% |
| - 50 — 70% = 7,14% | |
| bom controle | = 0,00% |
| mau controle | = 7,14% |

- 70 —| 100% = 21,42%

bom controle = 14,28%

mau controle = 7,14%

controle satisfatório = 7,14%

V.D.4) Freqüência de associação entre o grau de controle metabólico dos indivíduos exclusivamente diabéticos e:-

V.D.4.A) Lesões intersticiais:-

- fibrose intersticial = 51,51%

bom controle = 18,18%

mau controle = 33,33%

- fibrose perivasicular = 63,63%

bom controle = 24,24%

mau controle = 36,36%

controle satisfatório = 3,03%

V.D.4.B) Lesões da miocélula:-

- hipertrofia = 36,36%

bom controle = 6,06%

mau controle = 27,27%

satisfatório = 3,03%

- necrose focal disseminada = 12,12%

bom controle = 0,00%

mau controle = 12,12%

- necrose extensa = 3,03%

bom controle = 0,00%

mau controle = 3,03%

- fibrose focal disseminada = 24,24%

bom controle = 9,09%

mau controle = 12,12%

controle satisfatório = 3,03%

- fibrose extensa = 9,09%

bom controle = 6,06%

mau controle = 3,03%

V.D.4.C) Lesões da microcirculação:-

- arteriolopatia hialina da camada média = 33,33%

bom controle = 6,06%

mau controle = 27,27%

V.D.5) Associação entre lesões obstrutivas das coronárias epicárdicas $\geq 50\%$ e o grau de controle metabólico:-

bom controle = 34,61%

controle satisfatório = 13,46%

mau controle = 46,15%

desconhecido = 5,76%

V.E) A Análise estatística:- O estudo de correlação

A análise estatística foi realizada, através do estudo das correlações das variáveis observadas.

Utilizamos para esta análise o teste do "Qui quadrado de Pearson".

As tabelas, em suas frequências originais, são apresentadas na seção X (Apêndice).

Neste tópico, para que obtivéssemos significância estatística, agrupamos os valores observados em classes de maior abrangência, respeitadas as semelhanças entre os subgrupos, obtendo desta maneira frequências observadas superiores a cinco. Desta forma, o teste de significância pode ser empregado com exatidão.

V.E.1.) Sintomas e Sinais

| SINTOMAS OU SINAIS | GRUPO DG | GRUPO DD | TOTAL |
|--------------------|----------|----------|-------|
| ausentes | 36 | 26 | 62 |
| dor precordial | 25 | 06 | 31 |
| ins.cardíaca | 27 | 05 | 32 |
| taquicardia sin. | 08 | 05 | 13 |
| outras arritmias | 20 | 05 | 25 |
| Total | 116 | 47 | 163 |

Tabela 6:- Sintomas ou sinais clínicos observados nos grupos DG e DD.

O teste de significância demonstrou que os sintomas ou sinais observados estão correlacionados aos dois grupos de diabéticos (DG e DD) a um nível de significância de $\alpha = 0,05$ visto que

$\chi^2(4) = 10,80$; $p = 0,0288$. Sua frequência é maior no grupo DG, mas não constitui um evento aleatório sua ocorrência no Diabetes Mellitus puro.

Embora o conjunto de sintomas (ou sinais) possuíssem significância estatística na Síndrome Diabética, realizamos o estudo de cada manifestação em separado, em confronto com sua ausência, obtendo desta forma o significado estatístico individual de cada evento.

V.E.1 A) Precordialgia:-

| SINTOMAS OU SINAIS | GRUPO DG | GRUPO DD | TOTAL |
|--------------------|----------|----------|-------|
| ausentes | 36 | 24 | 63 |
| presentes | 25 | 06 | 31 |
| Total | 61 | 33 | 94 |

Tabela 6A:- Presença e ausência de precordialgia nos grupos DG e DD.

A presença de precordialgia é estatisticamente significante no Diabetes Mellitus, embora sua frequência, obviamente, seja maior nos diabéticos que possuam associação de patologias. Obtivemos um $\chi^2(2) = 4,67$; $p = 0,0307$ para $\alpha = 0,05$.

V.E.1.B) Insuficiência Cardíaca (esquerda, direita ou biventricular) :-

| SINTOMAS OU SINAIS | GRUPO DG | GRUPO DD | TOTAL |
|--------------------|----------|----------|-------|
| ausentes | 36 | 26 | 62 |
| presentes | 27 | 05 | 32 |
| Total | 63 | 31 | 94 |

Tabela 6.B) Presença ou ausência de Insuficiência Cardíaca nos grupos DG e DD.

A Insuficiência Cardíaca constitui um conjunto de sinais ou sintomas presentes na Síndrome Diabética e mais frequente quando em associação com outra patologia que possua a repercussão cardíaca, embora sua ocorrência possa ser registrada nos portadores de Diabetes Mellitus, isoladamente.

Obtivemos um $\chi^2_{(1)} = 6,61$; $p = 0,0101$ para $\alpha = 0,05\%$

V.E.1.C) Taquicardia sinusal :-

| SINTOMAS OU SINAIS | GRUPO DG | GRUPO DD | TOTAL |
|--------------------|----------|----------|-------|
| ausentes | 36 | 26 | 62 |
| presentes | 08 | 05 | 13 |
| Total | 44 | 31 | 75 |

Tabela 6 C) Presença ou ausência de taquicardia sinusal nos grupos DG e DD.

A taquicardia sinusal não constitui uma manifestação clínica estatisticamente significante nos grupos de indivíduos diabéticos.

Sua ocorrência foi aleatória, com um $\chi^2_{(1)} = 0,05$, $p = 0,8171$ para $\alpha = 0,05$.

V.E.1.D) Outras arritmias cardíacas:-

| SINTOMAS OU SINAIS | GRUPO DG | GRUPO DD | TOTAL |
|--------------------|----------|----------|-------|
| ausentes | 36 | 26 | 62 |
| presentes | 20 | 05 | 25 |
| Total | 56 | 31 | 87 |

Tabela 6D) Presença ou ausência de arritmias cardíacas nos grupos DG e DD

As variáveis não estão correlacionadas aos grupos de indivíduos diabéticos a um nível de significância de $\alpha = 0,05\%$ onde $\chi^2_{(1)} = 3,74\%$; $p = 0,0532$

V.E.2) Expressão eletrocardiográfica:-

| E.C.G. | DG | DD | TOTAL |
|--|-----|----|-------|
| normal | 5 | 8 | 13 |
| desnívelamento de ST e/ou alteração da repolarização ventricular | 57 | 8 | 65 |
| sobrecarga ventricular E. | 33 | 7 | 40 |
| arritmia | 39 | 6 | 45 |
| Total | 134 | 29 | 163 |

Tabela 7) Expressões eletrocardiográficas nos grupos DG e DD

O conjunto de alterações eletrocardiográficas observadas estão correlacionadas aos dois grupos de indivíduos diabéticos a um nível de significância de $\alpha = 0,05$. Obtivemos um $\chi^2_{(3)}$ calculado de 18,96; $p = 0,00027$.

Procedendo-se à análise das variáveis em separado, observamos que todas elas estão correlacionadas aos dois grupos estudados a um nível de significância de $\alpha = 0,05$.

V.E.2.A) Desnívelamento do segmento ST ou alterações difusas da repolarização ventricular, ou ambas:

| ECG | GRUPO DG | GRUPO DD | TOTAL |
|-----------|----------|----------|-------|
| presentes | 05 | 08 | 13 |
| ausentes | 57 | 08 | 65 |
| total | 62 | 16 | 78 |

Tabela 7A) Presença ou ausência de desnívelamento do segmento ST e/ou alterações difusas da repolarização ventricular nos grupos DG e DD.

$$\chi^2_{(1)} = 16.10 ; p = 0.0006$$

V.E.2.B) Sobrecarga ventricular esquerda:

| ECG | GRUPO DG | GRUPO DD | TOTAL |
|-----------|----------|----------|-------|
| presentes | 05 | 08 | 13 |
| ausentes | 33 | 07 | 40 |
| total | 38 | 15 | 53 |

Tabela 7B) Presença ou ausência de sobrecarga ventricular esquerda grupos DG e DD.

$$\chi^2_{(1)} = 9.38 ; p = 0.0021$$

V.E.2.C) Arritmia cardíaca

| ECG | GRUPO DG | GRUPO DD | TOTAL |
|-----------|----------|----------|-------|
| presentes | 05 | 08 | 13 |
| ausentes | 39 | 06 | 48 |
| total | 44 | 14 | 58 |

Tabela 7C) Presença ou ausência de arritmia cardíaca nos grupos DG e DD.

$$\chi^2_{(1)} = 12.80 ; p = 0.0003$$

V.E.3.) O estudo radiológico

A análise estatística dos estudos radiológicos possibilitou apenas o confronto entre estudos normais o aumento de ventrículos (direito, esquerdo ou ambos).

| Rx | GRUPO DG | GRUPO DD | TOTAL |
|--------------|----------|----------|-------|
| normal | 44 | 16 | 61 |
| ↑ventrículos | 38 | 09 | 47 |
| total | 82 | 26 | 108 |

Tabela 8) Presença ou ausência de aumentos uni ou biventriculares ao Raio X

$$\text{Obtivemos um } \chi^2_{(1)} = 1.10 ; p = 0.2933$$

Conclui-se que o aumento dos ventrículos não está correlacionado aos grupos de indivíduos diabéticos estudados. Em nossa casuística sua ocorrência foi aleatória a um nível de significância de $\alpha = 0.05$.

V.E.4) O peso do coração

| PESO DO CORAÇÃO | GRUPO DG | GRUPO DD | TOTAL |
|-----------------|----------|----------|-------|
| normal | 41 | 12 | 53 |
| aumentado | 43 | 05 | 48 |
| diminuido | 21 | 15 | 36 |
| total | 105 | 32 | 137 |

Tabela 9A) Peso do coração nos grupos DG e DD.

$$\chi^2_{(2)} = 11.25 ; p = 0.0036 \text{ para } \alpha = 0.05$$

| PESO DO CORAÇÃO | GRUPO DG | GRUPO DD | TOTAL |
|-----------------|----------|----------|-------|
| aumentado | 43 | 05 | 48 |
| diminuido | 21 | 15 | 36 |
| total | 64 | 20 | 84 |

Tabela 9B) Peso do coração nos grupos DG e DD, excluindo-se os normais.

$$\chi^2_{(1)} = 11.07 ; p = 0.0008 \text{ para } \alpha = 0.05$$

Para ambos os testes, o peso do coração está correlacionado ao Diabetes Mellitus nos grupos DG e DD, com predomínio do grupo DG, onde existem as associações entre patologias.

V.E.4.A) Peso do coração no grupo controle:

Para a análise estatística do peso do coração, em indivíduos diabéticos, estudamos o peso do órgão na população controle, cujas características foram descritas na Capítulo IV - Material e Métodos.

Para a análise estatística desta população, foi aplicado o "teste t" de Student.

Obtivemos os seguintes resultados:-

número de observações:-

grupo diabético = 137

grupo controle = 40

total = 177

média do peso do coração:-

grupo diabético = 328.029

grupo controle = 259.450

total = 312.531

variança:-

grupo diabético = 1 718.50

grupo controle = 2 508.51

total = 966.60

desvio-padrão:-

grupo diabético = 108.2520

grupo controle = 50.0850

total = 98.3158

mediana:-

grupo diabético = 300

grupo controle = 250

total = 280

O teste "t Student" para $\alpha = 0.05$; GL = 175 ; t = 3.88126;
 $p = 0.00007$

Conclui-se que o peso do coração dos indivíduos diabéticos é estatisticamente maior que o de indivíduos normais, a um nível de significância de $\alpha = 0.05$.

V.E.5.) Alterações anátomo-patológicas:-

| ALTERAÇÕES ANÁTOMO-PATOLOGICAS | GRUPO DG | GRUPO DD | TOTAL |
|----------------------------------|------------|-----------|------------|
| ausentes | 06 | 10 | 16 |
| hipertrofia | 57 | 11 | 68 |
| fibrose intersticial | 50 | 15 | 65 |
| aumento do conetivo perivascular | 31 | 20 | 51 |
| fibrose focal disseminada | 39 | 06 | 45 |
| arteriolopatia hialina | 17 | 11 | 28 |
| necrose focal disseminada | 17 | 05 | 22 |
| total | 217 | 78 | 295 |

Tabela 10) Alterações anátomo-patológicas observadas nos grupos DG e DD.

Para o conjunto de alterações anátomo-patológicas detectadas, encontramos uma correlação positiva entre os dois grupos de indivíduos diabéticos, a um nível de significância $\alpha = 0.05$. O $\chi^2_{(6)}$ calculado foi de 25.5486; $p = 0.00032$.

A análise das variáveis em separado resultou em.

V.E.5.A) Hipertrofia muscular:-

| ALTERAÇÕES ANÁTOMO-PATOLOGICAS | GRUPO DG | GRUPO DD | TOTAL |
|--------------------------------|-----------|-----------|-----------|
| ausentes | 06 | 10 | 16 |
| presentes | 57 | 11 | 68 |
| total | 63 | 21 | 84 |

Tabela 10A) Presença ou ausência de Hipertrofia muscular nos grupos DG e DD.

A hipertrofia muscular está correlacionada ao Diabetes Mellitus, considerados os dois grupos do estudo, sendo mais frequente no grupo DG. Foi obtido um $\chi^2_{(1)}$ calculado de 14.82 ; $p = 0.0001181$ para $\alpha = 0.05$.

V.E.5.B) Fibrose intersticial:-

| ALTERAÇÕES ANÁTOMO-PATOLOGICAS | GRUPO DG | GRUPO DD | TOTAL |
|--------------------------------|----------|----------|-------|
| ausentes | 06 | 10 | 16 |
| presentes | 50 | 15 | 65 |
| total | 56 | 25 | 81 |

Tabela 10B) Presença ou ausência de Fibrose intersticial nos grupos DG e DD.

A fibrose intersticial correlaciona-se aos dois grupos de indivíduos diabéticos a um nível de significância de $\alpha = 0.05$, tendo sido obtido $\chi^2_{(1)} = 9.35$; $p = 0.0022278$

V.E.5.C) Fibrose focal disseminada:-

| ALTERAÇÕES ANÁTOMO-PATOLOGICAS | GRUPO DG | GRUPO DD | TOTAL |
|--------------------------------|----------|----------|-------|
| ausentes | 06 | 10 | 16 |
| presentes | 39 | 06 | 45 |
| total | 45 | 16 | 61 |

Tabela 10C) Presença ou ausência de Fibrose focal disseminada nos grupos DG e DD.

As variáveis são correlacionadas a um nível de significância de $\alpha = 0.005$. Obtivemos $\chi^2_{(1)} = 14,75$; $p = 0.0001230$

V.E.5.D) Aumento do tecido conetivo perivascular:-

| ALTERAÇÕES ANATOMO-PATOLOGICAS | GRUPO DG | GRUPO DD | TOTAL |
|--------------------------------|----------|----------|-------|
| ausentes | 06 | 10 | 16 |
| presentes | 31 | 20 | 51 |
| total | 37 | 30 | 67 |

Tabela 10D) Presença ou ausência de aumento do tecido conetivo perivascular nos grupos DG e DD.

O valor do $\chi^2_{(1)}$ calculado foi 2.67; $p = 0.1022$. Para $\alpha = 0.05$. O aumento do tecido conetivo perivascular não está correlacionado aos grupos diabéticos estudados.

V.E.5.C) Arteriolopatia hialina da camada média:-

| ALTERAÇÕES ANATOMO-PATOLOGICAS | GRUPO DG | GRUPO DD | TOTAL |
|--------------------------------|----------|----------|-------|
| ausentes | 06 | 10 | 16 |
| presentes | 17 | 11 | 28 |
| total | 23 | 21 | 44 |

Tabela 10E) Presença ou ausência de Arteriolopatia hialina da camada média dos pequenos vasos intramiocácos.

O valor do $\chi^2_{(1)}$ calculado foi 2.2; $p = 0.014$.

As duas variáveis não estão correlacionadas a um nível de significância de $\alpha = 0.05$.

V.E.5.F) Necrose focal disseminada:-

| ALTERAÇÕES ANATOMO-PATOLOGICAS | GRUPO DG | GRUPO DD | TOTAL |
|--------------------------------|----------|----------|-------|
| ausentes | 06 | 10 | 16 |
| presentes | 17 | 05 | 22 |
| total | 23 | 15 | 38 |

Tabela 10f) Presença ou ausência de Necrose focal disseminada nos grupos DG e DD.

Obtivemos $\chi^2(1) = 6.13$; $p = 0.0132676$. A um nível de significância de $\alpha = 0.05$, existe uma correlação positiva entre a presença de Necrose focal disseminada e os grupos do estudo.

VI DISCUSSÃO

VI DISCUSSÃO

Em nosso estudo, a distribuição da doença relacionada ao sexo demonstrou resultados semelhantes aos relatados na literatura. Pudemos verificar uma freqüência de 54,74% de indivíduos do sexo feminino e 45,25% de indivíduos do sexo masculinos.

Tais proporções são similares aos resultados dos estudos epidemiológicos realizados por Franco, L.J. - Ministério da Saúde, 1990.

Em relação à faixa etária, verificamos que a maior concentração de indivíduos ocorreu na sexta década de vida, seguida da quinta e sétima décadas, em cujos intervalos se situaram 77,35% dos indivíduos.

Em nossa população, a senilidade e a presença de patologias associada funcionaram como fator desencadeante para a manifestação do Diabetes Mellitus na maioria dos casos estudados.

Considerando o tempo de doença bioquimicamente manifesta, observamos uma nítida predominância nos intervalos situados entre 0 e 3 anos e 3 e 6 anos. Os resultados obtidos são concordantes com os resultados reportados no "Censo de Diabetes da Secretaria de Saúde do Estado de São Paulo" - 1990, onde o diabetes de início tardio é significativamente mais freqüente.

Conseqüentemente, obtivemos que 65,69% dos indivíduos foram clinicamente classificados como portadores de Diabetes Mellitus tipo II, 29,90% como Intolerantes à Glicose e 3,64% como diabéticos tipo I. De acordo com o Censo de Diabetes citado no parágrafo anterior, o Diabetes Mellitus tipo I corresponde a 10% da população total de diabéticos diagnosticados, resultados estes concor-

dantes com valores por nós obtidos.

Quanto ao grau de controle dos níveis glicêmicos, observamos que o mau controle ocorreu em 44, 52% dos indivíduos. Tal casuística é semelhante àquela reportada por Pimazoni Neto et. al. - 1990, onde 50% dos indivíduos diabéticos assistidos no Setor Secundário de Atenção à Saúde apresentavam níveis glicêmicos de jejum superiores a 250 mg/dl.

Tais observações são alarmantes quanto ao risco do desenvolvimento das complicações crônicas decorrentes da hiperglicemia.

Ao analisarmos os sintomas e sinais relativos ao coração dos indivíduos diabéticos, verificamos que 34,61% destes indivíduos eram assintomáticos e não possuíam sinais clínicos detectáveis. Entretanto, confrontando estes resultados com o estudo anátomo-patológico dos corações, observamos que a ausência de lesões anátomo-patológicas ocorreu apenas em 5,67% dos casos.

É provável que indivíduos diabéticos assintomáticos à prope deutica convencional, possam tornar-se sintomáticos, quando submetidos à métodos diagnósticos mais sensíveis, à exemplo da cicloergometria e do ecocardiograma de esforço.

Tais indivíduos merecem uma cuidadosa observação clínica, mesmo quando assintomáticos, uma vez que podem apresentar falência cardíaca, agudamente às hiperglicemias não controladas, quer por glicosilação das isoenzimas da miosina, que determina formas produtoras de baixa contratibilidade, quer por depressão das enzimas do sarcolema (Na-K-ATPase e Ca-Mg-ATPase). Segundo Arun e cols. - 1986, a depressão aguda do miocárdio é reversível após a administração de insulina.

O descontrole metabólico pode produzir alterações precoces dos índices de função cardíaca, detectados em crianças com tempo de doença inferior a três anos, segundo demonstraram Baum et. al. 1987.

O diagnóstico do período pré-clínico é fundamental para a profilaxia da Cardiomiotipatia Diabética clinicamente manifesta.

A observação dos indivíduos sintomáticos nos mostrou uma correlação estatisticamente significativa entre Diabetes Mellitus e precordialgia ($p = 0,0307$) e Diabetes Mellitus e insuficiência cardíaca ($p = 0,0101$) para os grupos de indivíduos exclusivamente diabéticos e diabéticos com patologias cardíacas associadas.

Em nossa casuística, a precordialgia ocorreu em 24,03% dos casos do grupo DG.

Quando acompanhada de desnivelamentos do segmento S-T, superior a 1 mm, sua freqüência se reduziu a 14,42%.

No grupo de indivíduos exclusivamente diabéticos, observamos que 18,18% dos indivíduos possuíam precordialgia, porém em nenhum dos traçados eletrocardiográficos registraram-se desnivelamentos do segmento S-T \geq a 1 mm. Entretanto, neste grupo, 18,18% dos indivíduos apresentaram Distúrbios Secundários de Repolarização Ventricular que, neste caso, podem ser indicativos de isquemia.

Entre os portadores de arteriolopatia hialina da camada média, 10,71% dos indivíduos possuíam precordialgia e coronárias epicárdicas périvas, mas neste grupo também não foram detectadas alterações do segmento S-T ao eletrocardiograma.

As discussões que envolvem a dor precordial de natureza isquêmica na Síndrome Diabética, quando as artérias coronárias epicárdicas estão périvas, são bastante controversas.

Já em 1983, Argüelles et.al. defendiam a idéia de que a dor precordial em indivíduos diabéticos é decorrente da associação entre a microangiopatia e o distúrbio metabólico.

Cannon et. al. (1987) observam que o coração diabético é muitas vezes mais sensível à isquemia que os controles normais. Descrevem uma limitação metabólica e farmacológica da reserva vasoconstritora ao dipiridamol e uma maior vasoconstrição induzida, após a administração de ergonovina. Resulta que o coração diabético se torna mais suscetível à isquemia, com lesões teciduais mais extensas do que aquelas apresentadas pelos indivíduos normais, quando submetidos a injúrias isquêmicas da mesma magnitude.

A biologia molecular forneceu, posteriormente, importantes subsídios à compreensão dos mecanismos de isquemia em diabetes. Indivíduos diabéticos, através da "up regulation" de seus receptores específicos, possuem um aumento da reatividade vascular à angiotensina II e norepinefrina, com espasmos microvasculares e das coronárias epicárdicas que podem explicar a precordialgia e os microinfartos. (Fein et. Factor, 1991).

Acreditamos na multiplicidade de mecanismos na etiopatogenia da dor precordial e da isquemia em diabéticos com coronárias epicárdicas périvas. De extrema relevância é o espamo das coronárias epicárdicas. Entretanto, entendemos que a alteração de permeabilidade e a vasodilatação constituem os fatores iniciadores e

finalizadores dos fenômenos isquêmicos, por onde atuam os diferentes mecanismos causais como: o espessamento da membrana basal dos vasos, os defeitos da vasomotricidade e a chamada "isquemia metabólica".

Sob a denominação de "isquemia metabólica", salientamos: maior afinidade da Hemoglobina glicosilada pelo O₂, redução da velocidade de fluxo com menor oferta de O₂ aos tecidos, aumento do metabolismo cardíaco dos lipídeos com aumento da acil-carnitina e seus derivados, resultando em gasto suplementar de O₂ para oxidação mitocondrial dos ácidos graxos, aumento de PGI2, tromboxane, fatores VII, VIII e X, podendo produzir microembolização.

Seguiu-se à precordialgia a Síndrome de Insuficiência Cardíaca. Observamos a falência biventricular em 20,19% dos casos e a falência ventricular esquerda em 5,76% dos casos. Ambas foram estatisticamente significantes, quando considerados os indivíduos exclusivamente diabéticos e os diabéticos com outras patologias ($p = 0,0101$).

A disfunção ventricular decorre do extravasamento de glicoproteínas para o interstício do miocárdio, devido à alteração de permeabilidade da microcirculação.

As glicoproteínas presentes no interstício e, posteriormente, o colágeno intersticial glicosilado são os elementos determinantes da perda de elasticidade do miocárdio com diminuição da complacência diastólica, elevação da pressão distólica final e consequente falência do músculo cardíaco (Regan - 1977).

De acordo com o "Framingham Study", a Insuficiência Cardí-

aca é duas a cinco vezes mais freqüente na população diabética, comparativamente a indivíduos não diabéticos da mesma faixa etária.

Constitui um aspecto interessante desta cardiomiopatia a constatação da Insuficiência Cardíaca com área cardíaca normal. Em suas fases iniciais, os elementos restritivos do interstício não alteram o tamanho e o peso do coração. Desta forma, a Cardiomiopatia Diabética foi inúmeras vezes confundida no passado com o coração amilóide, inclusive pelos aspectos tintoriais similares à histopatologia convencional.

Em nossos resultados, obtivemos que 15,15% dos indivíduos exclusivamente diabéticos possuíam sintomas ou sinais de Insuficiência Cardíaca biventricular e, neste grupo, não foram encontradas insuficiências univentriculares isoladas. Acreditamos que, nestes casos puros, a progressão da falência cardíaca ocorra muito lentamente, permitindo grande adaptabilidade aos sintomas, com a manifestação semiológica dos sintomas apenas em fases tardias.

Outra manifestação clínica frequente, porém sem significância estatística, foi a taquicardia sinusal persistente. Ocorreu em 7,69% dos indivíduos do grupo geral e 15,15% dos indivíduos exclusivamente diabéticos. Este sintoma (ou sinal) decorre da denervação parassimpática do coração, sendo bastante freqüente na prática clínica. Em nosso caso, devemos salientar a imprecisão da observação semiológica, uma vez que sua presença ocorreu em situações patológicas terminais, em pacientes cuja evolução clínica anterior era por nós desconhecida.

O estudo eletrocardiográfico demonstrou traçados normais em 4,80% dos casos do grupo DG e 24,24% dos casos do grupo DD.

Embora tenhamos obtido uma casuística importante de alterações eletrocardiográficas, consideramos que o eletrocardiograma de repouso não constitui um método adequado para a detecção das lesões próprias do coração diabético. Possuem maior sensibilidade os exames sob provas de esforço, principalmente aqueles que associam a mensuração dos índices cardíacos e o diagnóstico por imagem.

As lesões do miocárdio diabético possuem uma distribuição focal, permeadas por tecido muscular normal, o que não permite o registro de seu potencial elétrico, considerada a pequena extensão do tecido lesado.

Em seu estudo, Argüelles (1983) citou, como peculiares, as seguintes manifestações eletrocardiográficas:

- taquicardia sinusal persistente;
- ausência de alterações do automatismo ventricular;
- distúrbios de condução do ramo esquerdo do feixe de Hiss;
- distúrbios de condução do fascículo anterior (os dois últimos, ocorrendo por fibrose do sistema de condução).

Em nosso material, a taquicardia sinusal ocorreu em 5,76% dos casos do Grupo DG e 9,09% dos casos do Grupo DD e a pequena casuística não permitiu a análise estatística. Encontramos ainda 23,51% dos casos com distúrbios de condução do feixe de Hiss. Entretanto, a concomitância com outras patologias conferem a tais alterações uma baixa especificidade.

Ao analisarmos estatisticamente os traçados eletrocardio-

gráficos, detivemos-nos mais atentamente aos traçados que nos demonstrassem sinais de isquemia e sobrecarga de câmaras.

O desnivelamento do segmento S-T \geq 1 mm, associado ou não a alterações difusas da repolarização ventricular, foi estatisticamente significante para os grupos DG e DD ($p = 0,0006$), como também o foi a sobrecarga ventricular esquerda ($p = 0,0021$).

O estudo radiológico verificou que 42,30% dos indivíduos do grupo DG e 51,51% dos indivíduos do Grupo DD possuíam área cardíaca normal.

O aumento dos ventrículos ocorreu em 35,18% dos casos do grupo DG e 8,33% dos casos do Grupo DD. A análise estatística demonstrou que não há correlação significativa para o aumento ventricular ao Raio X ($p = 0,2933$). Este resultado confirma a assertiva de que a Cardiomiotipatia Diabética manifesta-se através de área cardíaca normal, inclusive nas fases iniciais da insuficiência cardíaca.

Concluímos que, devido à natureza multifocal de pequena extensão das lesões diabéticas e devido à Cardiomiotipatia restritiva própria das fases pré-clínicas desta Cardiomiotipatia, tal entidade não pode ser afastada mediante estudos radiográficos normais. Estes estudos também não possibilitam o diagnóstico diferencial com a doença obstrutiva das coronárias epicárdicas, altamente prevalente em diabetes.

Relativamente à associação entre Hipertensão Arterial Sistêmica e Diabetes Mellitus, observamos uma associação positiva em 31,38% dos casos. A hipertensão arterial isolada ocorreu em 16,78% dos indivíduos diabéticos.

Os resultados por nós obtidos são concordantes com a literatura, que aponta uma prevalência 1,5 a 2,0 vezes superior à população normal. Isto significa que um indivíduo em cada três diabéticos é portador de hipertensão, valores estes também observados em nossa casuística.

A gravidade da associação entre Pressão Arterial Sistólica e Diabetes Mellitus se expressa mais claramente no estudo de Fuller (1985), onde o autor estabelece uma correlação entre a taxa de mortalidade e a Hipertensão Arterial Sistólica. Para P.A.S. \geq 160 mmHg, a taxa de mortalidade do indivíduo diabético é multiplicada por quatro. Níveis pressóricos sistólicos inferiores a 160 mmHg produzem taxa de mortalidade multiplicada por um e meio.

Nossos resultados, entretanto, discordam de alguns autores, quando as correlações se fazem entre hipertensão arterial e magnitude e quantificação das lesões microvasculares.

Factor (1991) considera que a associação entre Hipertensão Arterial e Diabetes Mellitus é devastadora quanto aos aspectos morfológicos qualitativos das alterações da microcirculação.

Em nosso material, esta assertiva é verdadeira quando nos referimos à circulação renal, mas não o é para a microcirculação coronariana. Devemos considerar que, entre os hipertensos de nosso estudo, não foi verificada a presença de Hipertensão Arterial maligna, que sabidamente produz hialinose da média, porém de forma difusa e hiperplasia da íntima em "bulbo de cebola".

Pelas razões discutidas na secção III.2.5.C. da revisão bibliográfica, sob o título de Pressão Hidrostática, consideramos

que todo indivíduo diabético, em mau controle glicêmico, é portador de hipertensão microcirculatória. Portanto, todos os indivíduos diabéticos, com níveis pressóricos superiores àqueles considerados hipertensão microvascular, de acordo com o conceito de Christlieb, valores superiores a 120 x 80 mmHg são passíveis de apresentarem exacerbações das lesões microvasculares, o que foi habitual em nossa casuística, considerados os estudos anátomo-patológicos dos rins.

Esta observação não ocorreu quando o tecido analisado era o miocárdio.

Relativamente ao estudo anátomo-patológico dos corações, pudemos verificar que o peso do coração foi normal em 39,42% dos indivíduos do Grupo DG e 36,32% dos indivíduos do Grupo DD.

Ocorreu aumento de peso do órgão em 43,26% dos indivíduos do grupo DG e 15,15% dos indivíduos do grupo DD.

Em ambos os grupos, o aumento de peso foi estatisticamente significante ($p = 0,0036$).

O estudo do peso do coração, comparado a um grupo controle não portador de diabetes e cardiopatia, demonstrou que o peso do coração de indivíduos diabéticos é estatisticamente maior que o dos indivíduos normais ($p = 0,00007$), quer pelas patologias associadas ou exclusivamente pela patologia própria dos corações diabéticos, quando em seus estágios mais avançados.

Considerando o aspecto macroscópico da parede de VE, 39,42% no Grupo DG e 69,69% no Grupo DD possuíam espessura normal de parede.

A hipertrofia ou dilatação ocorreu em 60,57% dos indivíduos

do grupo DG e em 30,30% dos indivíduos do grupo DD.

Comparativamente, as manifestações clínicas estiveram presentes em 65,39% dos indivíduos do grupo DG e em 21,22% dos indivíduos do grupo DD, sugerindo-nos que a desproporção observada no grupo de indivíduos exclusivamente diabéticos se deva à adaptabilidade dos indivíduos ao curso insidioso da patologia.

O peso do coração foi aumentado em 43,26% dos indivíduos do grupo DG e em 15,15% dos indivíduos do grupo DD. Observamos que o dobro dos indivíduos diabéticos puros possuíam alterações da espessura da parede ventricular, quando comparados ao peso do órgão. Tal disparidade só é compreensível porque os elementos intersticiais, causadores de lesões anatômicas em corações diabéticos, não produzem, simultaneamente, aumentos de peso do órgão (Regan e Cols - 1987).

Em relação às artérias coronárias epicárdicas, encontramos que 33,57% dos indivíduos possuíam coronárias normais e périvas. Consideramos que esta casuística é bastante elevada para uma população diabética.

Provavelmente, o grande número de indivíduos normais tenha sido decorrente das características próprias desta população, onde o Diabetes Mellitus e a dislipidemia secundária tiveram um aparecimento tardio.

Entre os 59.61% de indivíduos portadores de coronariopatia obstrutiva, 37.50% apresentavam obstrução superior a 70% e constituíam o maior grupo da amostra.

O controle glicêmico foi mau em 57.89% dos indivíduos, satisfatório em 10.52% e bom em 31.57%.

Concluímos que, em nossa casuística, o mau controle se acompanhou de obstruções mais graves e que, nesta população, a ocorrência de obstrução coronariana foi 1.77 vezes superior à ausência de ateroesclerose.

De acordo com muitos autores, o grau de ateroesclerose independe da severidade da hiperglicemia. Outros estudos demonstram a existência de uma glicemia limiar, a partir da qual a incidência de ateroesclerose é maior e obedece a uma relação linear, à partir de um valor limiar, dependente dos vários fatores de risco para a doença coronariana, entre eles, o diabetes.

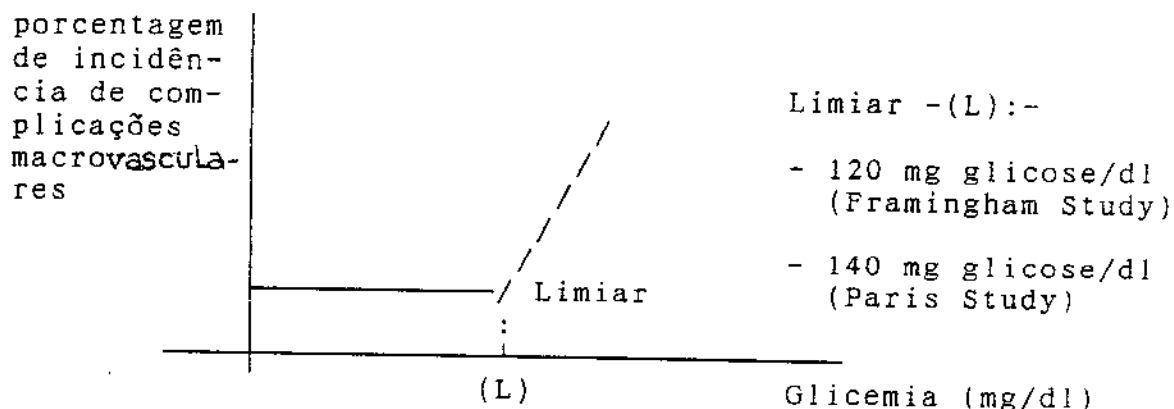


Figura 22 :- Incidência de complicadores macrovasculares dependentes dos níveis glicêmicos

O risco de ateroesclerose é duas vezes maior na população diabética e seu aparecimento mais precoce, quando comparado a controles da mesma faixa etária (Pichard e cols - 1982).

São merecedores de atenção especial, para o desenvolvimento da macroangiopatia ateroesclerótica, os indivíduos portadores da Síndrome X de Reaven: obesidade andróide, hipertensão arterial e resistência insulínica.

O exame anátomo-patológico revelou que apenas 5.76% dos indivíduos do grupo DG e 30.30% dos indivíduos do grupo DD

possuíam corações normais, pela metodologia utilizada.

Um cuidadoso estudo experimental realizado por Thompson - 1988, demonstrou a possibilidade de estadiarmos o acometimento do miocárdio e de seus vasos, de acordo com o tempo de hiperglicemia mantida.

Demonstrou também a possibilidade de reversão das lesões, considerando a intensidade de desarranjo estrutural produzido nas células de ratos Sprague-Dawley.

Foi observado que, na sexta semana, após a indução do diabetes, os animais apresentavam aumentos da matriz intercelular e perivascular, que se tornavam mais pronunciadas quanto maior o tempo de doença não tratada.

Submetendo tais animais à terapêutica insulínica, esta matriz vai sendo gradativamente removida, mas ainda está evidente após 26 semanas de tratamento.

Em relação aos miócitos, 15% deles se desestruturaram após seis semanas de hiperglicemia e, em vinte e seis semanas, 60% das células estão alteradas, apresentando:

- largas áreas de citoplasma livre;
- desestruturação das proteínas contráteis;
- redução do retículo sarcoplasmático;
- diminuição e alargamento das mitocondrias.

O tratamento insulínico por doze semanas normalizou a citoarquitetura, com manutenção de 10 a 20% de atipias celulares.

Quanto aos pequenos vasos intramiocárdicos, detectou-se que se mantêm inalterados nas seis primeiras semanas de hiperglicemia. Entre seis e doze semanas, começam a surgir alterações

progressivas que são totalmente revertidas, após seis semanas de tratamento insulínico.

Entre as alterações microvasculares, foi observado:-

- alargamento do citoplasma da célula endotelial;
- emissão de envaginações citoplasmáticas em direção ao lúmen, que muitas vezes obstruíam a luz dos capilares;
- aumento de vesículas picnóticas no citoplasma celular;
- aumento de espessura da lámina basal com áreas de duplicação da mesma.

Atentamos para o fato de que as alterações microscópicas dos pequenos vasos não são patognomônicas de diabetes, mas a observação de algumas particularidades, entre os diagnósticos diferenciais possíveis, possibilita o seu diagnóstico definitivo.

De acordo com Siperstein (1968), espessamentos da membrana basal superiores a 1800 Å, na ausência de Lupus Eritematoso Sistêmico, confirmam o diagnóstico de Diabetes Mellitus. Entretanto no L.E., ocorre uma hiperplasia da íntima; hiperplasia, hialinose e vacuolização da camada média, acompanhada de proliferações vasculares da adventícia. Os dois últimos achados não ocorrem em diabetes.

Na hipertensão arterial, foram observadas: redução do lúmen com hiperplasia das células endoteliais e hipertrofia da camada média, acompanhada por proliferação de fibras colágenas (Ribeiro Jorge - 1988).

A arterioesclerose hialina ocorre na hipertensão arterial benigna, principalmente na hipertensão de longa duração, em indivíduos com faixa etária superior a sessenta anos. A presença de depósitos PAS positivos intercelulares e a distribuição focal,

principalmente nos rins, possibilitam o diagnóstico diferencial com Diabetes Mellitus. A hiperplasia da íntima e a degeneração da célula endotelial foi observada em diabetes, mas ocorre indistintamente na Hipertensão Arterial Sistêmica.

Estudos atuais conduzem a um mecanismo etiopatogênico de causa e efeito entre resistência insulínica e Hipertensão Arterial Essencial. Tais estudos podem, no futuro, esclarecer a superposição de lesões anatômicas vasculares, observadas no diabetes e na hipertensão. Sisperstein (1968), Williamson (1978), Vernon (1979), Rubbler (1972), Argüelles (1983), Ribeiro Jorge (1988), Ferrannini (1988), Kojimara (1988).

Nossa metodologia não inclui o estudo da ultra-estrutura, entretanto, à microscopia óptica pudemos observar as lesões prevalentes nos cortes histológicos dos corações diabéticos.

De acordo com o estudo de Thompson (1988), devido à predominância do mau controle glicêmico e das flutuações glicêmicas, entre os períodos de compensação e descompensação metabólica, esperávamos encontrar lesões teciduais em diferentes fases de comprometimento. Sem dúvida, a observação foi concordante com a hipótese.

A hipertrofia muscular e a fibrose intersticial foram as alterações mais freqüentes no grupo DG, enquanto que no grupo DD foram mais freqüentes: o aumento do tecido conetivo perivasicular e a fibrose intersticial.

No grupo DG, observamos a seguinte casuística:

- | | |
|------------------------|----------|
| - hipertrofia | - 54,80% |
| - fibrose intersticial | - 48,07% |

| | |
|-----------------------------------|----------|
| - fibrose focal disseminada | - 37,50% |
| - fibrose extensa | - 36,53% |
| - aumento do conetivo pervascular | - 29,80% |
| - arteríopatia hialina | - 16,34% |
| - necrose focal disseminada | - 16,34% |
| - necrose extensa | - 13,46% |

No grupo DD, a distribuição das frequências foi:-

| | |
|-----------------------------------|----------|
| - aumento do conetivo pervascular | - 60,60% |
| - fibrose intersticial | - 45,45% |
| - hipertrofia | - 33,33% |
| - arteriolopatia hialina | - 33,33% |
| - fibrose focal disseminada | - 18,18% |
| - necrose focal disseminada | - 15,15% |
| - fibrose extensa | - 9,09% |
| - necrose extensa | - 3,03% |

As lesões da miocélula, recentes ou residuais, ocorreram em menor número em ambos os grupos, mas obedeceram à distribuição focal das lesões diabéticas.

A necrose extensa foi a lesão menos freqüente em ambos os grupos.

A somatória dos indivíduos portadores de necrose e fibrose extensas no grupo DD resultou em 12,12% dos casos e correspondeu aos indivíduos portadores de lesões de natureza isquêmica, mediante coronárias epicárdicas pérvias.

As lesões de natureza focal constituem um aspecto patognomônico do Diabetes Mellitus e ocorreram em 61,31% dos casos.

O estudo estatístico demonstrou que o conjunto de alterações

anátomo-patológicas detectadas estão correlacionadas aos dois grupos de indivíduos diabéticos ($p = 0,00059981$). A análise das variáveis em separado mostrou uma ausência de correlação com o aumento do tecido conetivo perivascular ($p = 10,22$) e com a arteriolopatia hialina da camada média.

Ao observarmos as tabelas 10A a 10E, concluímos que a não significância estatística destas duas variáveis decorreu de sua alta prevalência no grupo DD, comparativamente ao grupo DG.

A análise de nosso material não nos permitiu individualizar os fatores determinantes da prevalência destas lesões. Sua presença nos pareceu ocorrer aleatoriamente, obedecendo talvez ao traço genético que a determina.

Embora desprovidas de significância estatística, estas lesões ainda nos parecem as mais peculiares do coração diabético.

Finalmente, resta-nos comentar as dissemelhanças quantitativas e qualitativas da microangiopatia nos diferentes órgãos de um mesmo indivíduo.

Tais diferenças não estão suficientemente claras. Postula-se que resultam de diferentes condições de fluxo. (Schonbein - 1976, Zatz e Brenner - 1986).

A análise do material nos permitiu inferir que a magnitude e quantificação da microangiopatia depende do modelo microcirculatório do órgão estudado, quanto aos seus aspectos morfológicos e funcionais uma vez que não nos detivemos ao estudo histométrico dos pequenos vasos.

Desta forma, são similares morfologicamente a microangiopatia de órgãos e tecidos que possuam capilares contínuos: retina,

coração, músculo esquelético e pele.

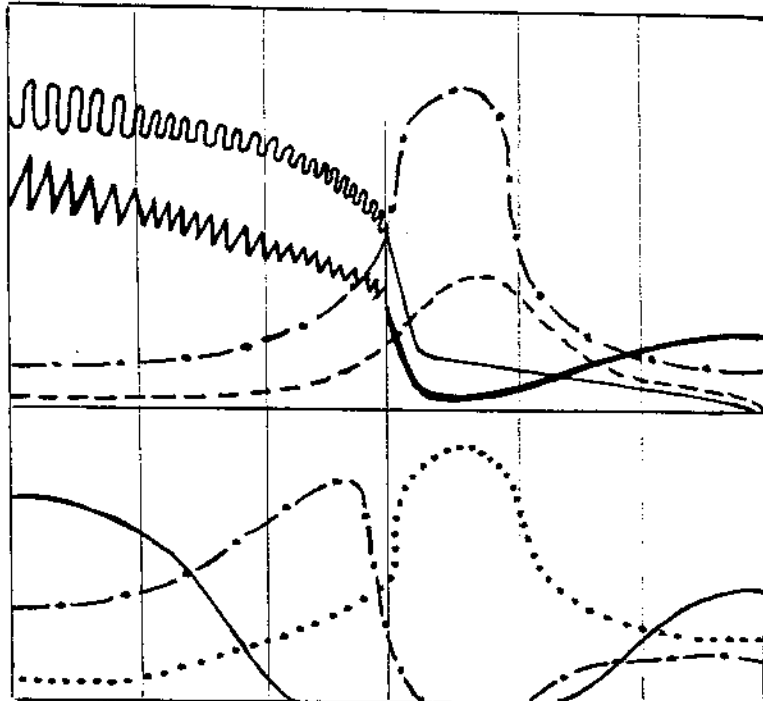
Os órgãos possuidores de capilares sinusoidais possuem lesões microvasculares mais freqüentes e mais exacerbadas que os tecidos que possuem capilares contínuos. Neste grupo, encontramos o fígado, o baço e o pâncreas. Os sinusóides possuem um revestimento descontínuo de células endoteliais e estas células possuem abundante quantidade de poros.

O terceiro tipo de capilar é o fenestrado, cuja exuberante rede de poros permite uma intensa troca de substâncias entre o sangue e as células. Ocorre nos rins, conferindo a este órgão as mais exuberantes lesões microvasculares no diabetes.

Parece-nos claro que as particularidades morfológicas e funcionais destes modelos microcirculatórios justifiquem as diferentes magnitudes da microangiopatia nos diferentes tecidos.

A figura 23, extraída dos textos básicos da histologia, exemplifica, com muita clareza, os fatores que resultam na microangiopatia quando compararmos a microcirculação e os vasos de maior calibre (Junqueira e Carneiro - 1974).

Pressão
 Velocidade
 de
 fluxo
 Regeneração
 Permeabilidade
 Fibras elásticas
 Músculo
 Área Total



Artéria Artéria Arterio-Capilar Vênula Vena
 elástica muscular -la

Figura 23:- Correlação gráfica entre as características circulatórias e biológicas dos vasos sanguíneos

Observando-se o gráfico, podemos concluir que as condições fisiológicas da microcirculação é em tudo própria para a instalação da microangiopatia: alia-se maior permeabilidade capacidade de regeneração e fluxo lento às situações próprias do diabetes, ou seja, a vasodilatação, o aumento de permeabilidade decorrente do hiperfluxo, a glicosilação do endotélio, uma menor velocidade de fluxo e maior viscosidade sanguínea, somados à hipertensão microcirculatória.

Em nossa casuística, a presença de nefropatia diabética foi muito elevada: 96.34% dos casos, com 100% de concordância com a arteriolopatia hialina do coração.

Entre os nefropatas, 7,28% apresentavam a forma clássica de Kimmenstiel-Wilson, resultado este concordante com o esperado,

uma vez que esta forma de glomerulopatia ocorre tardiamente nos pacientes diabéticos (Robbins - 1975).

Considerando os indivíduos exclusivamente diabéticos, o mau controle metabólico foi predominante para todas as lesões observadas.

VII - CONCLUSÕES

VII - CONCLUSÕES

1. Na população estudada 24.08 % dos indivíduos eram portadores de Diabétes Mellitus sem a concomitância com patologias cardíacas e 75.91 % possuíam Diabetes Mellitus associado a patologias cardíacas ou patologias sistêmicas com repercussão cardíaca.

2. As doenças prevalentes associadas foram a Coronariopatia Ateroesclerótica (66.39 %) e a Hipertensão Arterial Sistêmica (31.38 %) ocorrendo isoladas ou concomitantemente.

As demais doenças associadas foram representadas pelas seguintes freqüências:

- valvopatias :- 5.82 %
- cardiopatia chagásica :- 3.64 %
- miocardioesclerose :- 0.72 %
- endocardite aguda :- 0.72 %

3. A microangiopatia diabética foi bastante representativa, ocorrendo em 20.43 % dos casos, tendo sido caracterizada pelo espessamento hialino da camada média dos pequenos vasos intra-miocárdicos à microscopia óptica.

4. A cardiomiopatia isquêmica ocorreu em 3.57 % dos indivíduos portadores de microangiopatia diabética no coração. Entretanto, em todos os casos foram observados obstruções luminais das coronárias epicárdicas superiores a 70 %.

Nos indivíduos possuidores de microangiopatia diabética do coração e coronárias epicárdicas pérvias não ocorreu cardiopatia isquêmica.

5. Ao analisarmos a fibrose ou necrose extensas do miocárdio, ao exame anátomo patológico, não considerando os aspectos clínicos e eletrocardiográficos, encontramos 10.71 % dos indivíduos com microangiopatia diabética e tais perdas teciduais. Entretanto, em todos os casos, a coronariopatia obstrutiva superior a 70 % esteve presente.

Em 3.57 % dos indivíduos ocorreu microangiopatia diabética e fibrose extensa do coração com coronárias epicárdicas périvas.

6. Ocorreu um nítido predomínio de Diabetes Mellitus tipo II (65.69 %).

Não houveram diferenças significativas quanto ao sexo.

A faixa etária predominante no estudo foi superior à 5ª década.

O tempo de doença diagnosticada, através do exame bioquímico da glicemia, foi inferior a 6 anos.

7. O mau controle glicêmico esteve presente em 34.61 % dos indivíduos.

8. A freqüência de indivíduos sintomáticos foi de 54.75 % dos casos. Entretanto, foram observadas lesões anátomo-patológicas em 88.33 % dos casos.

9. A precordialgia foi o sintoma mais frequente (22.62 %) seguida dos sintomas ou sinais de Insuficiência Cardíaca biventricular.

10. A precordialgia ocorreu em 24.03 % dos indivíduos possuidores de patologias cardíacas associadas e em 14.42 % dos casos foi acompanhada de desnivelamento do segmento S-T superior ou igual a 1 mm.

No grupo de indivíduos exclusivamente diabéticos a precardialgia ocorreu em 18.18 % dos casos e não se acompanhou de desnivelamentos do segmento S-T.

11. Ao estudo radiológico 42.30 % dos indivíduos do Grupo Geral e 51.51 % dos indivíduos do Grupo Exclusivamente Diabéticos possuíam área cardíaca normal.

O peso do coração foi normal em 39.42 % dos indivíduos do Grupo Geral e 36.32 % dos indivíduos do Grupo Exclusivamente Diabéticos.

A parede de V.E. se mostrou normal em 39.42 % dos indivíduos do Grupo Geral e 69.69 % do Grupo Exclusivamente Diabéticos.

12. A Coronariopatia Obstrutiva dos vasos epicárdicos ocorreu em 59.61 % dos casos e em 37.50 % a obstrução luminal era superior a 70.00 %.

13. O exame anátomo-patológico do coração foi normal em 5.76 % dos indivíduos do Grupo Geral e 30.30 % do Grupo Exclusivamente Diabéticos.

14. As lesões de natureza focal ocorreram em 61.31 % de todos os casos e constituem o aspecto mais característico das lesões anátomo-patológicas do Diabetes Mellitus.

15. A distribuição das lesões do interstício e da miocélula acompanha a distribuição dos pequenos vasos intramiocárdicos e são, em muito, mais exuberantes nos locais onde ocorre microangiopatia hialina da camada média, detectável à microscopia ótica.

16. O presente estudo não nos permitiu verificarmos os fatores de risco para a microangiopatia diabética no coração e para a Cardiompatia Diabética, excetuando-se o mau controle glicêmico,

que ocorreu em 44.52 % dos casos.

17. A presença de lesões anátomo-patológicas de natureza focal, em corações de indivíduos diabéticos, sugerem o diagnóstico de Cardiompatia Diabética.

18. O diagnóstico clínico e laboratorial desta entidade nosológica é de difícil execução. O eletrocardiograma e o Raio X convencionais não estão adequados à caracterização desta patologia e não possibilitam seus diagnósticos diferenciais.

19. Provas funcionais associadas ao diagnóstico por imagem, se mostram mais adequadas a avaliação das repercussões da Cardiompatia Diabética.

Desta forma, constituem um substancial auxílio da propedeutica armada, o Ecocardiograma de esforço e a Cintilografia com Tálio.

20. São necessários estudos prospectivos que permitam conhecer o alcance e a resolutividade dos métodos supra-mencionados, aplicados a esta cardiompatia.

V I I I — SUMARIO

VIII - SUMARIO

Neste estudo, analisamos os corações de cento e trinta e sete indivíduos diabéticos necropsiados, quanto às suas manifestações clínicas e alterações anátomo-patológicas.

Entendemos que a hiperglicemias produz efeitos deletérios diretos, dirigidos às enzimas da miocélula que regulam o equilíbrio iônico e contrátil, resultando em instabilidade elétrica e depressão do miocárdio.

A longo prazo, os efeitos da hiperglicemias no coração são decorrentes de alterações da permeabilidade dos pequenos vasos intramiocárdicos que, através de múltiplas alterações dos principais mecanismos homeostáticos, lesam progressivamente o interstício e a miocélula.

As manifestações clínicas mais freqüentes são: a precordialgia típica, na ausência de coronariopatia obstrutiva que a justifique, e os sintomas decorrentes da insuficiência ventricular, inicialmente diastólica.

Exames subsidiários de rotina como, o eletrocardiograma de repouso e o exame radiológico convencional, não constituem recursos diagnósticos adequados e suficientes, devido à pequena extensão e segmentaridade das lesões.

O exame anátomo-patológico identifica as lesões prevalentes e peculiares, mas não constituem lesões patognomônicas.

Entretanto, uma característica exclusiva do diabetes é a natureza focal das lesões observadas.

Esta segmentaridade permite que a Cardiomiotia Diabética possa ser diagnosticada ao exame anátomo-patológico, mesmo quando

associada à cardiopatias de outra etiologia, cuja freqüência é muito elevada no diabetes.

Observamos que, em 137 indivíduos estudados, as lesões focais corresponderam a 61.31% e os indivíduos portadores de tais lesões seguramente eram possuidores de Cardiomielopatia Diabética, que acreditamos ser decorrente da lesão dos pequenos vasos intramiocárdicos

Entre estes, 16.78% são diabéticos sem outras patologias cardiovasculares e 71.53% são diabéticos que possuem outros mecanismos de lesão, principalmente representados pela Hipertensão Arterial Sistêmica e Coronariopatia Obstrutiva.

Em todas as lesões anátomo-patológicas observadas nos indivíduos exclusivamente diabéticos, houve o predomínio do mau controle glicêmico.

O meio metabólico hiperglicêmico também foi fundamental para a ocorrência da macroangiopatia ateroesclerótica nas formas obstrutivas graves, superiores a 50%, principalmente em obstruções entre 70 e 100%.

IX — SUMMARY

IX - SUMMARY

In this study, we analysed the hearts from 137 diabetic individuals necropsied as to their clinical manifestations and anatomo-pathological alterations.

We believe that hyperglycemia causes direct deleterious effects towards the myocyte enzymes, which regulate the ionic and contractile balance, leading to an electric instability and myocardial depression.

At long term the effects of hyperglycemia on heart are due to alterations of the permeability of intramyocardial small vessels, which through multiple alterations of main homeostatic mechanism progressively injure interstice and myocyte.

The most frequent clinical manifestations are: typical precordialgic in the absence of obstructive coronaryopathy which justifies it and the symptoms and signals resulting from ventricular insufficiency, initially diastolic.

Routine subsidiary exams, such as electrocardiogram at rest and usual radiologic exam, do not constitute neither appropriate nor sufficient aid for diagnosis since the lesions are small and focal.

The anatomo-pathological exam identifies the prevalent lesions but not the pathognomonic ones of diabetes.

However, the focal nature of the observed lesions establishes an exclusive characteristic of diabetes.

Due to such nature, Diabetic Cardiomyopathy can be diagnosed by anatomo-pathological exam, even when it is associated to other types of cardiopathy, which frequency is very high in diabetes.

We observed that in the 137 individuals studied, focal lesions corresponded to 61.31 % of the total cases. Such individuals suggested from Diabetic Cardiomiopathy, which we believe to be resulting from the lesion of intramyocardic small vessels.

From these groups, 16.78 % are diabetics without any other associated cardiovascular pathologies and 71.53 % are diabetics with other mechanisms of lesion, mainly represented by Sistemic Arterial Hypertension and Obstructive Coronariopathy.

A poor glicemic control was predominant in the anatomo-pathological lesions observed in exclusively diabetic individuals.

The hyperglycemic metabolic medium was also essential for the occurrence of arteriosclerotic macroangiopathy in severe obstructive forms, greater than 50.00 % and mainly between 70 and 100 %.

X APÊNDICE: INDIVÍDUOS PRO-
POSITO E TABELAS

X APÊNDICE : INDIVÍDUOS-PROpósito E
TABELAS

X-1 RESULTADOS DO ESTUDO CLÍNICO DE
INCIDÊNCIA

X.1.1 Sexo :

| SEXO | GRUPO DG | % | GRUPO DD | % | TOTAL | % |
|-----------|----------|-------|----------|-------|-------|-------|
| FEMININO | 51 | 49.03 | 24 | 72.72 | 75 | 54.74 |
| MASCULINO | 53 | 50.96 | 09 | 27.27 | 62 | 45.25 |
| TOTAL | 104 | 99.99 | 33 | 99.99 | 137 | 99.99 |

Tabela 12 :- Distribuição dos indivíduos quanto ao sexo nos grupos; DG (gerais) e DD (diabéticos puros).

X.1.2 Faixa Etária :

| FAIXA ETÁRIA | GRUPO DG | % | GRUPO DD | % | TOTAL | % |
|--------------|----------|-------|----------|-------|-------|-------|
| 0 — 10 | 00 | 0.00 | 00 | 0.00 | 00 | 0.00 |
| 10 — 20 | 00 | 0.00 | 01 | 3.03 | 01 | 0.72 |
| 20 — 30 | 00 | 0.00 | 03 | 9.09 | 03 | 2.18 |
| 30 — 40 | 02 | 1.92 | 03 | 9.09 | 05 | 3.64 |
| 40 — 50 | 09 | 8.65 | 01 | 3.03 | 10 | 7.29 |
| 50 — 60 | 24 | 23.07 | 07 | 21.21 | 31 | 22.62 |
| 60 — 70 | 33 | 31.73 | 07 | 21.21 | 40 | 29.10 |
| 70 — 80 | 28 | 26.92 | 07 | 21.21 | 35 | 25.54 |
| 80 — 90 | 08 | 7.69 | 04 | 12.12 | 12 | 8.75 |
| TOTAL | 104 | 99.98 | 33 | 99.99 | 137 | 99.99 |

Tabela 13 :- Distribuição dos indivíduos dos grupos DG e DD de acordo com a faixa etária em que ocorreu o óbito.

X.1.3 Tempo de doença bioquimicamente comprovada:

| TEMPO DE DOENÇA | GRUPO DG | % | GRUPO DD | % | TOTAL | % |
|-----------------|------------|--------------|-----------|--------------|------------|--------------|
| 0 — 3 | 25 | 24.03 | 12 | 36.36 | 37 | 27.00 |
| 3 — 6 | 13 | 12.50 | 04 | 12.12 | 17 | 12.40 |
| 9 — 9 | 08 | 7.69 | 01 | 3.03 | 09 | 6.56 |
| 9 — 12 | 09 | 8.65 | 02 | 6.06 | 11 | 8.02 |
| 12 — 15 | 00 | 0.00 | 02 | 6.06 | 02 | 1.45 |
| 15 — 18 | 02 | 1.92 | 00 | 0.00 | 02 | 1.42 |
| 18 — 21 | 01 | 0.96 | 00 | 0.00 | 01 | 0.72 |
| > 21 | 04 | 3.84 | 00 | 0.00 | 04 | 2.91 |
| DESCONHECIDO | 13 | 12.50 | 00 | 0.00 | 13 | 9.48 |
| SEM PREVISÃO | 29 | 27.88 | 12 | 36.36 | 41 | 29.92 |
| TOTAL | 104 | 99.98 | 33 | 99.99 | 137 | 99.99 |

Tabela 14 : - Tempo de doença com diagnóstico bioquímico nos grupos DG e DD

X.4 Classificação clínica do Diabetes Mellitus:

| TIPO | GRUPO DG | % | GRUPO DD | % | TOTAL | % |
|--------------|------------|--------------|-----------|--------------|------------|--------------|
| I | 00 | 0.00 | 05 | 15.15 | 05 | 3.64 |
| II | 69 | 66.34 | 21 | 63.63 | 90 | 65.69 |
| INT. GLIC. | 35 | 33.65 | 06 | 18.18 | 41 | 29.92 |
| SECUND. | 00 | 0.00 | 01 | 3.03 | 01 | 0.72 |
| TOTAL | 104 | 99.99 | 33 | 99.99 | 137 | 99.99 |

Tabela 15 : - Distribuição dos indivíduos dos grupos DG e DD quanto a classificação clínica do Diabetes Mellitus.

X.1.5 Grau de Controle Glicêmico:

| GRAU DE CONTROLE | GRUPO DG | % | GRUPO DD | % | TOTAL | % |
|------------------|------------|--------------|-----------|--------------|-----------|--------------|
| MAU | 42 | 40.38 | 19 | 57.57 | 61 | 44.52 |
| SATISFATORIO | 09 | 8.65 | 02 | 6.06 | 11 | 8.02 |
| BOM | 45 | 43.26 | 11 | 33.33 | 56 | 40.87 |
| DESCONHECIDO | 08 | 7.69 | 01 | 3.03 | 09 | 6.56 |
| TOTAL | 104 | 98.99 | 33 | 99.99 | 37 | 99.99 |

Tabela 16 :- Distribuição dos indivíduos dos grupos DG e DD segundo o grau de controle metabólico.

X.1.6 Sintomas e sinais clínicos:

| SINTOMAS E SINAIS | GRUPO DG | % | GRUPO DD | % | TOTAL | % |
|-------------------|------------|---------------|-----------|---------------|------------|---------------|
| EXTRASSISTOLES | 16 | 15.38 | 05 | 15.15 | 21 | 15.32 |
| AUSENTES | 36 | 34.61 | 26 | 78.78 | 62 | 45.25 |
| PRECORDIALGIA | 25 | 24.03 | 06 | 18.18 | 31 | 22.62 |
| I.C.BIVENTRICULAR | 21 | 20.19 | 05 | 15.15 | 26 | 18.97 |
| TAQ. SINUSAL | 08 | 7.69 | 05 | 15.15 | 13 | 9.48 |
| I.C.ESQUERDA | 06 | 5.76 | 00 | 0.00 | 06 | 4.37 |
| F.A.CRONICA | 03 | 2.88 | 00 | 0.00 | 03 | 2.88 |
| I.C.DIREITA | 00 | 0.00 | 00 | 0.00 | 00 | 0.00 |
| F.A.AGUDA | 01 | 0.96 | 00 | 0.00 | 01 | 0.72 |
| TOTAL | 116 | 111.50 | 47 | 142.41 | 164 | 119.64 |

Tabela 17 :- Manifestações clínicas mais frequentes em indivíduos do grupo DG e DD.

X. 1.7 Expressão eletrocardiográfica:

| ECG | GRUPO DG | % | GRUPO DD | % | TOTAL | % |
|--------------------|-------------|---------------|-------------|---------------|------------|---------------|
| NORMAL | 05 | 4.80 | 08 | 24.24 | 13 | 9.48 |
| ALT. REPOLARIZAÇÃO | 42 | 40.38 | 06 | 18.18 | 48 | 35.03 |
| SOBRECARGA V.E. | 33 | 31.73 | 07 | 21.21 | 40 | 29.19 |
| PERDA POTENCIAL | 16 | 15.38 | 04 | 12.12 | 20 | 14.59 |
| E.S. SUPRA-VENTRIC | 17 | 16.34 | 01 | 3.03 | 18 | 13.13 |
| DIST. CONDUÇÃO | 15 | 14.42 | 03 | 9.09 | 18 | 13.13 |
| DESN. SEGMENTO ST | 15 | 14.42 | 02 | 6.06 | 17 | 12.40 |
| ES VENTRICULARES | 12 | 11.53 | 02 | 6.06 | 14 | 10.21 |
| TAQUI. SINUSAL | 06 | 5.76 | 03 | 9.09 | 09 | 6.56 |
| FA. CRÔNICA | 03 | 2.88 | 00 | 0.00 | 04 | 2.91 |
| FA. AGUDA | 01 | 0.96 | 00 | 0.00 | 01 | 0.72 |
| FIBRILÔ-FLUTTER | 01 | 0.96 | 00 | 0.00 | 01 | 0.72 |
| TOTAL | 166 | 159.56 | 37 | 109.08 | 203 | 148.07 |

Tabela 18 :- Aspectos eletrocardiográficos observados nos indivíduos dos grupos DT, DG e DD.

X. 1.8 Expressão radiológica

| RX | GRUPO DG | % | GRUPO DD | % | TOTAL | % |
|------------------|-------------|--------------|-------------|--------------|------------|--------------|
| NORMAL | 44 | 42.30 | 17 | 51.51 | 61 | 44.52 |
| ↑ VE + | 23 | 22.11 | 05 | 15.15 | 28 | 20.43 |
| ↑ VE ++ | 02 | 1.92 | 02 | 6.06 | 04 | 2.91 |
| ↑ VD ++ | 02 | 1.92 | 00 | 0.00 | 02 | 1.45 |
| ↑ VE e VD + | 01 | 0.96 | 00 | 0.00 | 01 | 0.72 |
| ↑ VE e VD ++/+++ | 10 | 9.61 | 02 | 6.06 | 12 | 8.75 |
| TOTAL | 82 | 78.84 | 26 | 78.78 | 108 | 78.83 |

Tabela 19 :- Expressão radiológica dos indivíduos dos grupos DG, e DD.

Obs.: 28 indivíduos não possuíam estudo radiológico (21 DG e 7 DD).

X. 1.9 Hipertensão Arterial Sistêmica associada:

| ASSOCIAÇÃO DE PATOLOGIAS | NÚMERO DE INDIVÍDUOS | % |
|--|----------------------|-------|
| DIABETES E HIPERTENSÃO | 23 | 16.78 |
| DIABETES, HIPERTENSÃO E CARDIOPATIA ISQUÉ-MICA | 15 | 10.94 |
| HIPERTENSÃO, DIABETES E CARDIOPATIAS DE OUTRA NATUREZA | 05 | 3.64 |
| TOTAL | 43 | 31.36 |

Tabela 20 :- Hipertensão Arterial Sistêmica associada ao Diabetes

X. 2 Resultados do estudo anátomo-patológico de incidência:

X. 2.1 Peso do coração:

| PESO DO CORAÇÃO | GRUPO DG | % | GRUPO DD | % | TOTAL | % |
|-----------------|----------|-------|----------|-------|-------|-------|
| AUMENTADO | 45 | 43.26 | 05 | 15.15 | 50 | 36.49 |
| NORMAL | 41 | 39.42 | 12 | 36.36 | 53 | 38.68 |
| DIMINUIDO | 18 | 17.30 | 16 | 48.48 | 34 | 24.81 |
| TOTAL | 104 | 99.98 | 33 | 99.99 | 137 | 99.98 |

Tabela 21 :- Peso do coração (considerando o sexo) nos grupos DG, e DD.

X.2.2 Artérias coronárias epicárdicas:

| ARTÉRIAS CORONÁRIAS EPICÁRDICAS | GRUPO DD | % | GRUPO DG | % | TOTAL | % |
|---------------------------------------|-------------|------------|-------------|--------------|------------|--------------|
| NORMAIS | 33 | 100 | 13 | 12.50 | 46 | 33.57 |
| LIPOIDOSE | 00 | 00 | 29 | 27.88 | 29 | 21.16 |
| OBST > 0 | 25 | 00 | 00 | 0.00 | 00 | 0.00 |
| 25 | 50 | 00 | 13 | 12.50 | 13 | 9.48 |
| 50 | 70 | 00 | 10 | 9.61 | 10 | 7.29 |
| 70 | 100 | 00 | 39 | 37.50 | 39 | 28.46 |
| TOTAL | 33 | 100 | 104 | 99.99 | 137 | 99.99 |

Tabela 22 :- Pervidade das artérias coronárias epicárdicas no grupos DG

X.2.3 Espessura da parede do miocárdio:

| ESPESSURA DA PAREDE | GRUPO DG | % | GRUPO DD | % | TOTAL | % |
|------------------------|-------------|--------------|-------------|--------------|------------|--------------|
| NORMAL | 41 | 39.42 | 23 | 69.69 | 64 | 46.71 |
| HIPERTROFIA | 35 | 33.65 | 06 | 18.18 | 11 | 29.92 |
| DILATAÇÃO | 28 | 26.92 | 04 | 12.12 | 32 | 23.35 |
| TOTAL | 104 | 99.99 | 33 | 99.99 | 137 | 99.98 |

Tabela 23 :- Espessura da parede do miocárdio nos grupos DG e DD

X.2.4 Alterações anátomo-patológicas prevalentes:

| ALTERAÇÃO ANÁTOMO-PATOLOGICA | GRUPO DG | % | GRUPO DD | % | TOTAL | % |
|-----------------------------------|------------|---------------|-----------|---------------|------------|---------------|
| AUSENTES | 06 | 5.76 | 10 | 30.30 | 16 | 11.67 |
| HIPERTROFIA | 57 | 54.80 | 11 | 33.33 | 68 | 49.63 |
| FIBROSE INTERSTICIAL | 50 | 48.07 | 15 | 45.45 | 65 | 47.44 |
| AUMENTO DO CONECTIVO PERIVASCULAR | 31 | 29.80 | 20 | 60.60 | 51 | 37.22 |
| FIBROSE FOCAL DISSEMINADA | 39 | 37.50 | 06 | 18.18 | 45 | 32.84 |
| FIBROSE EXTENSA | 38 | 36.53 | 03 | 9.09 | 41 | 29.92 |
| ARTERIOLOPATIA | 17 | 16.34 | 11 | 33.33 | 28 | 20.43 |
| HIALINA DA MÉDIA | | | | | | |
| NECROSE FOCAL DISSEMINADA | 17 | 16.34 | 05 | 15.15 | 22 | 16.05 |
| NECROSE EXTENSA | 14 | 13.46 | 01 | 3.03 | 15 | 10.94 |
| TOTAL | 272 | 229.89 | 79 | 230.29 | 351 | 256.19 |

Tabela 24 : - Alterações anátomo-patológicas prevalentes nos grupos DG e DD.

X.2.5 Associação com nefropatia:

| LESÃO RENAL | GRUPO DG | % | GRUPO DD | % | TOTAL | % |
|---------------|------------|--------------|-----------|--------------|------------|--------------|
| AUSENTE | 03 | 2.88 | 02 | 6.06 | 05 | 3.64 |
| GL. HIALINA | 91 | 87.50 | 31 | 93.93 | 122 | 89.05 |
| GL. K.-WILSON | 10 | 9.61 | 00 | 0.00 | 10 | 7.29 |
| TOTAL | 104 | 99.99 | 33 | 99.99 | 137 | 99.99 |

Tabela 25 : - Associação entre os grupos DG e DD com nefropatia diabética.

**X.2.6 Alterações anátomo-patológicas
mais frequentes no diabetes puro
e nas patologias prevalentes**

| ALTERAÇÃO ANÁTOMO-PATOLOGICA | OBST CORON $\geq 50\%$ n = 52 | % | H A n = 43 | % | DIABETES PURO n = 33 | % |
|------------------------------|-------------------------------------|--------|---------------|--------|-------------------------|--------|
| AUSENTES | 00 | 0.00 | 01 | 2.32 | 10 | 30.30 |
| HIPERTROFIA | 18 | 34.36 | 16 | 37.20 | 11 | 33.33 |
| FIBROSE INTERSTITICIAL | 15 | 28.84 | 18 | 41.86 | 15 | 45.45 |
| ↑ CONECTIVO PERIVASCULAR | 10 | 19.23 | 16 | 37.20 | 20 | 60.60 |
| FIBROSE FOCAL DISSEMINADA | 10 | 19.23 | 02 | 4.65 | 06 | 18.18 |
| FIBROSE EXTENSA | 28 | 53.84 | 01 | 2.32 | 03 | 9.09 |
| NECROSE FOCAL DISSEMINADA | 08 | 15.38 | 00 | 0.00 | 05 | 15.15 |
| NECROSE EXTENSA | 09 | 17.30 | 01 | 2.32 | 01 | 3.03 |
| TOTAL | 98 | 188.18 | 55 | 127.90 | 71 | 215.15 |

Tabela 26 :- Alterações anátomo-patológicas mais frequentes no diabetes puro e nas patologias associadas prevalentes.

X.2.7 Arteriolopatia hialina, em associação com com o diabetes puro e com as patologias prevalentes associadas (n = 28)

| PATOLOGIA | n | % |
|---|----|-------|
| DIABETES PURO | 11 | 39.28 |
| HIPERTENSÃO ARTERIAL PURA | 03 | 10.71 |
| CORONARIOPATIA ≥ 50% PURA | 08 | 28.57 |
| OUTRAS CARDIOPATIAS PURAS | 01 | 3.57 |
| DIABETES, HIPERTENSÃO E CORONARIOPATIA < 50 % | 01 | 3.57 |
| DIABETES, HIPERTENSÃO E CORONARIOPATIA ≥ 50 % | 02 | 7.14 |
| DIABETES, HIPERTENSÃO E OUTRA CARDIOPATIA | 01 | 3.57 |
| DIABETES, CORONARIOPATIA E OUTRA CARDIOPATIA | 01 | 3.57 |
| TOTAL | 28 | 99.98 |

Tabela 27 :- Associação entre arteriolopatia hialina e patologias prevalentes associadas ao diabetes.

Tabela 28 - INDIVÍDUOS PORTADORES DE ARTERIOPATIA HIALINA DA CAMADA MÉDIA

Legenda:-

- X - não conhecido ou exame não realizado
- SPP - sem possibilidade de previsão
- I.A.G. - intolerância a glicose

| NOME | SEXO | IDADE | CLASS DIAB | QUADRO CLÍNICO | TEMPO DOENÇA | PATOLOGIAS ASSOCIADAS | GRAU CONT |
|--------|------|-------|---------------|-------------------------------|-----------------|------------------------------|--------------|
| CJ 4 | F | 72 | II | ASSINTOMÁTICO | 0 | | MAU |
| MCR 6 | F | 84 | II | ASSINTOMÁTICO | 5 A | | MAU |
| MSV 9 | F | 29 | I | ASSINTOMÁTICO | 0 | | MAU |
| MJA 10 | F | 73 | II | PRECORDIALGIA INS.CARDÍACA | 2 A | CARDIOPATIA ISQUEMICA/IM | MAU |
| ARO 16 | F | 65 | I.A.G. | I.C.D. | SPP | CORPULMONALE | BOM |
| RB 17 | M | 86 | II | I.C.E | 2 A | | BOM |
| JMC 18 | F | 68 | II | PRECORDIALGIA | 14 A | | BOM |
| BP 22 | M | 79 | I.A.G. | I.C.C. BIVEN- TRICULAR | SPP | CARDIO ISQ. | BOM |
| DPS 23 | M | 77 | II | PRECORDIALGIA | 3 M | CARDIO ISQ. HIPERT.ART. | MAU |
| FMR 24 | F | 73 | II | ASSINTOMÁTICO | 0 | HIPERT. ART. C. CHAGASICA | BOM |
| AM 26 | F | 82 | II | I.C.C. BIVEN- TRICULAR | 4 A | HIPERT. ART. CARDIO ISQ. | BOM |
| JPF 29 | M | 73 | I.A.G. | ASSINTOMÁTICO | SPP | CARDIO ISQ. | BOM |
| JSF 40 | M | 53 | II | ASSINTOMÁTICO | 0 | | MAU |
| JCM 49 | M | 54 | II | ASSINTOMÁTICO | 2 A | | MAU |

Tabela 28'' - INDIVÍDUOS PORTADORES DE ARTERIOPATIA HIALINA DA CAMADA MÉDIA

Legenda:-

- NL - normal
- S.V.E. - sobrecarga ventricular esquerda
- S.V.D. - sobrecarga ventricular direita
- D.S.R.V. - distúrbio secundário de repolarização ventricular
- PERDA POT. - perda de potencial
- B.R.D. - bloqueio de ramo direito

| NOME | ECG | PESO CO-RAÇÃO (g) | MACRO | CORONÁRIAS |
|--------|-------------------------------------|-------------------|---|------------|
| CJ 4 | NL | 200 | NL | 0 % |
| MCR 6 | NL | 200 | NL | 0 % |
| MSV 9 | NL | 245 | NL | 0 % |
| MJA 10 | SVE, INFRADESNIVELAMENTO DE S-T | 410 | NECROSE EXT FIBROSE EXT | 80 % |
| ARO 16 | SVD DSRV | 260 | DILATAÇÃO DE VENT. DIR. | 0 % |
| RB 17 | PERDA POT. ANTERIOR DSRV | 350 | HIPERTROFIA E DILATAÇÃO VE | 0 % |
| JMC 18 | PERDA POT. ANTERIOR DSRV | 390 | HIPERTROFIA DE VE E SEPTO | 0 % |
| BP 22 | PERDA POT. ANTERIOR E SEPTAL/SVE | 450 | HIPERTROFIA E DILATAÇÃO DE VE e VD, FIBROSE SEPTAL | 50 % |
| DPS 23 | SVE DSRV | 300 | HIPERTROFIA VE | 70 % |
| FMR 24 | BRD | 300 | HIPERTROFIA VE | 0 % |
| AM 26 | BRD | 350 | DILATAÇÃO VE | 40 % |
| JPF 29 | NL | 275 | NL | 50 % |
| JSF 40 | NL | 250 | NL | 0 % |
| JCM 49 | NL | 175 | NL | 0 % |

Tabela 28'' - INDIVÍDUOS PORTADORES DE ARTERIOPATIA HIALINA DA CAMADA MÉDIA

Legenda para microscopia:-

| | | | |
|-----|-----------------------------|-----|-----------------------------|
| HI | - hipertrofia | NFD | - necrose focal disseminada |
| FI | - fibrose intersticial | FE | - fibrose extensa |
| FPV | - fibrose perivasicular | NE | - necrose extensa |
| FFD | - fibrose focal disseminada | AH | - arteriopatia hialina |

| NOME | RX | NEFROPATIA DIABÉTICA | MICRO | OBSERVAÇÕES |
|--------|----------|----------------------|------------------------------------|---------------------------|
| CJ 4 | X | + | HI - FI - FPV - AH | |
| MCR 6 | ↑ VE+ | + | HI - FI - FPV - NFD - HA | |
| MSV 9 | X | + | HI - FI - AH | MICROANEURISMAS CEREBRAIS |
| MJA 10 | ↑ VE+ | + | HI - FI - FFD - NFD - FE - NE - AH | |
| ARO 16 | ↑ VD+ | + | HI - AH | |
| RB 17 | ↑ VE++ | + | HI - FI - FPV - FFD - AH | |
| JMC 18 | ↑ VE+ | + | HI - FI - FPV - FFD - AH | |
| BP 22 | ↑ VE+VD+ | + | HI - FPV - AH | ART. CEREBRAL |
| DPS 23 | ↑ VE+ | + | HI - FI - FPV - FFD - AH | |
| FMR 24 | NL | + | HI - FI - FFD - AH | |
| AM 26 | ↑ VE+ | GNKW | HI - FI - FFD - AH | |
| JPF 29 | NL | + | FI - FPV - AH | |
| JSF 40 | NL | + | HI - FPV - NPD - AH | |
| JCM 49 | X | + | FI - FPV - AH - HIAL PERIVASC | |

Tabela 28 - INDIVÍDUOS PORTADORES DE ARTERIOPATIA HIALINA DA CAMADA MÉDIA

Legenda:-

- X - não conhecido ou exame não realizado
- SPP - sem possibilidade de previsão
- I.A.G. - intolerância à glicose

| NOME | SEXO | IDADE | CLASS DIAB | QUADRO CLÍNICO | TEMPO DOENÇA | PATOLOGIAS ASSOCIADAS | GRAU CONT |
|----------|------|-------|---------------|--|-----------------|---------------------------------------|--------------|
| APR 50 | M | 72 | II | ASSINTOMÁTICO | 4 A | HIPERT. ARTERIAL CARDIO. ISQUEMICA | MAU |
| LLS 51 | F | 56 | I.A.G. | PRECORDIALGIA I.C.C. BIVEN- TRICULAR | SPP | CARDIO. ISQUEMICA | BOM |
| AFF 54 | M | 69 | II | I.C.C. BIVEN- TRICULAR | 0 | HIPERT. ARTERIAL CARDIO. ISQUEMICA | MAU |
| AC 75 | M | 73 | II | ASSINTOMÁTICO | 8 A | CARDIO. ISQUEMICA | SATISF |
| EPG 76 | M | 75 | II | PRECORDIALGIA | 0 | CARDIO. ISQUEMICA | MAU |
| CD 79 | M | 68 | II | PRECORDIALGIA | 0 | — | BOM |
| ABS 83 | M | 78 | II | I.C.C. BIVEN- TRICULAR | 0 | CARDIO. ISQUEMICA | MAU |
| BMC 88 | F | 87 | I.A.G. | ASSINTOMÁTICO | SPP | — | BOM |
| ECB 92 | F | 69 | II | I.C.C. BIVEN- TRICULAR | 4 A | MIOCARDIOESCLE- ROSE | MAU |
| JBM 104 | M | 76 | II | PRECORDIALGIA | 20 A | CARDIO. ISQUEMICA | BOM |
| MJSA 106 | F | 56 | II | ASSISTOMÁTICO | 6 A | — | MAU |
| FSM 123 | F | 63 | II | PRECORDIALGIA | 8 A | HIPERTENSÃO ARTERIAL | MAU |
| CA 129 | F | 70 | II | ASSINTOMÁTICO | 5 A | HIPERTENSÃO ARTERIAL | BOM |
| LRP 131 | F | 67 | II | ASSINTOMÁTICO | 0 | HIPERTENSÃO ARTERIAL | MAU |

Tabela 28' - INDIVÍDUOS PORTADORES DE ARTERIOPATIA HIALINA DA CAMADA MÉDIA

| NOME | ECG | PESO CO-RAÇÃO (g) | MACRO | CORONÁ-RIAS |
|----------|--------------------------|-------------------|---|-------------|
| APR 50 | PERDA POTENCIAL ANTERIOR | 250 | HIPERTROFIA VE. FIBROSE EXT VE. | 100% |
| LLS 51 | PERDA POTENCIAL DSRV. | 380 | FIBROSE EXT DE V.D. | 100% |
| AFF 54 | FIBRILAÇÃO ATRIAL AGUDA | 390 | DILATAÇÃO VE. | 70 % |
| AC 75 | S.V.E. DSRV. | 370 | HIPERTROFIA VE. | 80 % |
| EPG 76 | BRD. | 300 | FIBROSE DE VE. e SEPTO | 100% |
| CD 79 | S.V.E. S.V.D DSRV. | 410 | DILATAÇÃO DE V.D.++ e V.E.++ | 0 % |
| ABS 83 | DSRV. | 300 | HIPERTROFIA DE V.E. e V.D. | 80 % |
| BMC 88 | S.V.E. DSVR. | 210 | HIPERTROFIA V.E. e V.D., FIBROSE LESÃO APICAL NÃO CHAGASICA | 0 % |
| ECB 92 | X | 400 | DILATAÇÃO DE VE. E V.D. | 0 % |
| JBM 104 | BRD. | 375 | DILATAÇÃO VE. | 50 % |
| MJSA 106 | NL | 275 | NL. | 0 % |
| FSM 123 | TAQUI. SUPRA. | 250 | NL. | 0 % |
| CA 129 | DSRV. | 270 | NL. | 30 % |
| LRP 131 | BRD. | 360 | HIPERTROFIA VE. | 30% |

Tabela 28'' - INDIVÍDUOS PORTADORES DE ARTERIOPATIA HIALINA DA CAMADA MÉDIA

Legenda para microscopia:-

| | | | |
|-----|-----------------------------|-----|-----------------------------|
| HI | - hipertrofia | NFD | - necrose focal disseminada |
| FI | - fibrose intersticial | FE | - fibrose extensa |
| FPV | - fibrose perivasicular | NE | - necrose extensa |
| FFD | - fibrose focal disseminada | AH | - arteriopatia hialina |

| NOME | RX | NEFROPATIA DIABÉTICA | MICRO | OBSERVAÇÕES |
|----------|------------------|----------------------|--|----------------------------|
| APR 50 | NL | + | HI - FI - FE - FFD - HA | |
| LLS 51 | ↑ VD++ | + | HI - FI - FPV - FFD - FE - NE - AH | |
| AFF 54 | ↑ VE e VD++ | + | HI - FI - AH - HIALINO SE INTERSTICIAL | MICROANEURISMA CEREBRAL |
| AC 75 | X | + | HI - AH | |
| EPG 76 | NL | + | HI - FFV - FFD - FE - AH | |
| CD 79 | ↑ VE++ e VD++ | + | HI - FFD - NFD - AH | |
| ABS 83 | NL | + | HI - FPV - FFD | |
| BMC 88 | NL | + | HI - FI - FE - AH | LESÃO APICAL NÃO CHAGASICA |
| ECB 92 | X | + | HI - FPV - FI - AH | MIOCARDIOESCLEROSE |
| JBM 104 | ↑ VE+ | + | HI - FI - FPV - FFD - NFD - AH | |
| MJSA 106 | NL | + | FI - AH | |
| FSM 123 | NL | + | HI - FPV - FFD - AH | |
| CA 129 | NL | + | FI - FPV - AH | |
| LRP 131 | NL | + | FI - FPV - FFD - NFD - AH | |

Tabela 29 : - INDIVÍDUOS PORTADORES DE DIABETES MELLITUS PURO

| NOME | SEXO | IDADE | CLASS DIAB | QUADRO CLÍNICO | TEMPO DOENÇA | PATOLOGIAS ASSOCIADAS | GRAU CONT |
|--------|------|-------|---------------|---|-------------------|--|--------------|
| OAS 1 | F | 16 | I | TAQUICARDIA SINUSAL | 2 | NÃO | MAU |
| CMJ 4 | F | 75 | II | NÃO | 0 (INTERNAÇÃO) | NÃO | MAU |
| JDS 5 | M | 53 | II | PRECODIALGIA ICC BIVENTRI- CULAR | 2 | NÃO | SAT |
| MCR 6 | F | 86 | II | TAQUICARDIA SINUSAL | 5 | NÃO | MAU |
| MSV 9 | F | 29 | II | NÃO | 0 (INTERNAÇÃO) | AVCI:- ARTERITE E TROMBOSE BASI- LAR | MAU |
| RB 17 | M | 86 | II | NÃO | 2 | NÃO | MAU |
| JMC 18 | F | 68 | INTOL | PRECORDIALGIA ICC, EXTRA- SISTOLES | NÃO PRE- VISÃO | NÃO | BOM |
| PJS 19 | M | 76 | INTOL | NÃO | NÃO PRE- VISÃO | NÃO | BOM |
| JSF 40 | F | 53 | II | NÃO | 14 | NÃO | MAU |
| AP 45 | M | 77 | II | NÃO | 0 (INTERNAÇÃO) | NÃO | MAU |
| JCM 49 | M | 55 | II | NÃO | 2 | NÃO | MAU |
| BO 64 | M | 74 | INTOL | TAQUICARDIA PRECORDIALGIA ICC, EXTRA- SISTOLES | NÃO PRE- VISÃO | NÃO | BOM |
| ASM 65 | M | 34 | I | NÃO | 3 | NÃO | MAU |
| MGN 66 | F | 52 | INTOL | NÃO | SEM PRE- VISÃO | NÃO | BOM |

Tabela 29' :- INDIVÍDUOS PORTADORES DE DIABETES MELLITUS PURO

| NOME | ECG | PESO CO-RAÇÃO (g) | MACRO | CORONA-RIAS |
|-----------|---|-------------------|--|-------------|
| OAS 1 | TAQUI-SINUSAL | 225 | NL | NL |
| CMJR 6 | NL | 220 | NL | NL |
| JDS 9 | DIST. 2º REP. S.V.E. | 600 | ↑ TODAS AS CÂMARAS POR DI-LATAÇÃO | NL |
| MCR 1 | TAQUICARDIA SIN. DIST. 2º DE REPOL | 245 | PONTOS HEMORRAGICOS EM VE. | NL |
| MSV 9 | NL | 245 | NL | NL |
| RB 17 | PERDA DE POT. DE V1 A V3 | 350 | HIPERTROFIA DE VE. C/CARDIO-MEGALIA ++ | NL |
| JMC 18 | PERDA POTENCIAL V2 A V4 | 390 | HIPERTROFIA C/ ACENTUAÇÃO NA VIA SAÍDA E SEPTO | NL |
| PJS 19 | NÃO TEM | 250 | HIPERTROFIA DE VE. | LIPOI-DOSE |
| JSF 40 | NL | 250 | NL | NL |
| AP 45 | DISTURBIO 2º DE REPOL. VENTRIC | 270 | NL | NL |
| JCM 49 | NL | 175 | NL | NL |
| BO 64 | TAQUI-SUPRAV. PERDA POT D2,D3,AVF, V1, V2, V3 S.V.E. | 620 | TROMBO EM VD. DILATAÇÃO VD., FIBROSE ANTERO LATERAL VE. LESÃO APICAL NÃO CHAGASICA | NL |
| ASM 65 | NL | 225 | NL | NL |
| MGN 66 | S.V.E. ALT 2º REP. VENTRIC. | 270 | HIPERTROFIA DE VE. | NL |

Tabela 29'': - INDIVÍDUOS PORTADORES DE DIABETES MELLITUS PURO
Legenda para microscopia:-

| | |
|-----------------------------|-----------------------------|
| HI - hipertrofia | NFD - necrose focal diss. |
| FI - fibrose intersticial | FE - fibrose extensa |
| FPV - fibrose perivasicular | NE - necrose extensa |
| FFD - fibrose focal diss. | AH - arteriolopatia hialina |

| NOME | RX | NEFROPATIA DIABÉTICA | MICRO | OBSERVAÇÕES |
|--------|--|----------------------|--|--------------------------------|
| OAS 1 | NL | NL | NL | |
| CMJ 4 | NÃO TEM | + | HI - FI - FPV - AH | MICROANG. CORON. PAS+ |
| JDS 5 | NÃO TEM | + | HI - FPV - FFD | |
| MCR 6 | ↑+VE. | + | HI - FI - FPV - AH - (PAS+) | MICROANG. CORON. PAS+ |
| MSV 9 | NL | + | HI - FI - HIPERPLASIA DA INTIMA - HA | |
| RB 17 | ↑++VE. | + | HI-FI-FPV-AH(PAS) HALINOSE INTERSTICIAL E PERIVASC. | MICROANG. CORON. PAS+ |
| JMC 18 | ↑+VE. | + | HI - FI - FPV - FFD AH | MICROANGIOP. CORON. PAS+ |
| PJS 19 | NÃO TEM | + | NL | |
| JSF 40 | NL | + | HI - FPV - NFD - HA | MICROANGIOP. COR. PAS+ |
| AP 45 | NL | + | HI | RAIO X NL/PNEUMOTÓRAX |
| JCM 49 | NÃO | + | FI - FPV - AH | MICROANGIOPATIA CORON. PAS+ |
| BO 64 | ↑VE+ VD+++ PNEU- MOTÓ- RAX | + | FI - FPV - FIBROSE EXTENSA | |
| ASM 65 | NL | + | NL | |
| MGN 66 | NL | + | FI - FPV | |

Tabela 29 : - INDIVÍDUOS PORTADORES DE DIABETES MELLITUS PURO

| NOME | SEXO | IDADE | CLASS DIAB | QUADRO CLÍNICO | TEMPO DOENÇA | PATOLOGIAS ASSOCIADAS | GRAU CONT |
|-------------|------|-------|---------------|---|--------------------|--------------------------|--------------|
| ARM 67 | M | 40 | II | NÃO | 0 (INTER NAÇÃO) | NÃO | MAU |
| CD 79 | M | 68 | II | PRECORDIALGIA ICC, TAQUICAR DIA SINUSAL | DESCO NHECIDO | NÃO | BOM |
| JC 84 | F | 74 | II | PRECODIALGIA ICC, TAQUICAR DIA, EXTRAS- SISTOLIA | 7 | NÃO | MAU |
| BCM 88 | F | 87 | INTOL. | NÃO | SEM PRE VISÃO | NÃO | BOM |
| CN 90 | M | 40 | II | NÃO | DESCO NECIDO | NÃO | MAU |
| ECB 92 | F | 69 | 4 | ICC, EXTRA- SISTOLES | 4 | EMBOLIA PULMONAR | MAU |
| RB 93 | F | 78 | INTOL. | NÃO | SEM PRE VISÃO | NÃO | BOM |
| MGR 94 | F | 38 | I | NÃO | 13 | NÃO | MAU |
| APM 96 | F | 52 | II | NÃO | DESCO NHECIDO | NÃO | MAU |
| AFV 97 | M | 42 | II | NÃO | 0 | NÃO | SATISF. |
| LCS 98 | F | 60 | INTOL. | PRECORDIALGIA | SEM PRE VISÃO | NÃO | BOM |
| JMF 101 | M | 48 | INTOL. | NÃO | SEM PRE VISÃO | NÃO | BOM |
| RMS 103 | M | 72 | II | NÃO | DESCO NHECIDO | NÃO | BOM |
| MJSA 106 | F | 56 | II | NÃO | 6 | NÃO | MAU |

Tabela 29' :- INDIVÍDUOS PORTADORES DE DIABETES MELLITUS PURO

| NOME | ECG | PESO CO- RAÇÃO (g) | MACRO | CORONA- RIAS |
|-------------|--------------------------------|-----------------------|---|-----------------|
| ARM 67 | ALT. 2º DA REPOL. VENTRIC. | 300 | HIPERTROFIA DE VE ++ | LIPOI DOSE |
| CD 79 | ALT 2º DA REPOL. VENTRIC. | 410 | DILATAÇÃO GLOBAL DO CORA- ÇÃO ++ | NL |
| JC 84 | TAQUIC SINUSAL ES VENT | 250 | NL | LIPOI DOSE |
| BCM 88 | S.V.E. | 270 | DILATAÇÃO VE., FIBROSE LATE- RAL ALTA DE VE. | NL |
| CN 90 | NÃO TEM | 300 | NL | NL |
| ECB 92 | NÃO TEM | 400 | DILATAÇÃO GLOBAL DO CORAÇÃO ++ | NL |
| RB 93 | BDRD, ALT 2º REPOL VENTRIC. | 170 | NL | NL |
| MGR 94 | PERDA POT DE R A V4 | 320 | NL | NL |
| APM 96 | NÃO TEM | 270 | NL | NL |
| AFV 97 | NÃO TEM | 250 | NL | NL |
| LCS 98 | ES SUPRA VENTRIC. ISOLADAS | 280 | NL | NL |
| JMF 101 | NL | 240 | NL | NL |
| RMS 103 | NÃO TEM | 320 | NL | LIPOI DOSE |
| MJSA 106 | NL | 275 | NL | LIPOI DOSE |

Tabela 29'': - INDIVÍDUOS PORTADORES DE DIABETES MELLITUS PURO

Legenda para microscopia:-

| | |
|-----------------------------|-----------------------------|
| HI - hipertrofia | NFD - necrose focal diss. |
| FI - fibrose intersticial | FE - fibrose extensa |
| FPV - fibrose perivasicular | NE - necrose extensa |
| FFD - fibrose focal diss. | AH - arteriolopatia hialina |

| NOME | RX | NEFROPATIA DIABÉTICA | MICRO | OBSERVAÇÕES |
|-------------|----------------|----------------------|---|--|
| ARM 67 | ↑VE,++ | + | NL | |
| CD 79 | ↑VE e VD,++ | + | FI - FPV - FFD - NFD AH PERICARDITE FIBRINOIDE | ATERIOLOPATIA EM BIOPSIA DE PELE |
| JC 84 | ↑VE,+ | + | NL | |
| BCM 88 | NL | + | HI - FI - FPV - FE AH | ARTERIOLOPATIA, ESPESSAMENTO HIALINO ARTERIOLAR COM REDUÇÃO DA LUZ |
| CN 90 | NÃO TEM | + | HI - FI - FPV | |
| ECB 92 | NÃO TEM | + | HI - FI - FPV - HA | ARTERIOLOPATIA PAS + EM PELE |
| RB 93 | NL | + | FI - FPV | |
| MGR 94 | NL | + | FPV - NFD | MAL PERFORANTE PLANTAR |
| APM 96 | NL | + | NL | |
| AFV 97 | NL | + | NL | |
| LCS 98 | NL | + | FPV - FFD | |
| JMF 101 | NL | + | NL | |
| RMS 103 | ↑VE,+ | + | FI - FPV | |
| MJSA 106 | NL | + | FI - FPV - AH | MICROANGIOPATIA |

Tabela 29 :-- INDIVÍDUOS PORTADORES DE DIABETES MELLITUS PURO

| NOME | SEXO | IDADE | CLASS DIAB | QUADRO CLÍNICO | TEMPO DOENÇA | PATOLOGIAS ASSOCIADAS | GRAU CONT |
|------------|------|-------|---------------|-------------------|--------------------|----------------------------|--------------|
| BO 107 | F | 65 | II | NÃO | 0 (INTER NAÇÃO) | NÃO | BOM |
| VLS 111 | F | 25 | I | NÃO | 5 | ABCESSO NO MIO- -CÁRDIO | RUIM |
| MBF 115 | M | 41 | II | NÃO | 1 | NÃO | RUIM |
| SMA 127 | F | 72 | II | NÃO | 0 (INTER NAÇÃO) | NÃO | BOM |
| WNT 137 | M | 53 | II | NÃO | 11 | NÃO | MAU |

Tabela 29' :- INDIVÍDUOS PORTADORES DE DIABETES MELLITUS PURO

| NOME | ECG | PESO CO- RAÇÃO (g) | MACRO | CORONÁ- RIAS |
|------------|------------------------|-----------------------|---|-----------------|
| BO 107 | NL | 240 | NL | NL |
| VLS 111 | NÃO TEM | 230 | NL | NL |
| MBF 115 | TAQUICARDIA SINUSAL | 280 | NL | NL |
| SMA 127 | BRD. | 260 | ESPESSAMENTO E LIPOIDOSE DAS LACÍNIAS VALVARES | NL |
| WNT 137 | BAV. 1º GRAU S.V.E. | 280 | HIPERTROFIA VE. | LIPOI- DOSE |

Tabela 29'': - INDIVÍDUOS PORTADORES DE DIABETES MELLITUS PURO

Legenda para microscopia:-

| | |
|-----------------------------|-----------------------------|
| HI - hipertrofia | NFD - necrose focal diss. |
| FI - fibrose intersticial | FE - fibrose extensa |
| FPV - fibrose perivasicular | NE - necrose extensa |
| FFD - fibrose focal diss. | AH - arteriolopatia hialina |

| NOME | RX | NEFROPATIA DIABÉTICA | MICRO | OBSERVAÇÕES |
|------------|------|----------------------|--------------------------------------|-------------|
| BO 107 | NL | + | FPV - FFD | |
| VLS 111 | NL | + | NECROSE E ABCEDAÇÃO DE PAPILA, FE | |
| MBF 115 | NL | + | NL | |
| SMA 127 | NL | + | NL | |
| WNT 137 | ↑VE+ | NL | FPV - FFD - NFD | |

**APÊNDICE: - CARACTERÍSTICAS INDIVIDUAIS
(Nº da observação necroscópica)**

Sexo:

| | | | | | | | | | | |
|------|-----|-----|-----|-----|-----|-----|-----|-----|-----|-----|
| FEM: | 001 | 002 | 004 | 006 | 009 | 010 | 011 | 012 | 013 | 014 |
| | 015 | 016 | 018 | 020 | 024 | 025 | 026 | 030 | 033 | 035 |
| | 036 | 037 | 038 | 041 | 042 | 044 | 046 | 051 | 053 | 059 |
| | 060 | 061 | 066 | 068 | 069 | 070 | 071 | 073 | 077 | 078 |
| | 080 | 081 | 082 | 084 | 086 | 087 | 088 | 089 | 092 | 093 |
| | 094 | 096 | 098 | 104 | 106 | 107 | 108 | 111 | 112 | 113 |
| | 116 | 117 | 118 | 120 | 121 | 122 | 123 | 126 | 127 | 129 |
| | 130 | 131 | 132 | 133 | 135 | | | | | |

| | | | | | | | | | | |
|------|-----|-----|-----|-----|-----|-----|-----|-----|-----|-----|
| MAS: | 003 | 005 | 007 | 008 | 017 | 019 | 021 | 022 | 023 | 027 |
| | 028 | 029 | 031 | 032 | 034 | 039 | 040 | 043 | 045 | 047 |
| | 048 | 049 | 050 | 052 | 054 | 055 | 056 | 057 | 058 | 062 |
| | 063 | 064 | 065 | 067 | 072 | 074 | 075 | 076 | 079 | 083 |
| | 085 | 090 | 091 | 095 | 097 | 099 | 100 | 101 | 102 | 103 |
| | 105 | 109 | 110 | 114 | 115 | 119 | 124 | 128 | 134 | 136 |
| | 137 | | 125 | | | | | | | |

Idade:

| | | | | | | | | | | |
|----------|-----|-----|-----|-----|-----|-----|-----|-----|-----|-----|
| 00 — 10 | H | | | | | | | | | |
| 10 — 20 | 001 | | | | | | | | | |
| 20 — 30 | 009 | 095 | 111 | | | | | | | |
| 30 — 40 | 065 | 067 | 074 | 090 | 094 | | | | | |
| 40 — 50 | 032 | 035 | 036 | 038 | 056 | 057 | 071 | 097 | 101 | 115 |
| 50 — 60 | 005 | 007 | 008 | 014 | 033 | 040 | 041 | 043 | 049 | 050 |
| | 051 | 052 | 053 | 055 | 066 | 073 | 085 | 091 | 096 | 098 |
| | 099 | 100 | 105 | 106 | 108 | 121 | 122 | 126 | 133 | 136 |
| | 137 | | | | | | | | | |
| 60 — 70 | 002 | 003 | 013 | 016 | 018 | 021 | 025 | 027 | 034 | 037 |
| | 039 | 042 | 046 | 048 | 054 | 059 | 062 | 063 | 069 | 072 |
| | 075 | 078 | 079 | 080 | 081 | 092 | 107 | 109 | 112 | 113 |
| | 116 | 120 | 123 | 124 | 125 | 128 | 129 | 131 | 134 | 135 |

Tempo de Doença Diagnosticada:

SEM PREVISÃO: - (INTOLERÂNCIA À GLICOSE)

| | | | | | | | | | |
|-----|-----|-----|-----|-----|-----|-----|-----|-----|-----|
| 013 | 016 | 018 | 019 | 020 | 022 | 027 | 028 | 029 | 038 |
| 039 | 042 | 043 | 044 | 048 | 051 | 055 | 056 | 058 | 062 |
| 063 | 064 | 066 | 071 | 072 | 074 | 088 | 093 | 098 | 099 |
| 100 | 101 | 107 | 112 | 114 | 117 | 118 | 119 | 121 | 131 |
| 136 | | | | | | | | | |

00 ———| 03 ANOS:

| | | | | | | | | | |
|-----|-----|-----|-----|-----|-----|-----|-----|-----|-----|
| 001 | 004 | 005 | 009 | 010 | 017 | 023 | 031 | 034 | 035 |
| 036 | 037 | 041 | 045 | 049 | 052 | 052 | 060 | 065 | 067 |
| 073 | 076 | 080 | 083 | 086 | 089 | 091 | 097 | 110 | 113 |
| 115 | 120 | 125 | 127 | 128 | 134 | 135 | | | |

03 ———| 06 ANOS:

| | | | | | | | | | |
|-----|-----|-----|-----|-----|-----|-----|-----|-----|-----|
| 002 | 006 | 025 | 026 | 057 | 059 | 069 | 081 | 092 | 105 |
| 106 | 108 | 111 | 116 | 126 | 129 | 132 | | | |

06 ———| 09 ANOS:

| | | | | | | | | |
|-----|-----|-----|-----|-----|-----|-----|-----|-----|
| 014 | 015 | 045 | 050 | 075 | 084 | 095 | 123 | 133 |
|-----|-----|-----|-----|-----|-----|-----|-----|-----|

12 ———| 15 ANOS:

| | |
|-----|-----|
| 040 | 094 |
|-----|-----|

15 ———| 18 ANOS:

| | |
|-----|-----|
| 032 | 108 |
|-----|-----|

18 ———| 21 ANOS:

| |
|-----|
| 104 |
|-----|

> 21 ANOS:

| | | | |
|-----|-----|-----|-----|
| 077 | 078 | 109 | 124 |
|-----|-----|-----|-----|

DESCONHECIDO:

| | | | | | | | | | |
|-----|-----|-----|-----|-----|-----|-----|-----|-----|-----|
| 007 | 021 | 030 | 033 | 046 | 053 | 061 | 079 | 090 | 096 |
| 103 | 122 | 130 | | | | | | | |

Classificação:

DIABETES MELLITUS TIPO I :

001 065 094 095 111

DIABETES MELLITUS TIPO II :

| | | | | | | | | | |
|-----|-----|-----|-----|-----|-----|-----|-----|-----|-----|
| 002 | 003 | 004 | 005 | 006 | 007 | 009 | 010 | 011 | 012 |
| 014 | 015 | 017 | 021 | 023 | 024 | 025 | 026 | 030 | 031 |
| 032 | 033 | 034 | 035 | 036 | 037 | 040 | 041 | 045 | 046 |
| 047 | 049 | 050 | 052 | 053 | 054 | 057 | 059 | 060 | 061 |
| 067 | 068 | 069 | 070 | 073 | 075 | 076 | 077 | 078 | 079 |
| 080 | 081 | 082 | 083 | 084 | 085 | 086 | 087 | 089 | 090 |
| 091 | 092 | 096 | 097 | 102 | 103 | 104 | 105 | 106 | 108 |
| 109 | 110 | 113 | 115 | 116 | 120 | 122 | 123 | 124 | 125 |
| 126 | 127 | 128 | 129 | 130 | 132 | 133 | 134 | 135 | 137 |

INTOLERÂNCIA A GLICOSE :

| | | | | | | | | | |
|-----|-----|-----|-----|-----|-----|-----|-----|-----|-----|
| 013 | 016 | 018 | 019 | 020 | 022 | 027 | 028 | 029 | 038 |
| 039 | 042 | 043 | 044 | 048 | 051 | 055 | 056 | 058 | 062 |
| 063 | 064 | 066 | 071 | 072 | 074 | 088 | 093 | 098 | 099 |
| 100 | 101 | 107 | 112 | 114 | 117 | 118 | 119 | 121 | 131 |
| 136 | | | | | | | | | |

D.M. OUTROS TIPOS: - PANCREÁTICO

008

Grau de Controle Glicêmico:

BOM:

| | | | | | | | | | |
|-----|-----|-----|-----|-----|-----|-----|-----|-----|-----|
| 013 | 021 | 024 | 025 | 026 | 035 | 037 | 047 | 052 | 104 |
| 105 | 108 | 127 | 129 | | | | | | |
| 016 | 018 | 019 | 020 | 022 | 027 | 028 | 029 | 036 | 038 |
| 039 | 042 | 043 | 044 | 048 | 051 | 055 | 056 | 058 | 062 |
| 063 | 064 | 066 | 071 | 072 | 074 | 088 | 093 | 098 | 099 |
| 100 | 101 | 103 | 107 | 112 | 114 | 118 | 119 | 121 | 131 |
| 136 | | | | | | | | | |

SATISFATÓRIO:

| | | | | | | | | | |
|-----|-----|-----|-----|-----|-----|-----|-----|-----|-----|
| 003 | 005 | 012 | 033 | 075 | 078 | 083 | 086 | 087 | 097 |
| 124 | | | | | | | | | |

MAU:

| | | | | | | | | | |
|-----|-----|-----|-----|-----|-----|-----|-----|-----|-----|
| 001 | 002 | 004 | 006 | 008 | 009 | 011 | 014 | 015 | 017 |
| 023 | 030 | 031 | 032 | 034 | 040 | 041 | 045 | 049 | 050 |
| 054 | 057 | 059 | 060 | 061 | 065 | 067 | 069 | 070 | 073 |
| 076 | 077 | 081 | 084 | 085 | 089 | 090 | 091 | 092 | 094 |
| 095 | 096 | 102 | 106 | 110 | 111 | 113 | 115 | 116 | 120 |
| 122 | 123 | 125 | 126 | 128 | 130 | 132 | 133 | 134 | 135 |
| 137 | | | | | | | | | |

DESCONHECIDO:

| | | | | | | | | |
|-----|-----|-----|-----|-----|-----|-----|-----|-----|
| 007 | 010 | 046 | 053 | 068 | 079 | 080 | 082 | 117 |
|-----|-----|-----|-----|-----|-----|-----|-----|-----|

Sintomas e Sinais:

AUSENTES:-

| | | | | | | | | | |
|-----|-----|-----|-----|-----|-----|-----|-----|-----|-----|
| 004 | 008 | 009 | 016 | 017 | 019 | 024 | 029 | 031 | 034 |
| 036 | 038 | 039 | 040 | 041 | 043 | 045 | 046 | 049 | 050 |
| 052 | 056 | 061 | 062 | 065 | 066 | 067 | 072 | 074 | 075 |
| 077 | 084 | 085 | 086 | 088 | 090 | 091 | 093 | 094 | 095 |
| 096 | 097 | 099 | 100 | 101 | 103 | 106 | 107 | 111 | 114 |
| 115 | 117 | 120 | 122 | 127 | 129 | 131 | 132 | 134 | 135 |
| 136 | 137 | | | | | | | | |

DOR PRECORDIAL:-

| | | | | | | | | | |
|-----|-----|-----|-----|-----|-----|-----|-----|-----|-----|
| 002 | 003 | 005 | 010 | 011 | 015 | 018 | 021 | 023 | 033 |
| 044 | 057 | 058 | 059 | 064 | 073 | 076 | 079 | 084 | 098 |
| 102 | 104 | 108 | 109 | 110 | 112 | 116 | 119 | 123 | 128 |
| 133 | | | | | | | | | |

I.C.C.: -

| | | | | | | | | | |
|-----|-----|-----|-----|-----|-----|-----|-----|-----|-----|
| 002 | 005 | 010 | 011 | 012 | 013 | 015 | 018 | 022 | 032 |
| 032 | 042 | 047 | 048 | 051 | 054 | 059 | 063 | 064 | 070 |
| 073 | 079 | 081 | 082 | 083 | 092 | 113 | | | |

I.C.E.: -

| | | | | |
|-----|-----|-----|-----|-----|
| 026 | 033 | 037 | 087 | 118 |
|-----|-----|-----|-----|-----|

I.C.D.: -

| |
|-----|
| 020 |
|-----|

EXTRA-SISTOLES:-

| | | | | | | | | | |
|-----|-----|-----|-----|-----|-----|-----|-----|-----|-----|
| 007 | 011 | 012 | 014 | 015 | 018 | 021 | 022 | 028 | 035 |
| 037 | 055 | 060 | 064 | 069 | 081 | 084 | 092 | 098 | 105 |
| 130 | | | | | | | | | |

TAQUICARDIA SINUSAL:-

| | | | | | | | | | |
|-----|-----|-----|-----|-----|-----|-----|-----|-----|-----|
| 001 | 006 | 014 | 025 | 027 | 030 | 060 | 064 | 078 | 079 |
| 080 | 084 | 113 | | | | | | | |

FIBRILAÇÃO ATRIAL CRONICA:-

| | | |
|-----|-----|-----|
| 053 | 054 | 082 |
|-----|-----|-----|

FIBRILAÇÃO ATRIAL AGUDA:-

| |
|-----|
| 010 |
|-----|

Eletrocardiograma:

NORMAL:-

| | | | | | | | | | |
|-----|-----|-----|-----|-----|-----|-----|-----|-----|-----|
| 004 | 009 | 029 | 040 | 049 | 065 | 072 | 074 | 099 | 100 |
| 101 | 106 | 107 | | | | | | | |

ALTERAÇÕES DIFUSAS DA REPOLARIZAÇÃO VENTRICULAR:-

| | | | | | | | | | |
|-----|-----|-----|-----|-----|-----|-----|-----|-----|-----|
| 002 | 003 | 005 | 010 | 011 | 014 | 015 | 022 | 024 | 026 |
| 030 | 037 | 041 | 044 | 045 | 047 | 048 | 052 | 054 | 055 |
| 056 | 057 | 060 | 062 | 066 | 067 | 070 | 075 | 079 | 081 |
| 082 | 083 | 093 | 095 | 104 | 113 | 114 | 117 | 119 | 120 |
| 121 | 122 | 123 | 124 | 125 | 129 | 130 | 135 | | |

SOBRECARGA VENTRICULAR ESQUERDA:-

| | | | | | | | | | |
|-----|-----|-----|-----|-----|-----|-----|-----|-----|-----|
| 005 | 006 | 007 | 008 | 010 | 011 | 012 | 013 | 020 | 022 |
| 023 | 028 | 030 | 032 | 035 | 041 | 042 | 044 | 048 | 053 |
| 055 | 057 | 059 | 060 | 063 | 064 | 066 | 067 | 069 | 070 |
| 075 | 082 | 088 | 112 | 113 | 117 | 120 | 124 | 132 | 137 |

EXTRA-SÍSTOLE SUPRAVENTRICULAR:-

| | | | | | | | | | |
|-----|-----|-----|-----|-----|-----|-----|-----|-----|-----|
| 007 | 012 | 014 | 020 | 037 | 044 | 053 | 060 | 061 | 069 |
| 076 | 077 | 078 | 089 | 098 | 112 | 119 | 130 | | |

EXTRA-SÍSTOLE VENTRICULAR:-

| | | | | | | | | | |
|-----|-----|-----|-----|-----|-----|-----|-----|-----|-----|
| 010 | 015 | 021 | 022 | 026 | 028 | 039 | 042 | 044 | 054 |
| 060 | 064 | 081 | 084 | | | | | | |

TAQUICARDIA SINUSAL:-

| | | | | | | | | | |
|-----|-----|-----|-----|-----|-----|-----|-----|-----|--|
| 001 | 006 | 016 | 025 | 027 | 041 | 061 | 071 | 084 | |
|-----|-----|-----|-----|-----|-----|-----|-----|-----|--|

DISTÚRBIO DE CONDUÇÃO:-

| | | | | | | | | | |
|-----|-----|-----|-----|-----|-----|-----|-----|-----|-----|
| 008 | 024 | 026 | 058 | 068 | 076 | 081 | 085 | 091 | 093 |
| 104 | 105 | 114 | 124 | 126 | 127 | 131 | 137 | | |

PERDA DE POTENCIAL:-

| | | | | | | | | | |
|-----|-----|-----|-----|-----|-----|-----|-----|-----|-----|
| 013 | 017 | 018 | 021 | 022 | 027 | 031 | 032 | 050 | 051 |
| 064 | 070 | 073 | 081 | 087 | 094 | 102 | 108 | 109 | 133 |

DESNIVELAMENTO DO SEGMENTO ST :-

| | | | | | | | | | |
|-----|-----|-----|-----|-----|-----|-----|-----|--|--|
| 007 | 010 | 044 | 048 | 050 | 067 | 087 | 088 | | |
| 102 | 104 | 110 | 112 | 114 | 120 | 126 | 129 | | |

FIBRILAÇÃO ATRIAL CRÔNICA:-

| | | | | | | | | | |
|-----|-----|-----|--|--|--|--|--|--|--|
| 013 | 053 | 082 | | | | | | | |
|-----|-----|-----|--|--|--|--|--|--|--|

FIBRILAÇÃO ATRIAL AGUDA:-

| | | | | | | | | | |
|-----|--|--|--|--|--|--|--|--|--|
| 058 | | | | | | | | | |
|-----|--|--|--|--|--|--|--|--|--|

FIBRILÔ-FLUTTER:-

| | | | | | | | | | |
|-----|--|--|--|--|--|--|--|--|--|
| 034 | | | | | | | | | |
|-----|--|--|--|--|--|--|--|--|--|

NÃO POSSUEM ECG:-

| | | | | | | | | | |
|-----|-----|-----|-----|-----|-----|-----|-----|-----|-----|
| 019 | 033 | 036 | 038 | 043 | 046 | 080 | 086 | 090 | 092 |
| 096 | 097 | 103 | 111 | 118 | 136 | | | | |

Raio X:

NORMAL:-

| | | | | | | | | | |
|-----|-----|-----|-----|-----|-----|-----|-----|-----|-----|
| 001 | 007 | 009 | 016 | 025 | 027 | 029 | 030 | 031 | 033 |
| 034 | 037 | 039 | 040 | 042 | 045 | 050 | 057 | 060 | 062 |
| 065 | 066 | 068 | 072 | 074 | 076 | 077 | 078 | 083 | 086 |
| 087 | 088 | 093 | 094 | 095 | 096 | 097 | 098 | 099 | 100 |
| 101 | 105 | 106 | 107 | 108 | 111 | 115 | 117 | 119 | 120 |
| 123 | 125 | 126 | 127 | 129 | 130 | 131 | 133 | 134 | 135 |
| 136 | | | | | | | | | |

↑ VE + :-

| | | | | | | | | | |
|-----|-----|-----|-----|-----|-----|-----|-----|-----|-----|
| 006 | 010 | 014 | 018 | 022 | 023 | 024 | 028 | 035 | 044 |
| 052 | 056 | 058 | 059 | 069 | 079 | 084 | 085 | 102 | 103 |
| 104 | 109 | 113 | 116 | 118 | 132 | 137 | | | |

↑ VE ++ :-

| | | | |
|-----|-----|-----|-----|
| 008 | 017 | 061 | 067 |
|-----|-----|-----|-----|

↑ VD ++ :-

| | |
|-----|-----|
| 013 | 020 |
|-----|-----|

↑ VE e VD + :-

| |
|-----|
| 112 |
|-----|

↑ VE e VD ++ :-

| | | | | | | | | | |
|-----|-----|-----|-----|-----|-----|-----|-----|-----|-----|
| 032 | 051 | 054 | 063 | 064 | 070 | 073 | 075 | 081 | 110 |
| 124 | 126 | | | | | | | | |

NÃO POSSUEM RX :-

| | | | | | | | | | |
|-----|-----|-----|-----|-----|-----|-----|-----|-----|-----|
| 002 | 003 | 004 | 005 | 011 | 012 | 015 | 019 | 021 | 026 |
| 036 | 038 | 041 | 043 | 046 | 047 | 048 | 049 | 055 | 075 |
| 080 | 089 | 090 | 091 | 092 | 114 | 121 | 128 | | |

Patologias Associadas Prevalentes:

LEGENDA:-

HA - HIPERTENSÃO ARTERIAL

CI - CARDIOPATIA ISQUÊMICA

OC - CARDIOPATIA DE OUTRA NATUREZA

HIPERTENSÃO ARTERIAL PURA:-

| | | | | | | | | | |
|-----|-----|-----|-----|-----|-----|-----|-----|-----|-----|
| 007 | 008 | 011 | 014 | 026 | 032 | 034 | 035 | 042 | 052 |
| 055 | 056 | 059 | 062 | 078 | 080 | 082 | 113 | 120 | 121 |
| 123 | 129 | 134 | | | | | | | |

HA + CARDIOPATIA ISQUÊMICA:-

| | | | | | | | | | |
|-----|-----|-----|-----|-----|-----|-----|-----|-----|-----|
| 023 | 030 | 041 | 046 | 050 | 058 | 099 | 109 | 112 | 116 |
| 117 | 124 | 131 | 132 | 136 | | | | | |

HA + CARDIOPATIA DE OUTRA NATUREZA:-

| | | | | | | | | | |
|-----|-----|-----|-----|-----|--|--|--|--|--|
| 020 | 024 | 081 | 089 | 091 | | | | | |
|-----|-----|-----|-----|-----|--|--|--|--|--|

CARDIOPATIA ISQUÊMICA (OBST MAIOR QUE O E ≤ 50)

| | | | | | | | | | |
|-----|-----|-----|-----|-----|-----|-----|-----|-----|-----|
| 022 | 028 | 029 | 043 | 053 | 061 | 071 | 072 | 077 | 104 |
| 119 | | | | | | | | | |

CI 50 —————| 70 :-

| | | | | | | | | | |
|-----|-----|-----|-----|-----|-----|--|--|--|--|
| 022 | 054 | 073 | 086 | 108 | 118 | | | | |
|-----|-----|-----|-----|-----|-----|--|--|--|--|

CI 70 —————| 100 :-

| | | | | | | | | | |
|-----|-----|-----|-----|-----|-----|-----|-----|-----|-----|
| 002 | 003 | 010 | 012 | 015 | 021 | 031 | 037 | 038 | 039 |
| 044 | 047 | 057 | 068 | 069 | 070 | 075 | 076 | 083 | 085 |
| 100 | 102 | 105 | 110 | 128 | 130 | 133 | | | |

CI + OC :-

| | | | | | | | | | |
|-----|-----|-----|-----|-----|-----|--|--|--|--|
| 028 | 043 | 051 | 071 | 087 | 126 | | | | |
|-----|-----|-----|-----|-----|-----|--|--|--|--|

CARDIOPATIAS DE OUTRA NATUREZA :-

| | | | | | | | | | |
|-----|-----|-----|-----|-----|-----|-----|-----|-----|----|
| 013 | 016 | 025 | 027 | 033 | 036 | 048 | 053 | 063 | 74 |
| 095 | 114 | 122 | 125 | 135 | | | | | |

Peso do Coração (gramas) :

LEGENDA

DD - DIABETES PURO
 HA - HIPERTENSÃO ARTERIAL
 CI - CARDIOPATIA ISQUEMICA
 OC - CARDIOPATIA DE OUTRA NATUREZA
 F - FEMININO
 M - MASCULINO

| | | | | | | | | | |
|------------------|-----|-----|-------|------|-----|-----|-------|------|-----|
| 001 - 225 DD | - F | 047 | - 390 | CI | - M | 093 | - 170 | DD | - F |
| 002 - 330 CI | - F | 048 | - 500 | OC | - M | 094 | - 320 | DD | - F |
| 003 - 330 CI | - M | 049 | - 175 | DD | - M | 095 | - 230 | OC | - M |
| 004 - 200 DD | - F | 050 | - 250 | CIHA | - F | 096 | - 270 | DD | - F |
| 005 - 600 DD | - M | 051 | - 380 | CIOC | - F | 097 | - 250 | DD | - M |
| 006 - 245 DD | - F | 052 | - 460 | HA | - M | 098 | - 280 | DD | - F |
| 007 - 355 HA | - M | 053 | - 280 | OC | - F | 099 | - 250 | CIHA | - M |
| 008 - 280 HA | - M | 054 | - 390 | CI | - M | 100 | - 250 | CI | - M |
| 009 - 245 DD | - F | 055 | - 350 | HA | - M | 101 | - 240 | DD | - M |
| 010 - 410 CI | - F | 056 | - 390 | HA | - M | 102 | - 300 | CI | - M |
| 011 - 370 HA | - F | 057 | - 240 | CI | - M | 103 | - 375 | DD | - M |
| 012 - 390 CI | - F | 058 | - 350 | CIHA | - M | 104 | - 375 | CI | - F |
| 360 - 360 OC | - F | 059 | - 380 | HA | - F | 105 | - 300 | CI | - M |
| 014 - 270 HA | - F | 060 | - 260 | CI | - F | 106 | - 275 | DD | - F |
| 015 - 275 CI | - F | 061 | - 250 | CI | - F | 107 | - 240 | DD | - F |
| 016 - 260 OC | - F | 062 | - 300 | 300 | - M | 108 | - 320 | CI | - F |
| 017 - 350 DD | - M | 063 | - 880 | OC | - M | 109 | - 610 | CIHA | - M |
| 018 - 390 DD | - F | 064 | - 620 | DD | - M | 110 | - 785 | CI | - M |
| 019 - 250 DD | - M | 065 | - 225 | DD | - M | 111 | - 230 | DD | - F |
| 020 - 260 HACIOC | - F | 066 | - 270 | DD | - F | 112 | - 380 | CIHA | - F |
| 021 - 350 CI | - M | 067 | - 300 | DD | - M | 113 | - 340 | HA | - F |
| 022 - 450 CI | - M | 068 | - 250 | CI | - F | 114 | - 360 | OC | - M |
| 023 - 300 CIHA | - M | 069 | - 250 | CI | - F | 115 | - 280 | DD | - M |
| 024 - 300 HADC | - F | 070 | - 400 | CI | - F | 116 | - 305 | CIHA | - F |
| 025 - 240 OC | - F | 071 | - 200 | CIOC | - F | 117 | - 205 | CIHA | - F |
| 026 - 350 HA | - F | 072 | - 300 | CI | - M | 118 | - 230 | CI | - F |
| 027 - 340 OC | - M | 073 | - 300 | CI | - F | 119 | - 320 | CI | - M |
| 028 - 300 CIOC | - M | 074 | - 250 | OC | - M | 120 | - 190 | HA | - F |
| 029 - 275 CI | - M | 075 | - 370 | CI | - M | 121 | - 590 | HA | - F |
| 030 - 300 CIHA | - F | 076 | - 300 | CI | - F | 122 | - 300 | OC | - F |
| 031 - 285 CI | - M | 077 | - 245 | CI | - F | 123 | - 250 | HA | - F |
| 032 - 430 HA | - M | 078 | - 300 | HA | - F | 124 | - 510 | HACI | - M |
| 033 - 370 OC | - F | 079 | - 410 | DD | - M | 125 | - 325 | OC | - M |
| 034 - 280 HA | - M | 080 | - 320 | HA | - F | 126 | - 565 | CIOC | - F |
| 035 - 370 HA | - F | 081 | - 475 | HAOC | - F | 127 | - 260 | DD | - F |
| 036 - 280 DC | - F | 082 | - 300 | HA | - F | 128 | - 300 | CI | - M |
| 037 - 350 CI | - F | 083 | - 300 | CI | - M | 129 | - 270 | HA | - F |
| 038 - 250 CI | - F | 084 | - 250 | DD | - F | 130 | - 260 | CI | - F |
| 039 - 280 CI | - M | 085 | - 300 | CI | - M | 131 | - 360 | HACI | - F |
| 040 - 250 DD | - M | 086 | - 250 | CI | - F | 132 | - 280 | HACI | - F |
| 041 - 340 HACI | - F | 087 | - 350 | CIOC | - F | 133 | - 475 | CI | - F |
| 042 - 265 HA | - F | 088 | - 270 | DD | - F | 134 | - 300 | HA | - M |
| 043 - 225 CIOC | - M | 089 | - 270 | HAOC | - F | 135 | - 320 | OC | - F |
| 044 - 340 CI | - F | 090 | - 300 | DD | - M | 136 | - 450 | HACI | - M |
| 045 - 270 DD | - M | 091 | - 590 | HADC | - M | 137 | - 280 | DD | - M |
| 046 - 390 CIHA | - F | 092 | - 400 | DD | - F | | | | |

Peso do Coração - (Grupo Controle):

SEXO FEMININO

01 - 300 g
02 - 220 g
03 - 250 g
04 - 250 g
05 - 200 g
06 - 220 g
07 - 260 g
08 - 150 g
09 - 275 g
10 - 275 g
11 - 260 g
12 - 250 g
13 - 340 g
14 - 270 g
15 - 220 g
16 - 300 g
17 - 248 g
18 - 250 g
19 - 170 g
20 - 240 g

SEXO MASCULINO

01 - 280 g
02 - 350 g
03 - 300 g
04 - 250 g
05 - 250 g
06 - 200 g
07 - 350 g
08 - 250 g
09 - 350 g
10 - 270 g
11 - 190 g
12 - 280 g
13 - 220 g
14 - 265 g
15 - 250 g
16 - 350 g
17 - 265 g
18 - 200 g
19 - 260 g
20 - 260 g

Coronárias Epicárdicas:

NORMAIS :-

| | | | | | | | | | |
|-----|-----|-----|-----|-----|-----|-----|-----|-----|-----|
| 001 | 004 | 005 | 006 | 007 | 008 | 009 | 010 | 013 | 014 |
| 016 | 017 | 018 | 019 | 020 | 024 | 025 | 026 | 027 | 032 |
| 033 | 034 | 036 | 040 | 042 | 045 | 048 | 049 | 052 | 055 |
| 056 | 059 | 062 | 063 | 064 | 065 | 066 | 067 | 074 | 078 |
| 079 | 080 | 081 | 084 | 088 | 089 | 090 | 091 | 092 | 093 |
| 094 | 095 | 096 | 097 | 098 | 099 | 101 | 103 | 106 | 107 |
| 111 | 113 | 114 | 115 | 120 | 121 | 122 | 123 | 125 | 127 |
| 129 | 134 | 135 | 137 | | | | | | |

OBSTRUÇÃO < 50% :-

| | | | | | | | |
|-----|-----|-----|-----|-----|-----|-----|-----|
| 043 | 053 | 061 | 071 | 119 | 131 | 132 | 136 |
|-----|-----|-----|-----|-----|-----|-----|-----|

OBSTRUÇÃO ≥ 50% :-

| | | | | | | | | | |
|-----|-----|-----|-----|-----|-----|-----|-----|-----|-----|
| 002 | 003 | 011 | 012 | 015 | 021 | 022 | 023 | 028 | 029 |
| 030 | 031 | 037 | 038 | 039 | 041 | 044 | 046 | 047 | 050 |
| 051 | 054 | 057 | 058 | 060 | 068 | 069 | 070 | 072 | 073 |
| 075 | 076 | 083 | 085 | 086 | 087 | 100 | 102 | 104 | 105 |
| 108 | 109 | 110 | 112 | 116 | 117 | 118 | 124 | 126 | 128 |
| 130 | 133 | | | | | | | | |

Espessura da Parede do Coração:

NORMAL :-

| | | | | | | | | | |
|-----|-----|-----|-----|-----|-----|-----|-----|-----|-----|
| 001 | 003 | 004 | 006 | 009 | 014 | 021 | 023 | 025 | 029 |
| 030 | 031 | 033 | 038 | 039 | 040 | 041 | 042 | 045 | 049 |
| 053 | 057 | 060 | 062 | 065 | 071 | 072 | 074 | 076 | 077 |
| 078 | 080 | 084 | 086 | 088 | 089 | 090 | 093 | 094 | 095 |
| 096 | 097 | 098 | 099 | 100 | 101 | 103 | 106 | 107 | 108 |
| 111 | 114 | 115 | 117 | 119 | 122 | 123 | 125 | 127 | 128 |
| 129 | 130 | 132 | 134 | | | | | | |

HIPERTROFIA :-

| | | | | | | | | | |
|-----|-----|-----|-----|-----|-----|-----|-----|-----|-----|
| 002 | 007 | 008 | 011 | 017 | 018 | 019 | 022 | 024 | 027 |
| 028 | 033 | 037 | 043 | 046 | 048 | 050 | 055 | 056 | 059 |
| 061 | 066 | 067 | 068 | 069 | 070 | 075 | 081 | 082 | 083 |
| 085 | 091 | 104 | 112 | 113 | 116 | 120 | 131 | 133 | 136 |
| 137 | | | | | | | | | |

DILATAÇÃO :-

| | | | | | | | | | |
|-----|-----|-----|-----|-----|-----|-----|-----|-----|-----|
| 005 | 010 | 012 | 013 | 015 | 016 | 020 | 026 | 032 | 034 |
| 035 | 044 | 047 | 051 | 052 | 054 | 058 | 063 | 064 | 073 |
| 079 | 087 | 092 | 102 | 105 | 109 | 110 | 118 | 121 | 124 |
| 126 | 135 | | | | | | | | |

Alterações Anátomo-Patológicas:

NORMAL :-

| | | | | | | | | | |
|-----|-----|-----|-----|-----|-----|-----|-----|-----|-----|
| 001 | 014 | 019 | 042 | 065 | 067 | 074 | 084 | 095 | 096 |
| 097 | 101 | 115 | 122 | 125 | 127 | | | | |

HIPERTROFIA :-

| | | | | | | | | | |
|-----|-----|-----|-----|-----|-----|-----|-----|-----|-----|
| 004 | 005 | 006 | 007 | 009 | 010 | 011 | 013 | 016 | 017 |
| 018 | 022 | 023 | 024 | 025 | 026 | 029 | 032 | 035 | 039 |
| 040 | 041 | 045 | 046 | 047 | 048 | 050 | 051 | 052 | 054 |
| 055 | 056 | 057 | 059 | 060 | 062 | 063 | 070 | 071 | 075 |
| 076 | 078 | 080 | 081 | 082 | 083 | 085 | 087 | 088 | 090 |
| 091 | 092 | 104 | 106 | 110 | 113 | 114 | 116 | 117 | 120 |
| 121 | 123 | 130 | 132 | 133 | 134 | 135 | 136 | | |

FIBROSE INTERSTICIAL :-

| | | | | | | | | | |
|-----|-----|-----|-----|-----|-----|-----|-----|-----|-----|
| 003 | 004 | 006 | 007 | 008 | 009 | 010 | 015 | 017 | 018 |
| 020 | 021 | 023 | 024 | 025 | 026 | 027 | 028 | 029 | 030 |
| 032 | 034 | 036 | 037 | 043 | 045 | 046 | 049 | 050 | 051 |
| 053 | 054 | 058 | 059 | 061 | 063 | 064 | 066 | 069 | 072 |
| 077 | 078 | 079 | 080 | 082 | 085 | 088 | 090 | 092 | 093 |
| 094 | 099 | 102 | 103 | 104 | 106 | 109 | 110 | 114 | 117 |
| 120 | 129 | 130 | 131 | 135 | | | | | |

FIBROSE PERIVASCULAR :-

| | | | | | | | | | |
|-----|-----|-----|-----|-----|-----|-----|-----|-----|-----|
| 004 | 005 | 006 | 008 | 010 | 012 | 017 | 018 | 021 | 022 |
| 023 | 024 | 027 | 029 | 030 | 033 | 036 | 038 | 040 | 043 |
| 045 | 049 | 051 | 052 | 054 | 055 | 059 | 064 | 066 | 071 |
| 075 | 076 | 079 | 083 | 088 | 090 | 092 | 093 | 094 | 098 |
| 103 | 104 | 106 | 107 | 109 | 121 | 123 | 126 | 129 | 131 |
| 137 | | | | | | | | | |

FIBROSE FOCAL DISSEMINADA :-

| | | | | | | | | | |
|-----|-----|-----|-----|-----|-----|-----|-----|-----|-----|
| 002 | 003 | 004 | 005 | 006 | 010 | 011 | 012 | 015 | 017 |
| 018 | 023 | 024 | 026 | 032 | 033 | 035 | 038 | 039 | 045 |
| 047 | 050 | 051 | 068 | 069 | 076 | 079 | 083 | 086 | 087 |
| 091 | 098 | 099 | 100 | 104 | 105 | 107 | 108 | 109 | 114 |
| 116 | 118 | 119 | 123 | 131 | | | | | |

NECROSE FOCAL DISSEMINADA :-

| | | | | | | | | | |
|-----|-----|-----|-----|-----|-----|-----|-----|-----|-----|
| 002 | 006 | 010 | 011 | 033 | 036 | 038 | 040 | 050 | 052 |
| 079 | 080 | 087 | 099 | 102 | 104 | 119 | 126 | 130 | 131 |
| 132 | 133 | | | | | | | | |

FIBROSE EXTENSA :-

| | | | | | | | | | |
|-----|-----|-----|-----|-----|-----|-----|-----|-----|-----|
| 002 | 010 | 015 | 020 | 028 | 031 | 039 | 041 | 044 | 047 |
| 048 | 050 | 051 | 057 | 058 | 060 | 063 | 064 | 068 | 070 |
| 073 | 076 | 078 | 081 | 086 | 087 | 088 | 089 | 099 | 100 |
| 102 | 105 | 108 | 109 | 110 | 111 | 112 | 120 | 124 | 128 |
| 133 | | | | | | | | | |

NECROSE EXTENSA :-

| | | | | | | | | | |
|-----|-----|-----|-----|-----|-----|-----|-----|-----|-----|
| 010 | 015 | 044 | 047 | 051 | 057 | 060 | 070 | 073 | 081 |
| 099 | 102 | 111 | 112 | 124 | | | | | |

ARTERIOLOPATIA HIALINA DA CAMADA MÉDIA :-

| | | | | | | | | | |
|-----|-----|-----|-----|-----|-----|-----|-----|-----|-----|
| 004 | 006 | 009 | 010 | 016 | 017 | 018 | 022 | 023 | 024 |
| 026 | 029 | 040 | 049 | 050 | 051 | 054 | 075 | 076 | 079 |
| 083 | 088 | 092 | 104 | 106 | 123 | 129 | 131 | | |

BIBLIOGRAFIA

BIBLIOGRAFIA

- Almeida, E.; Teixeira, M.A. - Ponte Miocárdica. Estudo de casos necropsiados. Trabalho apresentado no Curso de Pós Graduação da Faculdade de Ciências Médicas - Universidade Estadual de Campinas, 1988.
- Almeida, Luciano - Manual de Diabetes - Ministério da Saúde, Divisão Nacional de Doenças Crônicas Degenerativas, 1990 American Diabetes Association. Office Guide. Diabetes Care (13) 1: 1-65, 1990.
- Argüelles, E.; Silva, H.; Marques, A - Aspectos microvasculares da Miocardiopatia Diabética. - Arq. Bras. Cardiol. (47) 1 : 15 - 20, 1986.
- Argüelles, E.; Silva, H.; Weksler, C. - Aspectos Clínicos da Miocardiopatia Diabética. - Arq. Bras. Cardiol. (40) 1 : 9 - 13, 1983.
- Arturson, G.; Garby, L.; Robert, M.; Zaar, B. - Oxygen affinity of whole blood in vivo and renderstandard conditions in subjects with Diabetes Mellitus.- Scand. F. Clin. Lab. Invest. (34) 1: 19-22, 1974.
- Azevedo, M.; Gross, J. - Hiperfiltração glomerular e Diabetes Melito Insulino Dependente. - Arq. Bras. Endocrinol. e Metabol. (34) 4 : 107 - 111, 1988.
- Barnett, A.H.; Lunec, J.; Jones, A.F.; O' Donnell, M. J.; Jennings, P. E.; Guen, C.2.; Richardson, M.R.; Florkowski, C.M. - Effect of Glicazide on tromboxane B₂ parameters of haemostasis fluorescent IgG and lipid peroxides in non insulin dependent diabetes mellitus. Diabetes Research. 9: 87-90, 1988.
- Barnett, A.H.; Jennings, P.E. - New Approches to the Pathogenesis and Treatment of Diabetic Microangiopathy. Diabetic Medicine. vol. 5, 111 - 117, 1988.
- Barnett, A.H.; Spiliopoulos, A.; Puke, D. - Blockade of Chlorpropamide - alcool flushing by Indometacyn suggest an Association between Prostaglandins and Diabetic Vascular Complications. The Lancet. 1: 164 - 168, 1980.
- Bassiouny, A. R.; Rosenberg, H.; Mc. Donald, T. - Glucosylated Collagens is Antigenic. Diabetes 32 : 1182 - 1184, 1983.
- Banson, B.B. Diabetic microangiopathy in human toes with emphasis on the ultrastructural change in dernal cappilaries. Am. J. Pathol. 45 : 41 - 44, 1964.

Baum, V.; Levitsky, L.; Englander, R. - Abnormal Cardiac Function After Exercise in Insulin Dependent Diabetic Children and Adolescents. Diabetes Care. (3) 10 : 319 - 323, 1987.

Beijuelman Bernardo - Curso Prático de Bioestatística, 1988. Publicação da Sociedade Brasileira de Genética.

Beisswenger, P. J.; Spiro, R.G.- Studies on the Human Glomerular Basement Membrane. Composition, Nature of the Carbohydrate Units and Chemical Changes in Diabetes Mellitus. Diabetes (22) 3 : 180-193, 1973.

Bodansky, H. J.; Drury, P.L.; Cudworth, A.G.; Evans, P. A. D. - Acetylador Phenotypes ant Tipe I (Insulin Dependent) Diabetics with Microvascular Disease. Diabetes 30 : 907 - 910, 1981.

Bodansky, H. J.; Wolf, E.; Cudworth, A.G.; Dean, B.M.; Mineham, I.L.; Botazzo, G. F.; Matthews, J.A.; Kurtz, B. A.; Kohner, M. E. Genetic and Immunologic Factores in Microvascular Disease in Type I Insulin - Dependent Diabetes. Diabetes 31 : 70 - 74, 1982.

Brenner, B.M.; Meyer, T. W. et. Hostetter, T.H.- Dietary protein intake and progressive nature of Kidney disease: the role of hemodynamically mediated glomerular injury in the pathogenesis of progressive glomerular sclerosis in agin, renal ablation , and intrinsic renal disease N. Engl. J. Med 307: 652, 1982.

Bryer - ASH, M.; Ammon, R.A. ET. Luetscher, J.A. - Increased inactive renin in diabetes mellitus without evidence of nephropathy. J. Clin. Endocrinol. Metabol. 56 : 557, 1983.

Carneiro, E.F.- O eletrocardiograma 10 anos depois. Ed. Eneas Ferreira Carneiro. 3a ed. 119 - 165; 234 - 243, 1992.

Cannon, R.O.; Cunnion, R.E.; Parrilo, J.; Palmere, S.T. - Dynamic limitation of coronary vasodilator reserve in pacients with dilated cardiomiopathy an chest pain. J. Am. Coll. Cardiol. 10 : 1190 - 1200, 1987

Castro, A.C.L.; Hueara, M.; Vieira, C.C.; Vertoni, C.A. - Nefropatia Diabética, Clinica Médica. (9) 2 : 6 - 10, 1991.

Cerami, A.; Stevens. V.; Monnier, V. - Role of Nonenzymatic Glycosylations in the Development on the Sequelae of Diabetes Mellitus Metabolism. (28) 4 : 431 - 437, 1979.

Ceriello, A.; Giugliano, D.; Quatraro, A.; Stonte, A.; Console, G.; Dello Russo, P.; D' Onofrio, F. - Heparin preserves Antithrombin III Biological Actives from Hyperglycemia. - Induced Alterations in Insulin - Dependent Diabetics. Haemostasis. 16 : 458 - 464, 1986.

Chandrasekar, S.; Das, J. P.; Das, A. K. - Specific heart muscle disease in Diabetes Mellitus - a functional structural correlation International Journal of Cardiology. 17 : 229 - 302, 1987.

Chanson, P.H.; Lubetzki, J. - O risco vascular do paciente diabético - Problemas cotidianos do diabetes - Ed. Especial Servier : 1 - 20

Christlieb, A. R.; Krolewski, A.S.; Warran, S. - In insulin the link between hypertension and obesity ? Hypertension. (7) supply II : 54 - 57, 1985.

Christlieb, A. R.; Warran, J. H.; Krolewski A.; Busick E.J., Ganda, O.P.; Asnal, A.C.; Soelander, J.S.; Brodley, R. F. - Hypertension : The major risk factor in juvenile onset insulin - dependent diabetics. Diabetes. 30 : 90 - 96, 1982.

Coagulin, S.R.; Moskoniades, H.N.; Levine, L. - Platelet dependent stimulation of prostacyclin synthesis by platelet-derived growth factor. Nature 288: 600-602, 1980.

Cogan, D.G. - Aldose reductase and complications of diabetes. Ann Intern. Med. 101 : 82 - 91, 1984.

Collier, A.; Patrick, A.; Bell, D.; Matthews, W.S.D.; Macintyre, C.; Ewing, D. ; Clarke, B. - Relation ship of Skin Thickness to duration of Diabetes, Glycemic Control, and Diabetic Complications in Male I.D.D.M patients Diabetes care. 12 : 309 - 312, 1989.

Daddah, S. K. - Reversal of nefropaty in human cadaveric kidneys after transplantation into non diabetic recepient. Lancet (2) 5 : 1274 - 1276, 1983.

Davalos, C. A. R.; Velasco, C.A.; Reddi, A. S.; Glasser, M.; Bloodworth, J. M. B. - Delay of Progression of Diabetic Microangiopathy. Metabolism. (37) 2: 10 - 18, 1988.

Dalavos, C.A.R.; Velasco, C.A.; Glasser, M. ; Bloodworth, J. M. - Enzyme Actives as a predictor of diabetic vasculopathy. The Am. Journ. of. Med. 80 : 574 - 582, 1986.

De Fronzo, R.A. - Diabetic Nephropathy. Seminars in Nephrology (10) 3; Philadelphia, W.B. Launders Company, P.A. May 1990.

Detscherleing, G. - Renal histopathology in hipertensive diabetic patients. Hypertension. 7 (II) : 29 - 32, 1985.

Dillman, W. H. - Diabetes Mellitus induces changes in cardiac miosin of the rat. Diabetes. 29 : 579 - 582, 1980.

Ditzel, J. - Oxygen Transport Impairment in Diabetes. Diabetes. 25 (2) : 832 - 838, 1976.

Dornan, T. L.; Tattersal, R.B. - Blind alleys in diabetes research : muscle capillary basement membrane Thickening : marker of microvascular complications or false propher. Diabetic Med. 3 : 413 - 18, 1986.

Dortimer, A. C. - Difuse coronary artery disease in diabetic patients. Fact or fiction ? Circulation. 57 : 133, 1978.

Drouin, P. Atividade hemobiologica de glicazida retinopatia diabetica. Quintessense. número especial : 16 - 19.

Elliott, R.B.; Palmano, K.P. - Studies in the Renal Handling of Insulin in juvenile diabetics. Diabetologia - 12 : 15 - 21, 1976.

Ewing, D. J. - Cardiovascular reflexes and autonomic neuropathy. Clin. Sci. 55 : 321 - 327, 1978.

Factor, S.M.; Okun, E.; Minase, T. - Capillary Microaneurysms in the Human Diabetic Heart. The New England Journal of Medicine. 303 : 384 - 388, 1980.

Factor, S.M.; Minase, T.; Bhan, R.; Wolinsky H.; Sonnenblick, E. - Hipertensive Diabetic Cardiomyopathy in the Rat: Ultrastructural Features. Virchows Arch Pathol. Anot. 398 : 305 - 317, 1983.

Factor, S.M.; Bhan, R.; Minase, T.; Wolinsky, H.; Sonnenblick, E.H. - Hypertensive-diabetic cardiomyopathy in the rat: an experimental model of humandisease. Am. J. Pathol. 102: 219-228, 1981.

Farias, C.; Hurtado, M.; Carrasco, E.; Los Rios, M. - Diabetes Mellitus en la terceira edad. Revista de la Sociedad Argentina de Diabetes (21) 1 : 20 - 29, 1987.

Fein, S.F.; Facc, M.D. Factor, M. S.; Sonnenbleck, E. H.; Van Hoven, K.; Akella, J.; Malhotra, A. - Beneficial effects of Diltiazem on the natural history of Hipertensive Diabetic Cardiomyopathy in rats - Journal of American College of Cardiology. 18 (5) : 406 - 417, 1991.

Ferrannini, C.; Blizzigoli, G.; Bonodonna, R.; Giarico, M.A. ; Graziadei, L.; Pedrinelli, R.; Brandi, L.; Bevilaquas, S. - Insulin resistance in hypertension. N. Engl. J. Med. 318 (6) : 384 - 89, 1988.

Fischer, V.W. - Modification of Anionic Sites in Miocardial Capillary Basal Laminal of Diabetic Rats. Microvascular Research 37: 42 - 52, 1989.

Fischer, V. W.; Pietri, A.; Unger, R.; Schannon, A. - Lanimar Thickness in Diabetic Human Myocardium. Diabetes. 28 : 713 - 719, 1979.

Figueira, J. L.; Filho Carvalho. E. T. - Alterações lipídicas em idosos portadores de Diabetes Mellito não insulino dependente. Rev. Paul. Med. 106 (2) : 89 - 94, 1988.

Florkowski, C.M.; Richardson, M. R.; Guin C.L.; Jennings, P.E.; O'Donnell; Jones, A. F.; Lunec. J.; Barnet, A. H. - Effect of Glicazide on Tromboxane B₂ parameters of Haemostasis, fluorescent IgG and lipide peroxides in non insulin dependent Diabetes Mellitus. Diabetes Research 9: 87 - 90, 1988.

Franco, L.J. - Manual de Diabetes Mellitus. Setor de moléstias crônicas degenerativas Ministério da Saúde - 1990.

Friedman, N.E.; Levitsky, L.L.; Edidin, D.V.; Virullo, D.A.; Leicina, S.J.; Chiemmongkoltip, P. - Echocardiographic evidence for impaired myocardial performance in children with type I Diabetes Mellitus. Am. J. Med. 73: 846-850, 1982.

Geiger, M.; Binder, R. B. - Nonenzymatic Glucosylation as a Contributing Factor to Defective Fibrinolysis in Diabetes Mellitus. Haemostasis 16 : 439 - 446, 1986.

Gillum, R.F. - The association of body fat distribution with hypertension, hypertensive heart disease, coronary heart disease, diabetes and cardiovascular risk factors in men and women aged 19 - 79 years. Journal Chronic Dis. 40 (5) : 421 - 428, 1987.

Gleason, M.M.; Medow, S.M.; Fulenko, J. N. - Excess Membrane Cholesterol alters Calcium Movements Cytosolic Calcium Levels and Membrane Fluidity in Arterial Smooth Muscle Cells. Circulation Research. 69 : 216 - 27, 1991.

Gram, J.; Jespersen, J. - The fibrinolytic system in Diabetes Mellitus and glicazide. Medicographia 10 (4) : 10 - 13, 1988.

Greene, D.; Jesus, P.; Winegrad, A. - Effects of Insulin and Dietary Myoinositol on Impaired Peripheral Motor Nerve Conduction Velocity in Acute Streptozotocin Diabetes. Journal. Clin. Invest. 55 : 1326 - 1336, 1975.

Gross, J.; Kruter, R. - Retinopatia e melhora do controle metabólico no diabete melito. Arg. Bras. Endocrinol. Metabol. (29) 2, 12 - 15, 1985.

Hambay, R.; Zoneirach, S.; Sherman, L. - Diabetic Cardiomyopathy- JAMA 299 : 1749 - 1754, 1974.

Hausdorf, G.; Rieger, V.; Koepp, P.; - Cardiomyopathy in childhood diabetes mellitus : incidence, time of onset and relation to metabolic control. Int. J. Cardiol. (19) 2 : 225 - 236, 1988.

Högemann, B.; Balleisen, L.; Rauterberg, J.; Voss, B.; Gerlach, U. - Basement Membrane Component (7 S Collagen, Laminin P 1). Are Increased in Sera of Diabetics and Active Platelets in Vitro. Haemostases. 16 : 428 - 432, 1986.

Högemann, B.; Voss, B.; Altenwerth, F. J.; Schneider, M.; Rauterberg, J.; Gerlach, V. - Concentrations of 7 Collagen and Laminin P1 in sera of Patients with Diabetes Mellitus. Klin Wochenschr 64 : 382 - 385, 1986.

Inoguchi, T.; Umeda F.; Watanabe, J.; Ibayashi, H. - Reduced Serum - Stimulatory Activity on Prostacyclin Production by cultured Aortic Endothelial Cells in Diabetes Mellitus - Haemostasis 16: 447 - 452, 1986.

Jaron, G.E.; Laryea, E.; Jaeger, D.; Mac Donald, L. - Cause of death in 1144 patients with diabetes mellitus and autopsy study - Con. Med. Assoc. J. (137) 7 : 759 - 764, 1986.

Jennings, M.A.; Florey, L. - An Investigation of some properties of endothelium related to capillary permeability. Proc. Roy. Soc. B. 167 : 1 - 63, 1966.

Jennings, P. E.; Barnett, A.H.; New Approaches to the pathogenesis and treatment of diabetic microangiopathy - Diabetic Medicine, vol 5, 111 - 117, 1988.

Jespersen, J.; Gram, J.- The dynamic haemostatic balance and its clinical implications. Medicographia (10) 4 : 6 - 10, 1988.

Junqueira, L.C.; Carneiro, J.- Histologia Básica - Editora Guanabara Koogan - 3^a edição - pág. 212 a 220, 1974.

Kabadi, V. - Glucosylation of Proteins. Lack of influence of Aging. Diabetes Care. 11 : 429 - 432, 1988.

Kannel, W.B. - Diabetes e Cardiovascular disease. The Framingham study : 18 year follow up. Cardiol. Diag. 5 : 11 - 15, 1976.

Kannel, W. B.; Wolf, P.A.; Castelli W.P.; D' Agostinho, R.B.- Fibrinogen and risk of cardiovascular disease. The Framingham Study. JAMA. 259 (9) : 1183 - 1186. 1987.

Karam, J.H.; Rosenthal, M.; O' Donnell, J.; Isolikian, E.; Lorenzi, M.; Gerich, J. E.; Siperstein, M.; Forsham, P.A. - Discordance of Diabetic Microangiopathy in identical Twins. Diabetes. 25: 24 - 28, 1976.

Kawate, R.; Yamakido, M.; Nishimoto, Y.; Bennett, P.; Hamman, R.; Knowler, W. - Diabetes Mellitus its Vascular Complications in Japanese Migrants on the Island of Hawaii. Diabetes Care (2) 2 : 161 - 170, 1979.

Klein, R.; Klein, B.E.K.; Moss, S.E. - The Wisconsin Epidemiological Study of Diabetic Retinopathy: A review. Diab. Metab. Rev. 5; 559-556, 1989.

Kohn, R. R.; Schneider, S. L. - Glucosylation of Human Collagen. Diabetes. (31) 3 : 47 - 51, 1982.

Kojimahara, M. - Intimal Laminated Elastoses in the Intra Renal Arteries. Acta Pathol. Jpn. 38 (3), 315 - 323, 1988.

Kumar, A.; Chanmaskar, S. - Specific Heart muscle disease in diabetes mellitus. A functional structural correlation. Int. Journal of Cardiology, 17 : 234 - 238, 1987.

Kurkus, J.; Thysill, H. - Reduction of Albuminuria after angiotensin converting enzyme inhibition in various renal disorders. Scand J. Urol. Nephrol. 24 : 63 - 68, 1990.

Ledet, T. - Diabetic Cardiopathy. Acta path. microbiol. scand. (A) 84 : 421 - 428, 1976.

Lundback Knud - Growth Hormone's role in Diabetic Microangiopathy. Diabetes. 25 (2) : 845 - 849, 1976.

Lopaschuk, G. D.; Neely, J. R.; - Coenzyme a Degradation in the Heart : Effects of Diabetes and Insulin. J. Mol. Cell. Cardiol. 19 : 281 - 287, 1987.

Makino, N.; Dhalla, K.; Elimon, V.; Dhalla, N. - Sarcolemmal Ca_{+2} Transport in Streptozotocin - induced diabetic cardiomyopathy in rats. The American Physiological Society. (193) 1849 : 202 - 207, 1987.

Mc Millan, D.E.; Utterback, N.G.; La Puma, J. - Reduced erythrocyte deformability in diabetes. Diabetes. 27 : 895 - 901, 1978.

Mc Millan, D.E. - Plasma Protein Changes Blood Viscosity and Diabetic Microangiopathy. Diabetes. (25) 2 : 858 - 864, 1976.

Mc Pherson, J.; Feely, J. - Insulin. British Medical Journal. 300 : 731 - 736, 1990.

Morais, I.; Halfoun, V.; Fonseca, M.; Oliveira, J.; Bernardini, E. - Capilaroscopia em diabéticos. Arg. Bras. Endocrinol. e Metabol. (32) 1 : 18 - 22, 1988.

Miller, L. - Direct Effects of Glucagon on Protein and Amino Acid Metabolism in the isolated Perfused Rat Liver. Diabetes. (25) 2: 865 - 871, 1976.

Mijovic; Fletcher, B.; Barnett, H. - Relation of gene expression (allotypes) of four component of complement to insulin dependent diabetic and its microangiopathic complications. Br. Med. J. 291: 9 - 10, 1985.

National Diabetes Data Group. Classificação and diagnoses of diabetes mellitus and other categories of glucose intolerance. Diabetes - 28 : 1039 - 1049, 1979.

Nakano, S.; Uchida, K.; Kigoshi, T.; Azukizawa, S.; Iwasaki, R.; Kaneko, M.; Marimoto, S.; - Circadian Rhythm of Blood Pressure in Normotensive N.I.D.D.M. Subjects. Its Relationship to Microvascular Complications. Diabetes Care. (14) 8 : 707 - 711, 1991.

Nielsen, H.O.; Faber, O.; Sorensen, N. - Classification of Newly Diagnosed Diabetic Patients as Insulin Requiring or Non Insulin Requiring. Based on Clinical and Biochemical Variables. Diabetes Care 11 : 531 - 537, 1988.

O'Hare, J. A. - The enigma of Insulin Resistance and Hypertension The American Journal of Medicine. 84 : 505 - 508, 1988.

Oliveira, Rogério. - Marcadores do Diabetes e suas complicações. Arq. Bras. Endocrinol. e Metabol. (34) 1 : 10 - 12, 1990.

Parving, H.; Viberti, G.; Keen, H.; Christiansen, J. S.; Lassen, N.A. - Hemodynamic Factors in the genesis of Diabetic Microangiopathy. Metabolism. (32) 9 : 943 - 949, 1983.

Pearce, M. B. - Miocardial small vessel disease in patients with diabetes mellitus. Circulation, 48 (IV) : 6 - 11, 1973.

Pereda, S.A. - Cardiovascular response to insulin in the absence of hypoglycemia Am. J. Physiol. 202 (2) : 249 - 259, 1962.

Pichard, A.D.; Gorlin, R.; Rentrop, P. - Diabetes and the Heart. Mount Sinai J.M. 49: 233-241, 1982.

Pimazoni, N.; Ferreira, A.M. - Proposta básica para um programa de Descentralização e Regionalização da Assistência ao Diabético. Programa Nacional de Educação e Controle do Diabetes Mellitus - Ministério da Saúde, 1987.

Premen, A.J. - Protein - mediated elevation in renal hemodynamics : existence of a hepato renal axis ? Medical Hypotheses, 19 : 295 - 299, 1986.

Pirart, J. - Diabetes Mellitus and its degenerative complications A prospective study of 4.400 patients observed between 1947 and 1973. Diabetes Care. 7 : 168 - 173, 1978.

Ramos Jr., J. - Semiotécnica da Observação clínica - 6ª edição. Editora Sarvier, vol. I e II. 1977.

Raskin, P.; Pietri, A.; Unger, R.; Shannon, A. - The effect of Diabetic Control on the width of Skeletal - muscle Capillary Membrane Basement in Patients with type I Diabetes Mellitus. The New England Journal of Medicine (309) 25 : 1546 - 1556, 1983.

Rector, W. G.; Herberg, F.; Moses, H.I.I. - Non Ketotic hyperglycemia appearing as chorea, athetosis or ballism. Arch. Internal Med. 142 : 154 - 155, 1982.

Regan, J.T.; Ettinger, O.P.; Khan, I. M; Jesrani, V.N.; Lyons, M.M.; Oldewurtel, A. H.; Weber, M. - Altered myocardial function and metabolism in chronic Diabetes Mellitus without ischemia in dogs. Circulation Research 35 : 222 - 237, 1974.

Regan, T. Altszuler, N.; Eaddy, C.; Bakth, S. - Relation of Growth Hormone and Myocardial collagen accumulation in experimental diabetes. J. Lab. Clin. Med. 110 : 274 - 278, 1987.

Ribeiro Jorge, P.A.; Ribeiro Jorge, L.; Fassone, A. - Cardiopatia isquemica com artérias coronárias epicárdias périvas. Patologia das artérias do coração. Arq. Bras. Cardiol. (51) 2 : 157 - 160, 1988.

Ribeiro Jorge, P.A. - Cardiopatia Isquemica com artérias coronárias epicárdicas périvas. Os capilares do coração no Infarto Agudo do Miocárdio. Arq. Bras. Cardiol. (31) 3 : 227 - 230, 1988.

Ribeiro Jorge, P.A.; Camargo, A.M. - Cardiopatia Isquemica com artérias coronárias epicárdicas périvas. A vasomotricidade das arteríolas do coração. Arq. Bras. Cardiol. (49) 1 : 9 - 14, 1987. Rinaldi, G. Bohr, D. - Plasma membrane and its abnormalities in hypertension. Am. J. Med. Sci. 295. (4) : 389 - 395, 1988.

Robey, L.; Dasmohapatra, A.; Cohen, M.; Suarez, S. - Sorbinil Partially prevents Decreased Erythrocyte Deformability in Experimental Diabetes Mellitus. Diabetes. 36: 1010-1013, 1987

Robins, S.L - Patologia Estrutural e Funcional - Ed Interamericana: 238-249, 1975

Roggenkamp, H.G.; Jung, F.; Nuttgens, H.P.; Keisewetter, H.; Ringelstein, E.B.; Schneider, R. - Erythrocyte Rigidity in healthy patients and patients with cardiovascular disease risk factors. Klin wochenschr. (64)20: 1091-1096, 1986

Rohrbach, D.H.; Hassel, R. J.; Kleinman, R.H.; Martin, R.G. - Alterations in the Basement Membrane (Heparan Sulfate Proteoglycan) in Diabetic Mice. Diabetes.31: 185-188, 1982

Rubler, S.; Drugosh, J.; Yureoglu, Y.; Kumral, T.; Branwoj, A.; Grishman, L. - New Type of Cardiomyopathy associated with Diabetic Glomerulosclerosis. The Am. J. of Cardiol. 30: 595-602, 1972

Schmitz, A.; Vaeth, M. - Microalbuminuria: a major risk factor in non insulin dependent diabetes. Diabetic. Med. (5)2: 126-134, 1988

Schonbein, H.S.; Volger, E. - Red cell aggregation and red cell deformability in Diabetes. Diabetes (25)2 : 897-902, 1976

Seneviratne, B. - Diabetic cardiomyopathy: the preclinical phase. British Medical Journal. 1 : 1444-1446, 1977

Siperstein, M.D.; Raskin, P.; Burns, H. - Electron Microscopic quantifications of Diabetic Microangiopathy. Diabetes 22: 514 - 527, 1973.

Siperstein, M.D.; Feingold, K.R.; Bennett, P.H. - Hyperglycaemia and diabetic microangiopathy - Diabetologia 15: 365 - 367, 1978.

Siperstein, R.; Unger, R.; Madison, L. - Studies of Muscle Capillary Basement Membranes in Normal Subjects, Diabetic and Prediabetic Patients. The Journal of Clinical Investigation 47 : 1973-1999, 1968.

Skrha, J.; Perusicová, J.; Stolba, P.; Stibor, V.; Páv, J. - Comparison of N. acetyl B glucosaminidase and albuminuria with clinical finding of microangiopathy in type I diabetes mellitus. Clinica Chemica Acta 166: 135-141, 1987

Small, M.; Douglas, J.L.; Lowe, G.D.; Mac Cuish, A.C.; Forbes, C.D. - Effect of insulin therapy on Coagulation and Platelet Function in type II (Non Insulin Dependent) Diabetes Mellitus. Haemostasis 16: 41-423, 1986

Spiro, G.R. - Investigations into the Biochemical Basis of Diabetic Basement Membrane Alterations. Diabetes. 20 : 641-648, 1971

Summerfield, J.; Vergalla, J.; Jones, E. A. - Modification of a glycoprotein Recognition system on rat Hepatic Endothelial Cells by Glucose and Diabetes Mellitus. Journal Clin Invest. 69 : 1337-1347, 1982

Sunny, S.; Bishop, P.S.; Kent, S.P.; Geer, J.L. - Diabetic Cardiomyopathy. Arch Pathol Lab Med 110 : 375-381, 1986
Tahiliane, A.G.; McNeill, J.H. - Diabetes Induced Abnormalities in the Myocardium. Life Sciences (38) 11 : 959-974, 1986
Thompson, Ed. W.- Structural Manifestation of Diabetic Cardiomyopathy in the rat and the Reversal by Insulin Treatment. The American Journal of Anatomy. 182: 270 - 282, 1988

Valdorg, H.; Jensen, L.; Barch, K.; Deckert, T. - Cardiovascular risk factors in type I (insulin dependent) diabetic patients with and without proteinuria. Acta Med Scand. (222) 5 : 439-440, 1987

Vernon, W.F. - Modification of anionic sites in myocardial capillary basal laminae of Diabetic Rats. Microvascular Research. 37 : 42-52, 1989

Vernon, W.F.; Barner, B.H.; Leskiw, L. - Capillary basal laminar thickness in Diabetic Human Myocardium. Diabetes. 28 : 713-719, 1979.

Yodaiken, E.R. - The relationship between Diabetic Capillaropathy and Myocardial Infarction : A Hypothesis. Diabetes. (25) 2 : 928-930, 1976

Weder, A.B.; Fitzpatrick, A.; Torreti, B.A.; Julius, S.S. - Red blood cell Li⁺ - Na⁺ counter transport, Na⁺ - K⁺ cationsport and the hemodynamics of hypertension. Hypertension. (9) 5: 459-466, 1987

Williams. Tratado de endocrinologia. Ed Manole Ltda, 7ª edição, vol 2, 1271-1348, 1988

Williamson, J.B.; Kilo, C. - Current Status of Capillary Basement Membrane Disease in Diabetes Mellitus. Diabetes (26) 1 : 65-73, 1977

Williamson, J.B. - Basement membrane anomalies in diabetes mellitus: relationship to clinical microangiopathy. Diabetes et Metab. (4) 4 : 339-370, 1978

Winocour, P.; Durrington, P.; Ishola, M.; Anderson, D.; Cohen, H. - Influence of proteinuria on vascular diseases, blood pressure and lipoproteins in insulin dependent Diabetes Mellitus. British Medical Journal 294 : 1648-1651, 1987

Witztum, L.J.; Mahoney, E.M.; Branks, J.M.; Fisher, M.; Elam, R.; Steinberg, D. - nonenzymatic glucosylation of Low density Lipoprotein Alters its Biologic Activity. Diabetes 31 : 283-291, 1982

Yodaiken, E.R. - The relationship between diabetic capillaropathy and myocardial infarction: A Hypothesis. Diabetes 25 (2) : 928-930, 1976

Zatz, R.; Brenner, B. - Pathogenesis of Diabetic Microangiopathy. The Am Journ of Med 80 : 443-450, 1986

Zimmet, P. - Epidemiology of Diabetes and its Macrovascular Manifestation in Pacific Populations: The Medical Effects of Social Progress. Diabetes Care (2) 2 : 144-153, 1979

Zoneirach, S. - Echocardiographic - electrocardiographic correlates. Am Heart Journal. 110 : 193-196, 1985

Zoneirach, S. - Small-Vessel Disease, Coronary Artery Vasodilator Reserve and Diabetic Cardiomyopathy. Chest (94) 1 : 5-7. 1988

ÍNDICE DOS ASSUNTOS

ÍNDICE DOS ASSUNTOS

| | | |
|---|------|-----|
| I-) Introdução..... | pág. | 002 |
| II-) Objetivos..... | pág. | 006 |
| III-) Revisão Bibliográfica..... | pág. | 008 |
| III.I-) Histórico..... | pág. | 008 |
| III.II-) Mecanismos etiopatogênicos..... | pág. | 010 |
| III.II.1-) Fatores genéticos..... | pág. | 010 |
| III.II.2-) Fatores imunológicos..... | pág. | 011 |
| III.II.3.A) Fatores bioquímicos e enzimáticos que envolvem a microcirculação | pág. | 011 |
| III.II.3.B) Fatores bioquímicos e enzimáticos que não envolvem a microcirculação..... | pág. | 016 |
| III.II.4-) Fatores metabólicos..... | pág. | 016 |
| III.II.5-) Fatores de homeostasia..... | pág. | 018 |
| III.II.5.A) Hemoglobina e eritrócitos..... | pág. | 018 |
| III.II.5.B) Outras proteínas plasmáticas.... | pág. | 019 |
| III.II.5.C) Pressão hidrostática..... | pág. | 020 |
| III.II.5.D) Fatores de coagulação e outros fatores de homeostasia..... | pág. | 023 |
| III.II.5.E) Metabolismo lipídico e aterogênese..... | pág. | 027 |
| III.III-) Incidência e prevalência..... | pág. | 028 |
| III.IV-) Expressão anátomo-patológica..... | pág. | 029 |
| III.V-) O período pré-clínico..... | pág. | 032 |
| III.VI-) O período-clínico..... | pág. | 034 |

| | | |
|---|------|-----|
| IV-) Material e Métodos..... | pág. | 039 |
| IV.A-) Critérios Classificatórios..... | pág. | 039 |
| IV.B-) Critérios utilizados para o estudo clínico..... | pág. | 041 |
| IV.C-) Critérios utilizados para o estudo anátomo-patológico..... | pág. | 044 |
| IV.D-) Critérios utilizados para a análise dos resultados..... | pág. | 048 |
| V-) Resultados..... | | 052 |
| V.B-) Resultados do estudo clínico..... | pág. | 052 |
| V.C-) Resultados do estudo anátomo-patológico..... | pág. | 061 |
| V.D-) A incidência de associação..... | pág. | 073 |
| V.E-) A análise estatística..... | pág. | 082 |
| VI-) Discussão..... | | 095 |
| VII-) Conclusões..... | | 116 |
| VIII-) Sumário..... | | 121 |
| IX-) Summary..... | | 124 |
| X-) Apêndice - Indivíduos propósito e tabelas..... | pág. | 127 |
| Sexo..... | pág. | 127 |
| Idade..... | pág. | 127 |
| Tempo de doença diagnosticada..... | pág. | 128 |

| | |
|--|-----|
| Classificação clínica do diabetes.....pág. | 128 |
| Grau de controle glicêmico.....pág. | 129 |
| Sintomas e sinais clínicos.....pág. | 129 |
| Eletrocardiograma.....pág. | 130 |
| Raio X.....pág. | 130 |
| Patologias associadas prevalentes.....pág. | 131 |
| Peso do coração.....pág. | 131 |
| Peso do coração no grupo controle.....pág. | 131 |
| Coronárias epicárdicas.....pág. | 132 |
| Espessura da parede do coração.....pág. | 132 |
| Alterações anátomo-patológicas.....pág. | 133 |
| Bibliografia.....pág. | 165 |

ÍNDICE DAS TABELAS

ÍNDICE DAS TABELAS

| | |
|---|----------|
| 1-) Diagnóstico de Diabetes Mellitus e outras categorias de Intolerância à glicose..... | pág. 040 |
| 2-) Classificação Clínica do Diabetes Mellitus..... | pág. 041 |
| 3-) Critérios indicativos do grau de controle glicêmico..... | pág. 042 |
| 4-) Limites normais para o peso do coração..... | pág. 045 |
| 5-) Valores considerados normais e patológicos para a espessura das paredes do coração..... | pág. 046 |
| 6-) Sintomas ou sinais clínicos observados nos grupos DG e DD..... | pág. 082 |
| 6a) Presença ou ausência de precordialgia nos grupos DG e DD..... | pág. 083 |
| 6b) Presença ou ausência de Insuficiência Cardíaca nos grupos DG e DD..... | pág. 084 |
| 6c) Presença ou ausência de taquicardia sinusal nos grupos DG e DD..... | pág. 084 |
| 6d) Presença ou ausência de arritmias cardíacas nos grupos DG e DD..... | pág. 085 |
| 7-) Expressão eletrocardiográfica nos grupos DG e DD..... | pág. 085 |
| 7a) Presença ou ausência de desnivelamentos do segmento STe /ou alterações difusas da repolarização ventricular nos grupos DG e DD..... | pág. 086 |
| 7b) Presença ou ausência de sobrecarga ventricular esquerda nos grupos DG e DD..... | pág. 086 |
| 7c) Presença ou ausência de arritmia cardíaca nos grupos DG e DD..... | pág. 087 |
| 8-) Presença ou ausência de aumentos uni ou biventriculares ao Raio X..... | pág. 087 |
| 9a) Peso do coração nos grupos DG e DD..... | pág. 088 |
| 9b) Peso do coração nos grupos DG e DD inclusive os indivíduos normais..... | pág. 088 |
| 10-) Alterações anátomo-patológicas nos grupos DG e DD..... | pág. 090 |

| | |
|---|----------|
| 10a) Presença ou ausência de Hipertrofia muscular nos grupos DG e DD..... | pág. 090 |
| 10b) Presença ou ausência de Fibrose intersticial nos grupos DG e DD..... | pág. 091 |
| 10c) Presença ou ausência de Fibrose focal disseminada nos grupos DG e DD..... | pág. 091 |
| 10d) Presença ou ausência de aumentos do tecido conectivo perivascular nos grupos DG e DD..... | pág. 092 |
| 10e) Presença ou ausência de Arteriolopatia hialina da camada média dos pequenos vasos intramiocárdicos nos grupos DG e DD..... | pág. 092 |
| 10f) Presença ou ausência de Necrose focal disseminada nos grupos DG e DD..... | pág. 093 |
| 12-) Distribuição dos indivíduos quanto ao sexo nos grupos DG e DD..... | pág. 127 |
| 13-) Distribuição dos indivíduos dos grupos DG e DD de acordo com a faixa etária em que ocorreu o óbito..... | pág. 127 |
| 14-) Tempo de doença com diagnóstico bioquímico nos grupos DG e DD..... | pág. 128 |
| 15-) Distribuição dos indivíduos dos grupos DG e DD quanto a classificação clínica do Diabetes Mellitus..... | pág. 128 |
| 16-) Distribuição dos indivíduos dos grupos DG e DD segundo o grau de controle metabólico..... | pág. 129 |
| 17-) Manifestações clínicas mais frequentes em indivíduos dos grupos DG e DD..... | pág. 129 |
| 18-) Aspectos eletrocardiográficos observados nos indivíduos dos grupos DG e DD..... | pág. 130 |
| 19-) Expressão radiológica dos indivíduos dos grupos DG e DD..... | pág. 130 |
| 20-) Hipertensão Arterial Sistêmica associada ao diabetes..... | pág. 131 |
| 21-) Peso do coração (considerado o sexo) nos grupos DG e DD..... | pág. 131 |
| 22-) Perviedade das artérias coronárias epicárdicas no grupo DG..... | pág. 132 |

- 23-) Espessura da parede do miocárdio nos grupos DG e DD.....pág. 132
- 24-) Alterações anátomo-patológicas prevalentes nos grupos DG e DD.....pág. 133
- 25-) Associação entre os grupos DG e DD com nefropatia diabética.....pág. 133
- 26-) Alterações microscópicas prevalentes no diabetes puro, na coronáriopatia obstrutiva superior ou igual a 50% e na Hipertensão Arterial Sistêmica.....pág. 134
- 27-) Associação entre arteriolopatia hialina e patologias prevalentes associadas ao diabetes.....pág. 135
- 28-) Indivíduos portadores de arteriolopatia da camada média.....pág. 136
- 29-) Indivíduos portadores exclusivamente, de Diabetes Mellitus.....pág. 142

ÍNDICE DAS FIGURAS

ÍNDICE DAS FIGURAS

- 1-) Representação esquemática da síntese de membrana basal e as influências estimulatórias potenciais no diabetes.....pág. 013
- 2-) Composição da membrana basal vascular.....pág. 015
- 3a) Mecanismos plaquetários de formação de prostaglandinas, prostaciclinas e tromboxane.....pág. 024
- 3b) Mecanismos fisiológicos normais de agregação plaquetária.....pág. 025
- 4-) Porcentagem de distribuição dos sinais e sintomas apresentados nos grupos DG e DD.....pág. 055
- 5-) Porcentagem de distribuição das alterações eletrocardiográficas nos grupos DG e DD.....pág. 058
- 6-) Porcentagem de distribuição das alterações radiológicas nos grupos DG e DD.....pág. 060
- 7-) Porcentagem de distribuição da espessura da parede do miocárdio nos grupos DG e DD.....pág. 063
- 8-) Porcentagem de distribuição das lesões anátomo-patológicas prevalentes nos grupos DG e DD.....pág. 065
- 9-) Fibrose intersticial (H.E.).....pág. 066
- 10-) Fibrose perivascular (H.E.).....pág. 066
- 11-) Hialinose intersticial (H.E.).....pág. 067
- 12-) Hialinose intersticial e perivascular (H.E.).....pág. 067
- 13-) Necrose focal disseminada (H.E.).....pág. 068
- 14-) Fibrose focal disseminada (H.E.).....pág. 068
- 15-) Necrose extensa com coronárias epicárdicas périvas.....pág. 069
- 16-) Microangiopatia hialina da camada média.....pág. 069
- 17-) Arteriolopatia hialina da camada média no cérebro (H.E.)pág. 070
- 18A) Arteriolopatia hialina da camada média no coração (H.E.)pág. 070
- 18B) Microaneurismas cerebral (P.A.S.)pág. 070

| | |
|---|----------|
| 19A) Arteriolopatia hialina do coração (H.E.) | pág. 071 |
| 19B) Arteriolopatia hialina da pele (P.A.S.) | pág. 071 |
| 20A) Nefropatia diabética (H.E.)..... | pág. 072 |
| 21-) Nefropatia diabética (T. de Masson)..... | pág. 072 |
| 22-) Incidência de complicações macrovasculares dependentes dos níveis glicêmicos..... | pág. 106 |
| 23-) Correlação gráfica entre as características circulatórias e biológicas dos vasos san- guíneos..... | pág. 113 |